

24678

T.C.

DOKUZ EYLÜL ÜNİVERSİTESİ

DENİZ BİLİMLERİ VE TEKNOLOJİSİ ENSTİTÜSÜ

DENİZ JEOLOJİSİ VE JEOFİZİĞİ PROGRAMI

YÜKSEK LİSANS TEZİ

YÖNETEN

Doç. Dr. Atilla ULUĞ

**DENİZ SİSMİK ENERJİ KAYNAKLARI
VE SİNYAL MODELLERİ**

Jeofizik Mühendisi Recep ÇAKIR

İZMİR

Şubat 1992

DOĞUMANTASYON MERKEZİ

Dokuz Eylül Üniversitesi Deniz Bilimleri Ve
Teknolojisi Müdürlüğüne,

Bu çalışma, jürimiz tarafından Deniz Bilimleri Anabilim
Dalında YÜKSEK LİSANS (MASTER) Tezi olarak kabul edilmiştir.

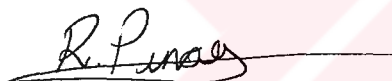
Başkan : Doç. Dr. Atilla ULUŞ



Üye : Prof. Dr. Güngör TAKTAK



Üye : Doç. Dr. Rahmi Pınar



Kod No :

Yukarıdaki imzaların, adı geçen öğretim üyelerine ait olduğunu
onaylıyorum.



Prof. Dr. Orhan USLU
Enstitü Müdürü

Katkı Belirtme

Bu çalışmayı yöneten ve bana yol gösteren hocam sayın, Doç. Dr. Atilla ULUĞ 'a teşekkür ederim.

Ayrıca benden yardımlarını hiç esirgemeyen değerli hocam, Doç.Dr. Mustafa Ergun'e, Dr. Erdeniz Özel'e teşekkür ederim.

Bu tezin hazırlanması sırasında Jeloji Müh. Hüsnü ERONAT'ın samimi yardımları için teşekkür ederim.

Bunun yanında her türlü maddi manevi yardımı sağlayan anneme ve ağabeyime sonsuz şükranları sunarım.

ABSTRACT

Obtaining the seismic record resolution can be accomplished in two stages. The first being the control of the source wave and second being through data processing on record. Even if enhancement is available during the data processing stage, there is no assurance that problems that occur during data acquisition can be solved. Because of this problem knowing the source wave simplifies everything for both stages.

It is obvious that working on marine seismic, survey activities is more expensive than working on land, seismic activities it is also very important when working on marine seismic activity to select suitable energy source.

Recognizing the signal source definition means; knowing the needed source signal during signal enhancement process (or during deconvolution). With recognition of source signal type helps the data acquisition or during the data processing stage.

In the marine seismic studies there is an oscillation on the source signal as a result of the seawater pressure. This creates unwanted peaks after the source which called the bubble effect. As a result, we try to interpret it as a layer during the interpretation. To avoid this problem, we have to control energy source parameter or energy source array.

ÖZ

Sismik kaytlarda tabaka ayrımlılığını sağlanması; yeraltına gönderilecek kaynak dalgacığının başlangıçdaki kontrolü ve alınan kayıtlar üzerine veri-işlemin (data processing) uygulanması olarak iki aşamada gerçekleşmektedir. Her ne kadar veri-işlem safhasında, alınan kayıtlar üzerinde iyileştirme işlemi yapılsada, veri toplama (data acquisition) esnasında yapılacak olan hataların yok edilmesi mümkün olmamaktadır. Bu nedenle sismik kesitin, veri-işlem ve yorumlama safhasında daha gerçeğe uygun olabilmesi için, kaynakdan çıkan dalganın önceden bilinmesi büyük kolaylıklar sağlarmaktadır.

Deniz sismik çalışmalarının kara sismik çalışmalarından daha masraflı olduğu açıkları. Bu nedenle, deniz sismik çalışmalarında enerji kaynağı, çalışmanın amacına göre en iyi şekilde seçilmelidir. Böylece çalışmanın maliyeti açısından büyük zararlardan kaçınılmış olacaktır.

Kaynak sinyalinin tanınması, sinyal iyileştirme işleminde yani dekonvolüsyonda, arzu edilen çıkış sinyalının bilinmesi anlımasına gelir. Bu açıdan kaynak sinyalının tipinin belirlenebilirliği, hem veri toplama öncesi (modellerme v.b.) hem de verinin değerlendirilmesi aşamasında kolaylık sağlamaktadır.

Deniz sismik çalışmalarında, deniz suyunun uyguladığı hidrostatik basınç nedeniyle, kaynak sinyalının osilasyonuna sebebiyet vermektedir. Bu da kaynak sinyalının henüz yer altına geçmeden su ortamında, kabarcık (bubble) etkisi adı verilen ve kaynak ana sinyalının arkasından gelen istenmeyen piklerini oluşturur. Bu piklerin yansımı sinyalleri ile karışmasını önlemek, günümüzde sismik enerji kaynaklarının parametrelerinin kontrolu veya kaynak dizilimleri (array) kullanımıyla mümkün olmaktadır.

İÇİNDEKİLER

GİRİŞ	1
BÖLÜM 1	
- Kaynak Dalgacığı Kavramı	3
- Dalga Yolu Geometrisi Ve Genel Kurallar	10
BÖLÜM 2	
- Denizde Sismik Kaynak Yaratmanın Temel İlkeleri	20
BÖLÜM 3	
- Sualtında Sismik Dalga Üretilmesi Ve Sorunları	25
BÖLÜM 4	
- Deniz Sismik Kaynaklarına Genel Bakış	29
* Dinamit	29
- Deniz Sismik Çalışmalarında Düşük Enerji Kaynakları	35
* Maxipulse	35
* Flexiotir	38
* Flexichoc	40
* Aquaseis	42
* Seisprobe	43
* Dinoseis	48
* Hydrosein	50
* Vaporchoc	51
* PAR Air Gun	54
* Sismojet	62
* Water Gun	64
* Vibroseis	68
* Magnetik Air Gun	69
* Sparker	70
* O.R.E.	73
* Uniboom	76
- Grafik Kayıtçı	76
- Alıcı Sistemi	79
- Yanal Taramalı Sonar	82

BÖLÜM 5

- Deniz Sismik Enerji Kaynaklarının Teknik Özellikleri ve genel bir değerlendirmesi	87
--	----

BÖLÜM 6

- Sonuç Ve Öneriler	97
- Kaynakça	98
EK 1	99
EK 2	102
UYGULAMALAR	104
Uygulama İçin Kullanılan Bilgisayar Programları	111

v



Giriş

Yeraltının araştırılmasında jeofizik biliminin rolü ne kadar önemliyse, jeofizik yöntemler içerisinde de en etkili olanını sismik yöntemlerin oluşturduğu kuşku götürmemektedir.

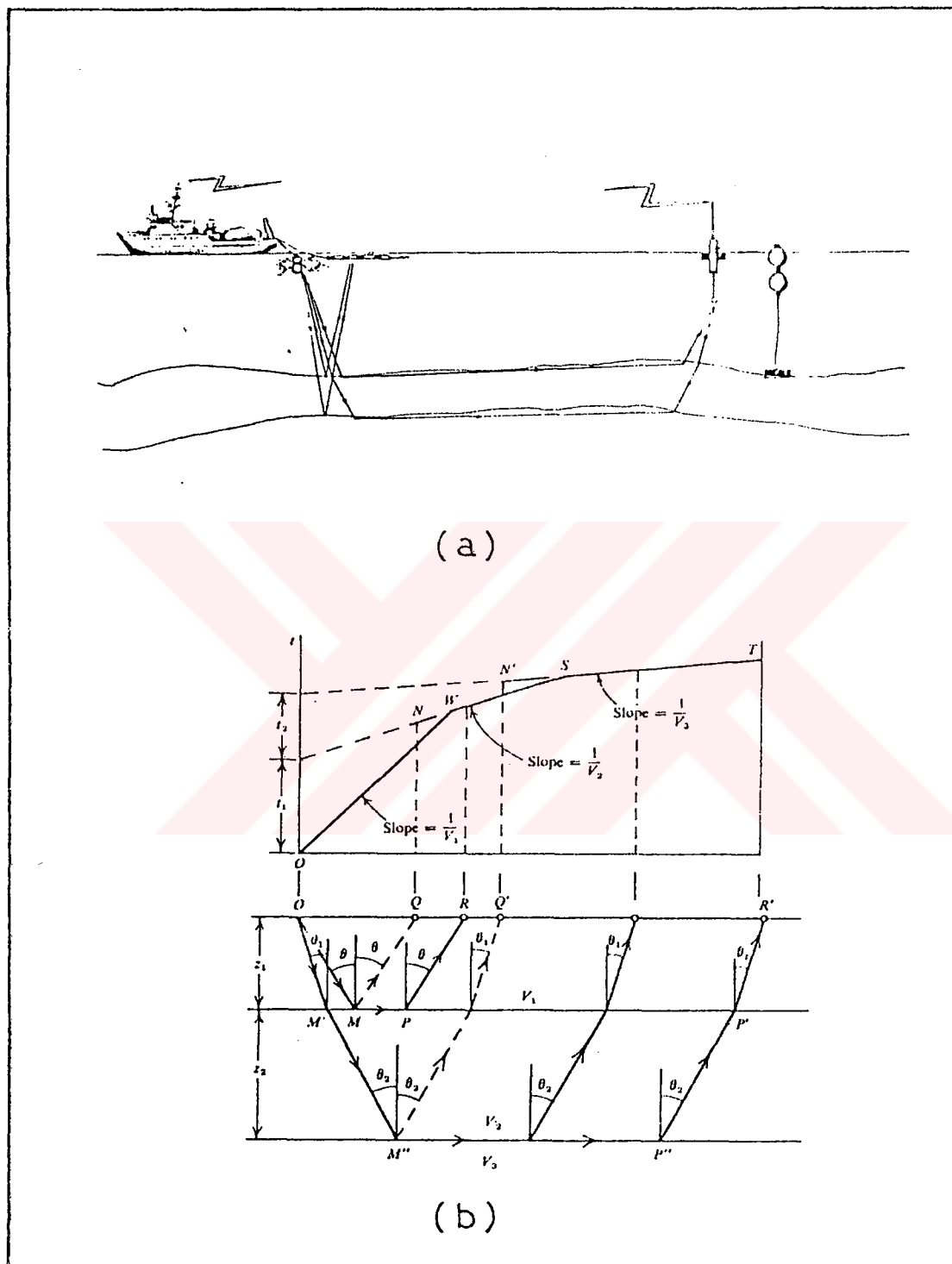
Sismik çalışmalar bilindiği gibi yansıtma ve kırılma adı altında iki gurupta toplanabilir. Yansıtma yöntemi adından da anlaşılacağı gibi, bir sismik kaynaktan yayılan dalgaların yer altındaki belirli katmanlardan yansıtıp gelenlerin kayıt edilerek, bu yansımış dalgaların incelenmesi ile yer altı hakkında bilgi sahibi olunabilmesini sağlamaktadır. Kırılma yöntemi ise fizikteki kırılma prensipleri gibi, sismik dalga'nın fiziksel özellikleri farklı iki tabakanın sınırlarından kırılıarak ilerlemesi ve kırılan dalgaların tekrar üst ortama geçerek kayıt edilmeleri ve bunların değerlendirilmesi ile yer altı hakkında bilgi sahibi olmamızı sağlar (Şekil 1.1).

Her ne kadar bir sismik kaynakdan yayılan dalgaların bir kısmı yansıtıp, bir kısmı kırılıyor olsada, jeofizik prospektiyonda amaca uygun olarak bunlardan bir tanesi seçilir. Zira sismik yansıtma çalışmalarında sismik enerji kaynağının, gücünün yüksek olması ayrımlılık (resolution) sağlamak amacıyla tercih sebebidir. Yani yüksek frekansları içeren bir kaynak biçimidir. Halbuki sismik kırılma yönteminde sismik kaynağının frekansının daha düşük olması, daha derinlerdeki yapının ortaya konması açısından tercih edilen bir durumdur. Çünkü yüksek frekanslı sinyaller çabuk soğrulduklarından derinlere ve uzaklara yayılmazlar. Bu nedenlerden dolayı, jeofizik yöntemlerden hangisi uygulanacak ise amaca uygun olarak kaynak tipi ve/veya parametre seçimi yapılabilir.

Kara sismik çalışmalarında muhtelif enerji kaynakları (dinamit, vibratör, ağırlık düşürme, land air gun vs..) çalışmanın amacına uygun olarak seçilirler. Ekonomik açısından kara çalışmalarında, kaynak sayısı az, alıcı sayısı fazla tutulur (kanal sayısı artırılır). Oysaki deniz çalışmalarında kanal sayısının çoğaltılmamasının yanında, tek bir patlatma aleti ile bir çok noktada kaynak yaratılmış olacaktır. Yani akustik sismik enerji kaynaklarının sık aralıklarla patlatılmalarının ihtiyacı yanısıra, aynı zamanda istenilen frekans bandlarında kapsamları arzu edilir. Bunun için çok çeşitli akustik sismik enerji kaynakları türetilmiş ve bunlar birbirleri arasında avantaj ve dezavantajlara sahip olmuşlardır. Örneğin bir dinamitin gerekli enerji ve frekans bandına sahip olmasına rağmen ekonomik olmaması ve patlatma riskinin bulunması nedeniyle deniz çalışmalarında tercih edilmemektedir. Fakat bunun yanında bir transduserin nispeten düşük enerjili olmasına rağmen, ekonomiklilik açısından tercih edilen akustik kaynak üreticidir.

Bu çalışmada özetle; denizlerde kullanılan akustik sismik enerji kaynakları hakkında bilgiler verilmektedir. Bu bilgilerin işliğinde deniz sismik enerji kaynaklarının sinyalleri tanınmaya çalışılırken, uygun sismik kaynak ve sinyalinin, çalışmanın amacına göre optimum seçimi yapılması öngörmektedir.

Kullanılan kaynak sinyalleri arasında bugün için en ekonomik olanı airgundır. Bu amaçla airgun ve sinyalleri üzerinde önemle durulmaktadır.



Şekil 1.1. a) Sismik yansıtma ve kırılma metodunun prensibi.
 b) Yatay üç tabaka modeli için sismik ışın yolları
 ve yol-zaman grafiği.¹⁰

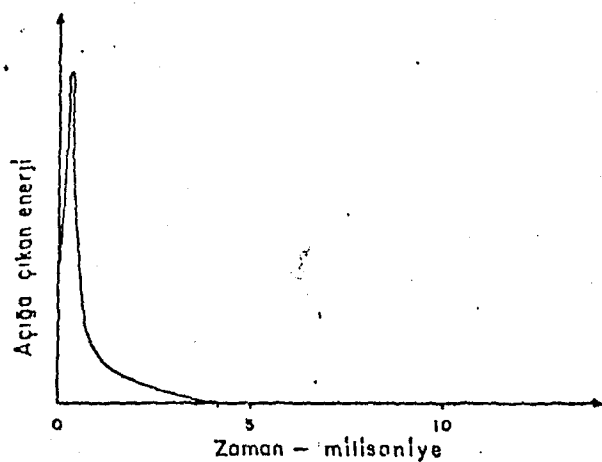
BÖLÜM 1

Kaynak Dalgacığı Kavramı

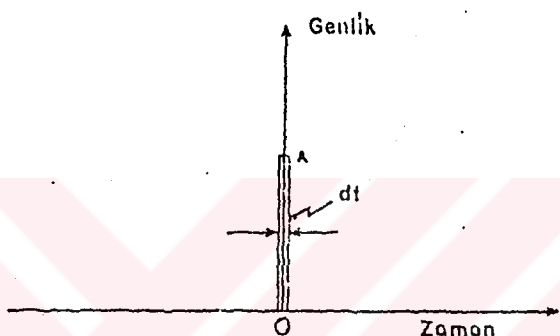
Elastik ortamlarda partikül yerdeğiştirmesine neden olabilecek her türlü enerji boşalımı kaynak olarak alınabilir. Bu deniz ortamında akustik kaynak adını alır. Enerji boşalımı için sismikte kullanılan en yaygın kaynak, patlayıcılardır. Karada ağırlık düşürme, vibrasyon yaratma, tabanca patlatmada enerji boşalım kaynağı olarak alınabilir. Patlayıcı maddelerden dinamit karada, hava tabancası (air gun) denizde yaygın olarak kullanılmaktadır.

Kaynak olarak dinamit kullanılması durumunda, eğer dinamitin boyutları çok küçük ise, nokta kaynak adını alır. Nokta kaynağı oluşturan dinamitin patlatılmasında, izlenen olay, çok kısa bir zaman içinde büyük bir enerjinin aşağı çıkması şeklinde tanımlanabilir. Zamana bağlı olarak olayı incelerken dinamitin patlama anını $t=0$ olarak, Şekil 1.1.1 'deki gibi bir davranışını düşünülebilir. Bu daha basit anlamda delta fonksiyonu olarak alınabilir. Delta fonksiyonu, başlangıç anında taradığı alan birim değere eşit olduğu halde, diğer zamanlarda sıfırdır (Şekil 1.1.2). Delta fonksiyonunu dinamit kaynağı olarak alıp belirli bir derinlikde patlatıldığını düşünelim. Ortamın homojen ve izotrop olduğunu düşünürsek, patlamaya oluşan basıncın her yönde aynı partikül yer değiştirmesini oluşturacağı açıklıktır. Yer değiştiren her partikül komşu partikülü harekete geçiriceğinden, patlama olayının etkisi yayınma halini alacaktır. Bu yayının belirli bir hızda olacağından, Şekil 1.1.3 'de gösterildiği gibi zaman bağlı bir yayının uzaklıği söz konusu olacaktır. Yayının olayına fizikal açıdan bakıldığından, zoruna bir titreşim olduğu görülür. Oluşan enerjinin belirli bir zaman sonra belirli bir uzaklıkta sökülmeneceği açıklıktır. Bu sönme olayına dalga yayınınının oluştuğu fizikal ortamın neden olduğu düşünülürse, ortamı enerji süzgeci şeklinde değerlendirmek olasıdır. Süzgece anlam verebilmek için dalga yayınınının bir salınım olduğunu hatırlamak gereklidir. Her salınım hareketinin salınım periyodu veya salınım frekansı söz konusudur. O zaman salınımıza neden olan kaynağın yarattığı frekansları incelemek gereklidir. Şekil 1.1.2 de verilen delta fonksiyonu dinamiti gösterdiğine göre kaynak frekanslarının varlığından bahsedilebilir. Zaman ortamındaki davranış delta fonksiyonu olan bir fizikal olayın, bütün frekansları içeriği bilinmektedir. Şekil 1.1.2 de dt ile gösterilen enerjinin aşağı çıkma süresi büyütükçe, partüküler daha uzun sürelerde serbest kalacağından salınım periyodu büyüp, frekansı küçülecektir.

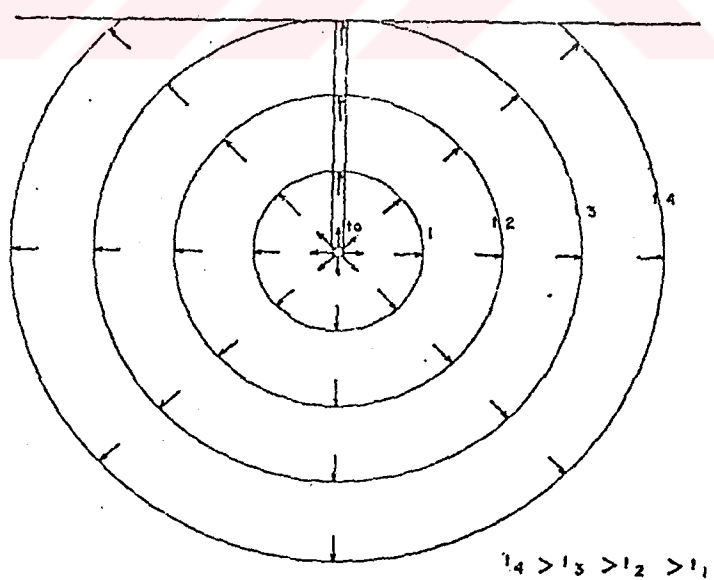
Dinamit patlaması ile yaratılacak frekansları tanıtmak için delta fonksiyonunun nasıl yaratılacağına bakmak gereklidir. Herhangi bir karmaşık fizik olay, bir çok basit olayın toplamı şeklinde incelenebilir. Delta fonksiyonu matematiksel basılığine rağmen, fizik açıdan karmaşık bir durum arz eder. Fizik açısından basit bir olaya örnek, genliği ve frekansı belirli olan bir periyodik salınım verilebilir. Diğer olaylarda bu periyotlar kapsamında açıklanır. Delta fonksiyonu bu açıdan her frekanstaki periyodik salınımların uygun şekilde toplanması ile elde edilebilir. Örneğin Şekil 1.1.4 'de gösterildiği gibi frekansları f_1 , $2f_1$, $3f_1$, $4f_1$ ve $5f_1$ olan beş adet kosunüs



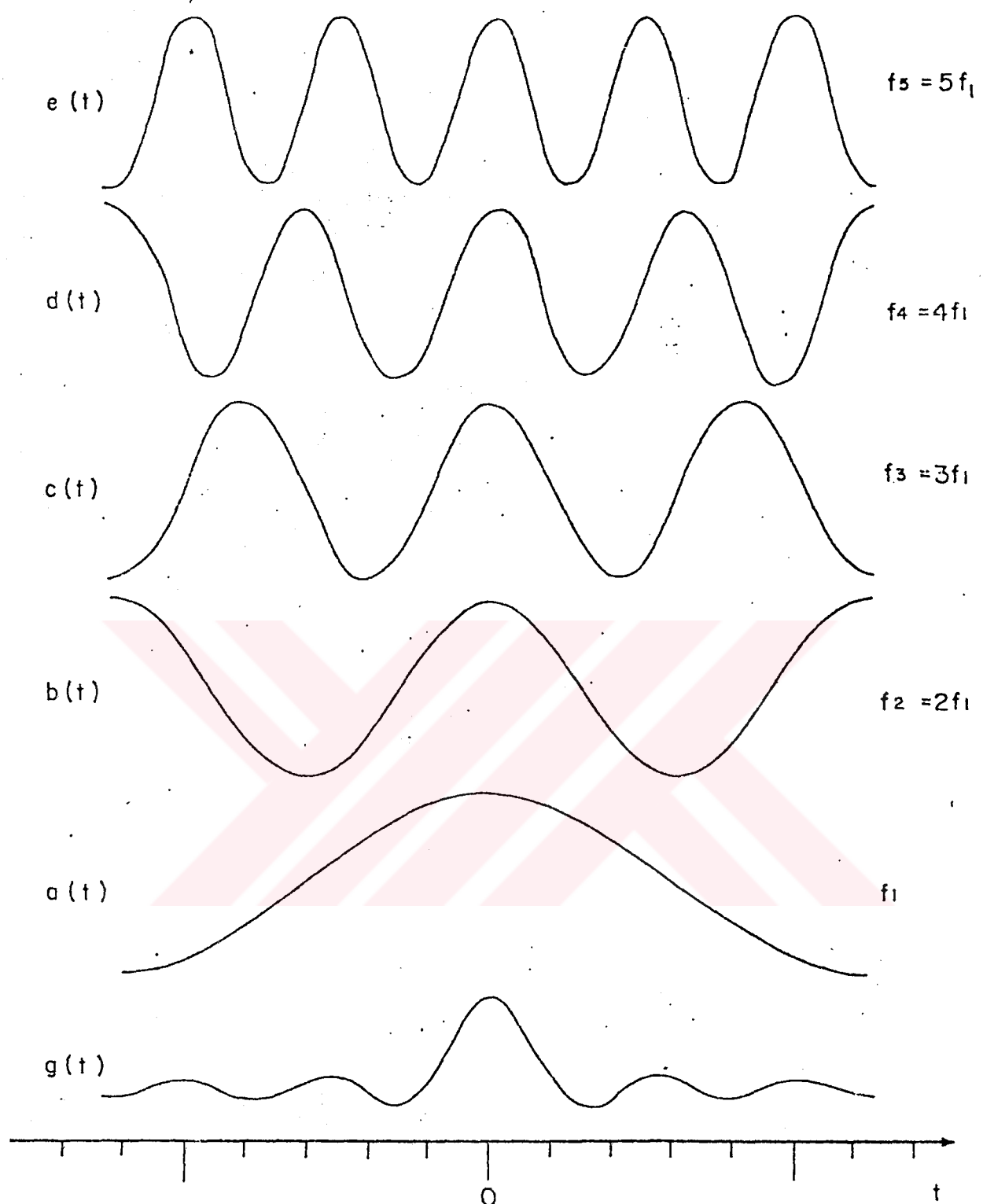
Şekil 1.1.1. Dinamit Enerjisinin Zaman İçindeki Davranışı¹



Şekil 1.1.2. Zaman Ortamında Delta Fonksiyonu¹



Şekil 1.1.3. Nokta Kaynaktan Enerji Yayılımı¹



$$g(t) = a(t) + b(t) + c(t) + d(t) + e(t)$$

Şekil 1.1.4. Basit Olayların Birleştirilmesi¹

eğrisi negatif ve pozitif zamanları içerecek şekilde toplanacak olursa, yine Şekil 1.1.4 de gösterilen $g(t)$ eğrisi elde edilir. Bu bileşke eğrinin özelliği $t=0$ anındaki genlik, bileşenlerin $t=0$ zamanındaki pozitif işaretli genliklerinin toplamı olduğu halde, eğrinin diğer kısımları bileşenlerin negatif ve pozitif işaretli genliklerinin toplamından oluşur. Bu özelliğinden ötürü işleme değişik frekanslı bileşenlerin sokulmasıyla, $g(t)$ fonksiyonunun $t=0$ anındaki genliği büyürken, diğer genlikler küçülür. Bu bileşen artırma işlemi devam ederse, limit değer olarak delta fonksiyonuna yaklaşılır. Delta fonksiyonunu dinamit ile benzeştigiini farz edersek, Şekil 1.1.2 deki delta fonksiyonunu frekans ortamında, Şekil 1.1.5 deki gibi görünümü oluşur. Burada dinamitin oluşturduğu tüm frekanslar aynı genlige sahiptir (beyaz spekturm).

Kaynaktan yayılan çok frekanslı salınımalar, yayının hızı ile ilerledikçe, ortamın oluşturduğu bir süzgeçde söküme uğrarlar. Söküm iki ana nedenden oluşur. Birincisi fizikte bilinen genel söküm kuralı. Bu kurala göre bir noktadan yayılan enerji uzaklığın karesi ile ters orantılı olarak azalır. İkinci neden enerjinin veya genliğin yutulması olayıdır, bu doğrudan partikül hareketlerinden ve ışığa dönüşmeden ileri gelen bir sökümdür ve ortamın mikro yapısına bağlıdır.

Bir nokta kaynaktaki genlik A_0 ile gösterilirse, bu kaynaktan r uzaklığındaki bir noktadaki A_r genliği, Şekil 1.1.7 deki gibidir. Burada α yutma (absorbüsyon) katsayısı olup:

$$A_r = \frac{A_0}{r} e^{-\alpha r}$$

$$\alpha = \frac{\delta f}{V}$$

bağıntıları ile tanımlanır. Buna göre yutma katsayısı, logaritmik azalma (δ) ve yayının frekansı (f) ile doğru orantılı ve dalgı yayının hızı (V) ile ters orantılıdır. Yutma katsayısının frekansla değişimi;

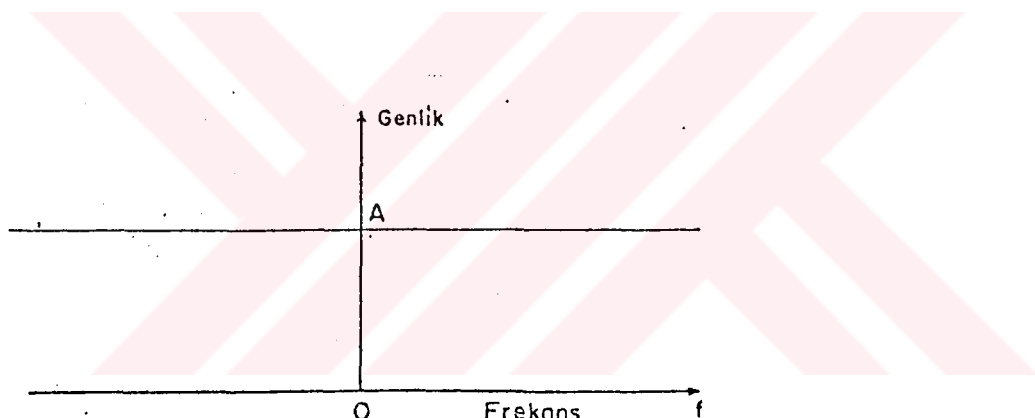
$$A(r, f) = \frac{A_0}{r} e^{-r\alpha(f)}$$

bağıntısı ile belirtmek daha anlamlı olacaktır. Üstteki bağıntının yorumundan yüksek frekanslı bileşenlerin daha hızlı yutulmaya ugradıklarından kolayca sönümleştikleri söylenebilir. eğer $A(r,f)/A_0$ oranı gözlenecek olursa, desibel olarak sönüm;

$$S(r,f) = 20 \log (A(r,f)/A_0)$$

bağıntısına dönüşür. Buradan da anlaşılacağı gibi sönüm frekansın yanında, uzaklığı da bağlı değişim gösterir. Kaynaktan alıcılara gelen dalgaların göstereceği değişim, Şekil 1.1.8 deki gibidir.

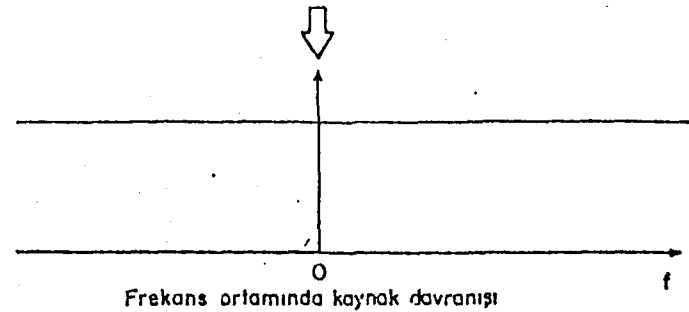
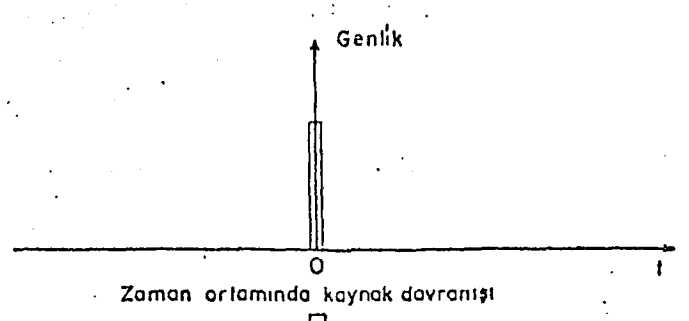
Kaynak dalgacığını uzaklıkla değişimi, Şekil 1.1.9,10 ve 11 deki gibidir.



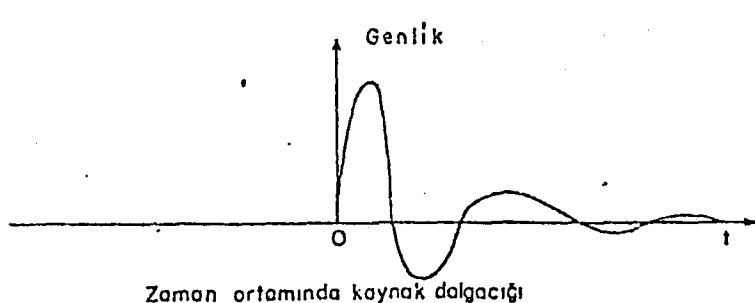
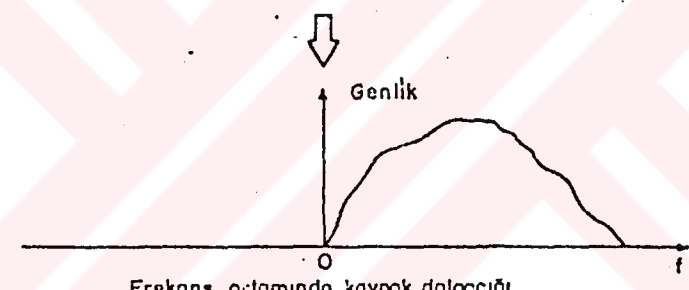
Şekil 1.1.5 Frekans Ortamında Delta Fonksiyonu¹

$$A_r = \frac{A_0}{r} e^{-\alpha r}$$

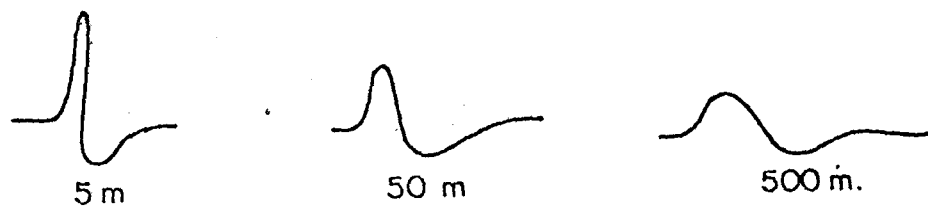
Şekil 1.1.7. Dalgaların Sönübü¹



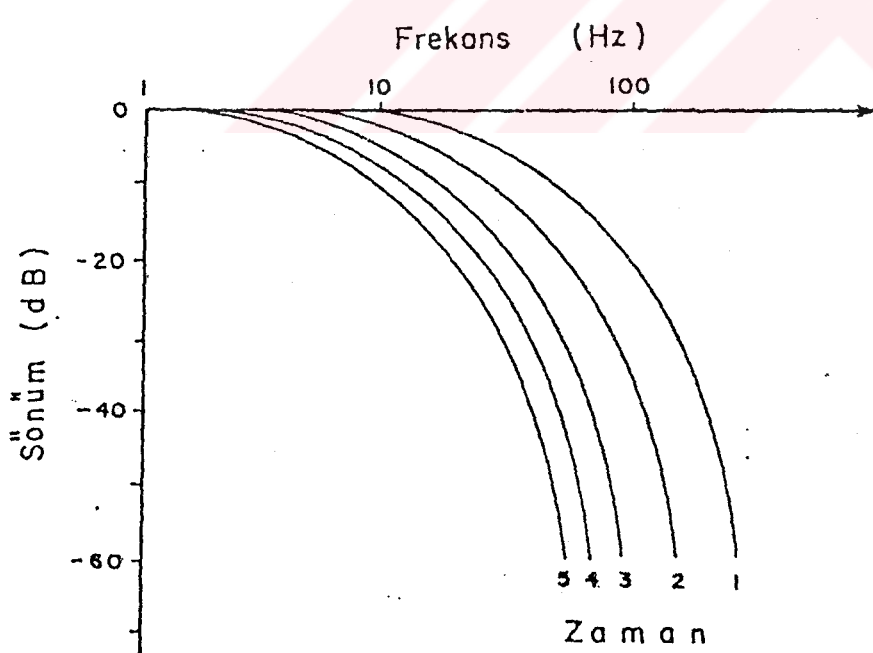
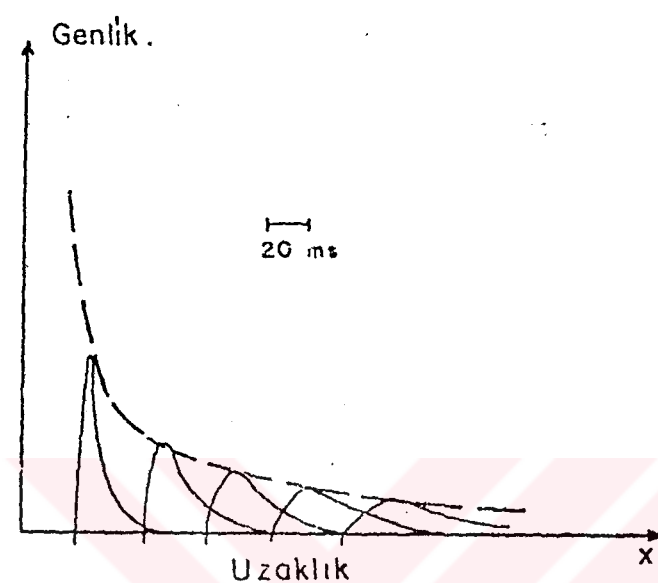
KAYNAK - ALICI ARASINDAKI DEĞİŞİKLİKLER



Şekil 1.1.8. Kaynak Dalgacığı Oluşumu¹



Şekil 1.1.9. Kaynak Algacığının Uzaklıkla Değişimi¹



Şekil 1.1.10. Zamana VE Frekansa Bağlı Sönüm¹

Dalgayolu Geometrisi ve Genel Kurallar

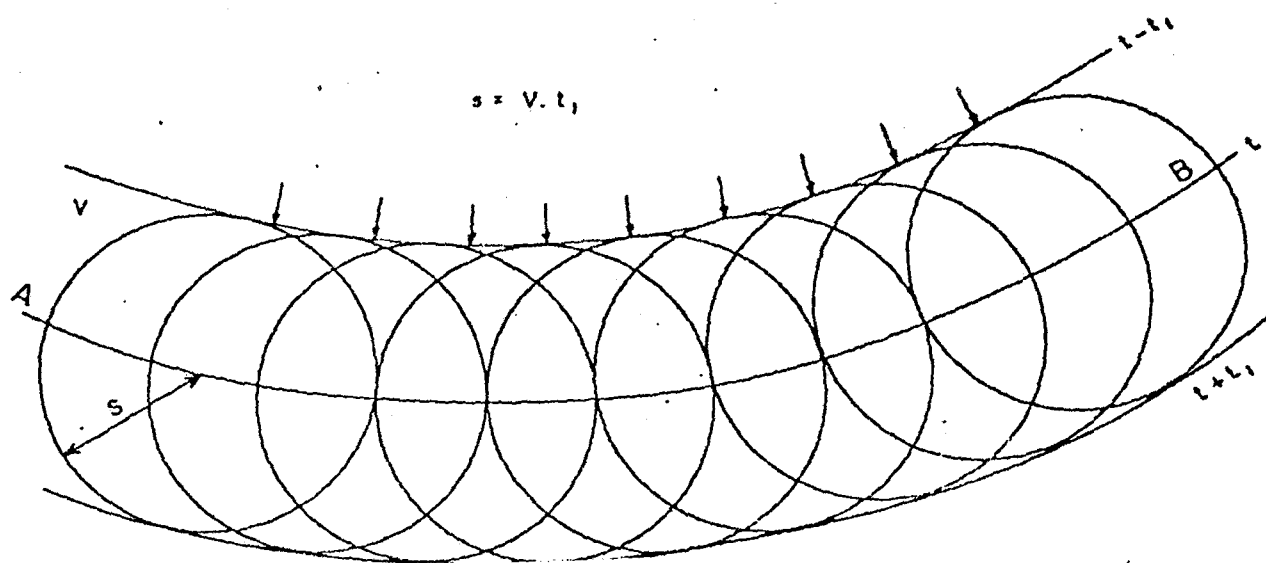
Huygens prensibine göre; suya atılan taşın yaratacağı dalgalar küre şeklinde yayılır. Küreyi oluşturan yüzeylere dalga önü denir ve dalga önlerini oluşturan her nokta yeni bir enerji noktası gibi davranır. Bu prensibe göre, belirli bir zaman içinde herhangi bir dalga önü geometrisinin bilinmesi halinde daha sonra oluşacak dalga önleri geometrileri belirlenebilir. Bu belirleme, dalga önenin her noktasının enerji kaynağı olduğu düşünülerek her noktada yayılan küresel dalgaların zarfları çizilerek yapılır. Noktaları kullanılan dalgaönü şimdiki zamanı gösterirse, eğrilik yarıçapı küçük olan dalga önü geçmiş zamanı gösterdiği halde, eğrilik yarıçapı büyük olan dalga önü gelecek zamanı gösterir. Şekil 1.1.12 de Huygens'e göre dalga önleri belirtilmektedir. eğer t anındaki dalgaönü AB çember parçasıyla gösterilirse $t-t_1$, $t+t_1$ anlarındaki dalgaonları için $S=V \cdot t_1$ ortamın yayınım hızı kullanılarak bulunur. t anındaki dalgaonünün her noktası enerji kaynağı kabul edilerek s yarıçaplı çemberler çizilip zarfları, $t-t_1$ ve $t+t_2$ zamanlarındaki dalga önleri çizilir. Dalgonlarına dik doğrulara dalga yolları denir. Huygens kuralına göre genişleyen dalga cepheleri oluşurken, dalga iki nokta arasını en kısa sürede gidebileceği yörungeyi izler. Bu özellik fermat kuralı olarak bilinir. Fermat veya huygens kuralının farklı hızlı tabakaların oluşturduğu ortamlara uygulanması sismik kesitleri oluşturan verilerin temelidir. Şekil 1.1.13 'de gösterildiği gibi ortam V_1 ve V_2 hızlarından oluşuyorsa, aynı ortamdaki A ve B noktaları arasındaki dalga yayınımı, dalganın gelme açısıyla yansımaya açısının eşitliğini gerektirir. Aynı ortamda olmayan A ve C noktaları arasındaki dalga yayınımı ise,

$$\frac{\sin\theta_1}{V_1} = \frac{\sin\theta_2}{V_2}$$

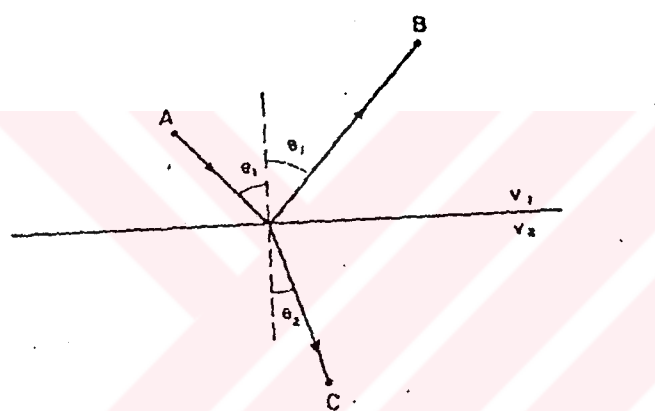
olmasını gerektirir. Bu eşitlik Snell yasası olarak adlandırılır. Bu kural çok tabakalı ortamlarda iki nokta arasındaki dalga yolunu belirlemekte de kullanılır. Şekil 1.1.14 ile verilen çok tabakalı ortamdaki A ve B noktaları arasındaki dalga yolunu belirmek için Snell yasası,

$$P = \frac{\sin\theta_1}{V_1} = \frac{\sin\theta_2}{V_2} = \frac{\sin\theta_3}{V_3} = \frac{\sin\theta_4}{V_4} = \frac{\sin\theta_5}{V_5}$$

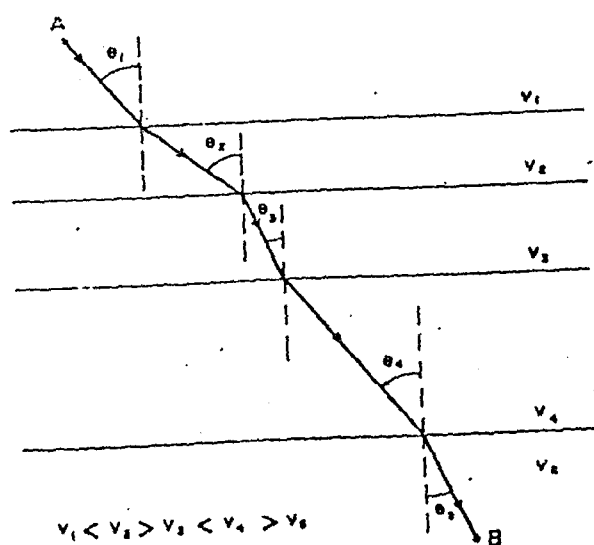
yazılabilir. Bu eşitlikte tanımlanan P, dalga yolu parametresi olarak bilinir. Herhangi bir ortamda kaynak ve alıcı arasında yayılan dalgaların dalga yolunun geometrisinden yararlanılarak ortamların parametereleri bulunabilir. Yansıma ve kırılma ile ilgili kuralların birlikte uygulanması ile her ortamdaki yayının geometrileri bulunabilir. Yukarıdaki bağıntıda, örneğin θ_5 açısının 90° olması koşulu tam kırılma olayı olarak bilinir. Bu



Şekil 1.1.12. Huygens Kuralı Ve Dalga Cepheleri.⁴



Şekil 1.1.13. Yansıma Ve Kırılma Kuralı⁴



Şekil 1.1.14. Çok Tabakalı Ortamlarda Dalga Yolu⁴

durumda,

$$\frac{\sin\theta_4}{V_4} = \frac{1}{V_5}$$

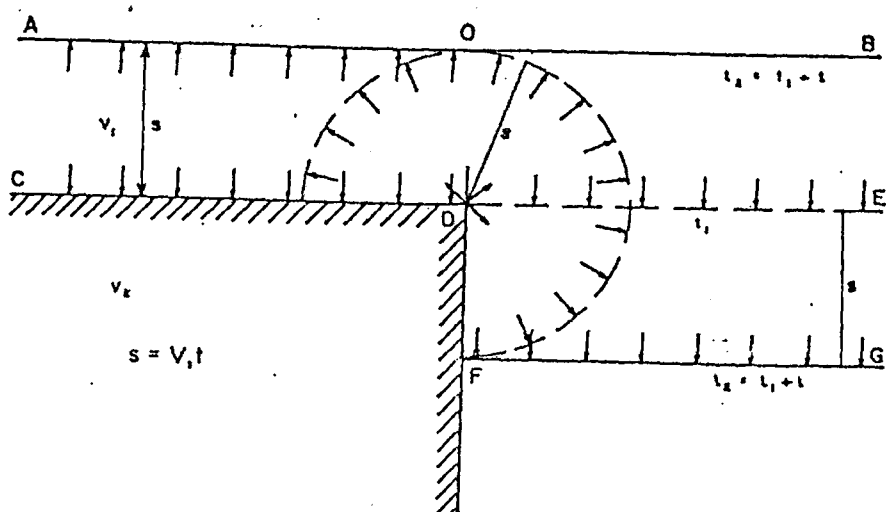
veya

$$P = \frac{\sin\theta_1}{V_1} = \frac{\sin\theta_2}{V_2} = \frac{\sin\theta_3}{V_3} = \frac{\sin\theta_4}{V_4} = \frac{1}{V_5}$$

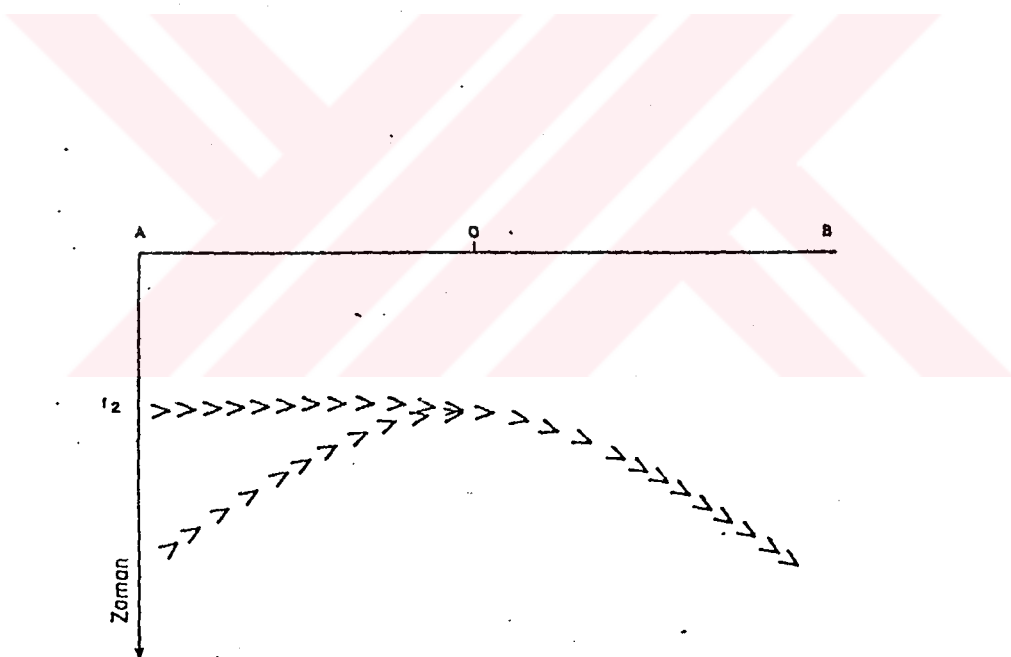
olur. Gerek (*) ve gerekse (**) bağıntıları kullanılarak, belirli bir ortam için açılar bulunabilir. (*) bağıntısında tam kırılma için,

$$\sin\theta_4 = \frac{V_4}{V_5}$$

yazılabilir. Bu şekilde tanımlanan açıya kritik açı denir. Kritik açı kırılan dalgalar için bir belirleyicidir. Dalgayolu geometrisine bağlı olarak dalgalar yansıyıp veya kırılarak yollarına devam ederken sağlanmayada uğrayabilirler (difraksiyon) (Şekil 1.1.15).



Şekil 1.1.15. Difraksiyon Dalgaları¹



Şekil 1.1.16 Difraksiyon Dalgaları Görünümü¹

Bir kaynaktan yayılan dalgalar farklı uzaklıklardaki alıcılarla izlenirken, yayının geometrilerine bağlı olarak;

- Doğrudan gelen dalgalar
- Yansıyan dalgalar
- Kırılan dalgalar
- Difraksiyona uğrayan dalgalar olarak sınıflandırılırlar. Bu dalgaların x-t grafiği toplu halde, Şekil 1'de gösterilmiştir.

Doğrudan gelen dalga ortamın hızına bağlı olarak;

$$t = \frac{x}{v_1}$$

yazılabilir. Burada t yayının süresi, v_1 ortamın hızı ve x yayının uzaklığını göstermektedir.

Yansıyan dalgalar için (Şekil 2);

$$T_0 = \frac{2h}{v_1}$$

düşey gidiş geliş zamanı yazılabilir. Kaynaktan x uzaklıkdaki A noktasına varış süresi T_x ise, KOB ve OBA üçgenlerinden yararlanarak;

$$T_x^2 = T_0^2 + \frac{x^2}{v_1^2}$$

yazılabilir. Bu zaman-uzaklık grafiğinde hiperbol bağıntısıdır. Burada $x=0$ alındığında kaynak ve alıcı aynı noktada yani $T_x=T_0$ dır.

Kırılan dalgalar Şekil 3'deki gibidir. Kırılan dalgaların yüzeyde kayıt edilebilmeleri için $\sin\theta_c = v_1/v_2$ şartından dolayı tam yansımaya uğramaları gerekmektedir. KCB ve BAE üçgenlerinin eşitliğinden yararlanarak, kritik dalgaonünün kaynaktan alıcıya gitmesi için gerekli zaman;

$$t = \frac{X}{V_2} + \frac{KD + FA}{V_1}$$

veya

$$\cos\theta_c = \frac{KD}{h} = \frac{FA}{h}$$

alınarak,

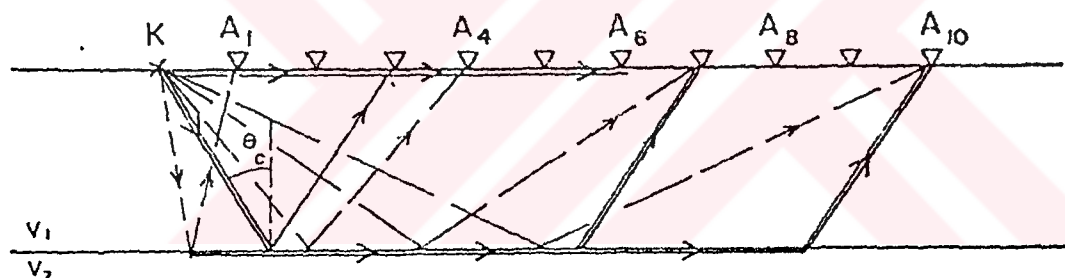
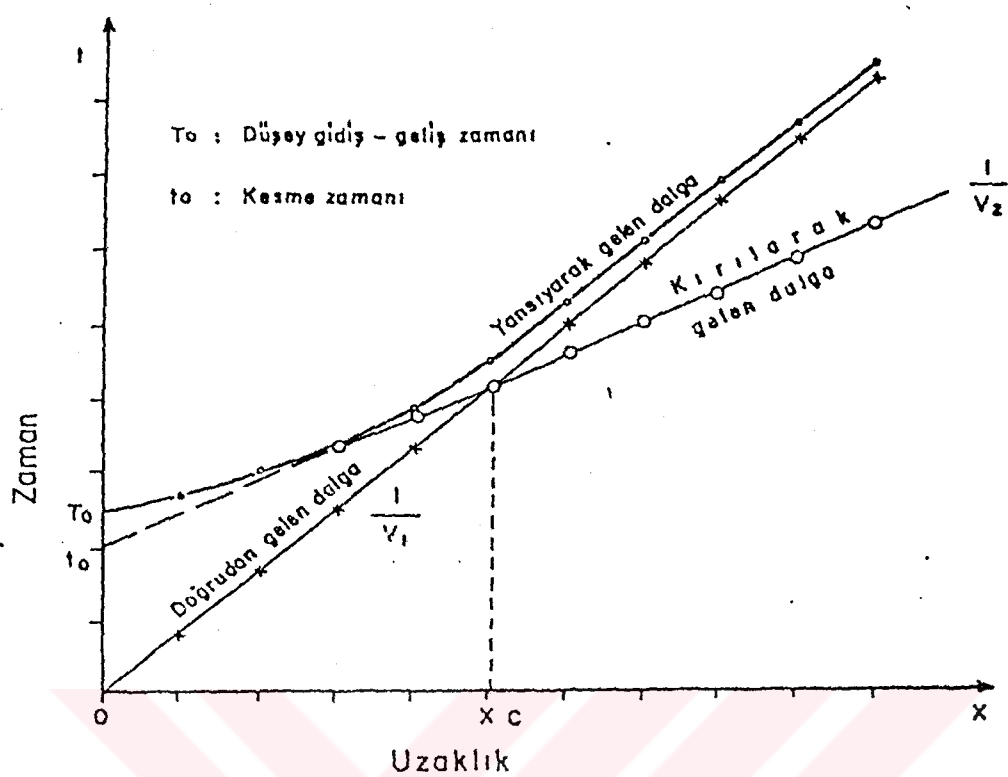
$$t = \frac{X}{V_2} + \frac{2 h \cos\theta_c}{V_1}$$

elde edilir. Bu bağıntı x-t grafiğinde $1/V_2$ eğimli bir doğrudur. Bu doğrunu $x=0$ için t eksenini kestiği yere, kesme zamanı denir. Bu zaman;

$$t_0 = \frac{2 h \cos\theta_c}{V_1}$$

olarak hesaplanabilir. Şekil 1.1.17 'de de görüldüğü gibi t-x grafiklerinden kesme zamanı t_0 , V_1 , ve V_2 hızları belirleneceği gibi,

$$h = \frac{t_0}{2} \frac{V_1}{\cos\theta_c}$$



Şekil 1.1.17. Dalgaların X-t grafik görünümü¹

bağıntısı ile tabaka kalınlığı bulunabilir.

Bir arayüze gelen enerjinin bir kısmı alt yüzeye geçerken bir kısmında yansırak üst yüzeyde kalır (Şekil 1.1.20). Snell yasası dalgaların genliği hakkında bilgi vermemesinden, bunun için Zoeppritz Denklemleri kullanılır. P_1 yansıyan ve P_2 kırılan boyuna dalgalar, S_1 ve S_2 enine dalgalar olamak üzere, şekil 1.1.20 'de bir ara yüzeye gelen P dalgası görülmektedir. Sonuç olarak bir dalganın aryüzeyden yansması veya alt tabakaya aktarılması, yansıma ve aktarma katsayıları ile açıklanabilmektedir. V boyuna dalga hızı olamak üzere, p da ortamın yoğunluğu ise, $Z=Vp$ akustik empedansı verir. Buna göre R (yansıma katsayısı),

$$R_{12} = \frac{Z_2 - Z_1}{Z_2 + Z_1}$$

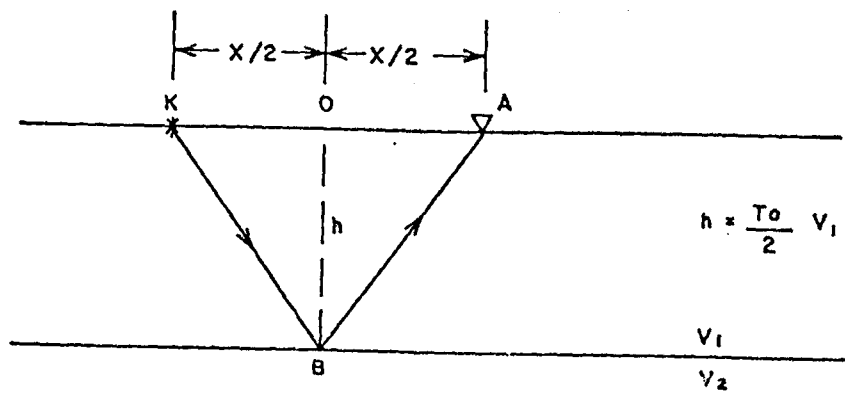
ve T (aktarma katsayısı),

$$T_{12} = \frac{2 Z_1}{Z_2 + Z_1}$$

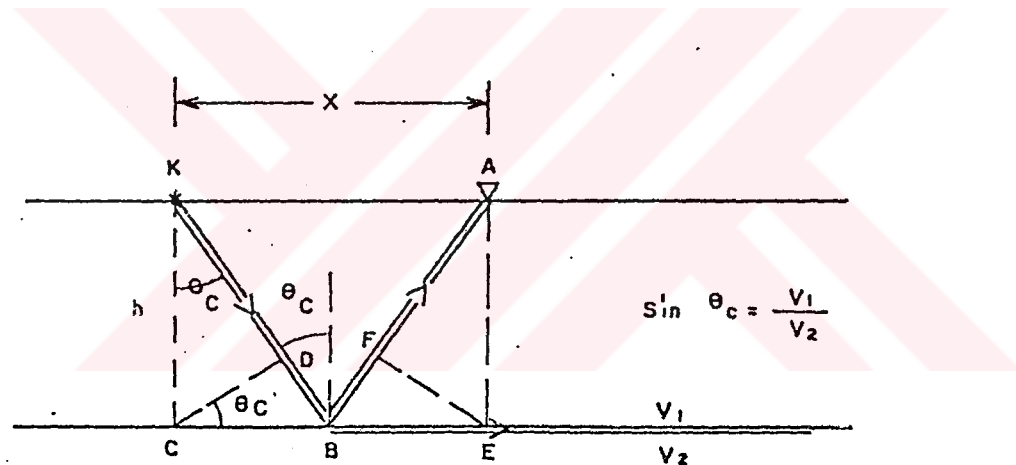
olarak elde edilir. Buradan da görüldüğü gibi bir arayüze oluşturan ortamların akustik empedansları arasındaki fark o arayüzeyin yansıtıcılığını belirlemektedir. Bu iki katsayı arasında;

$$R + T = 1$$

ilişkisi vardır.



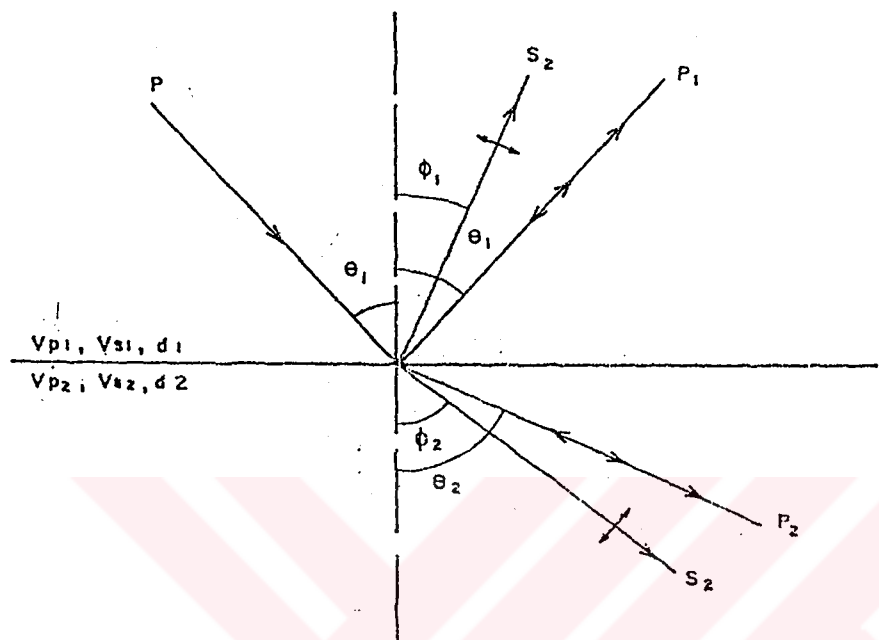
Şekil 1.1.18. Yansıyan Dalga Geometrisi



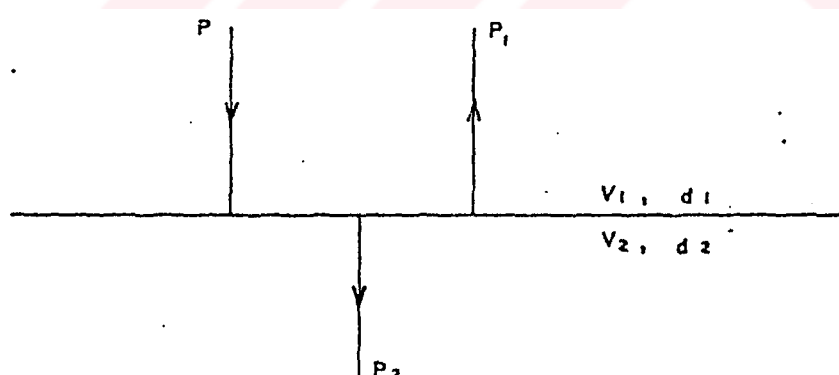
Şekil 1.1.19. Kırılan Dalga Geometrisi

$$R + T = 1$$

ilişkisi vardır.



Şekil 1.1.22. Arayüzeye gelen P dalgası hareketi⁴



Şekil 1.1.21. Arayüzeye dik gelen dalga için enerji dağılımı⁴

BÖLÜM 2

Denizde Sismik Kaynak Yaratmanın Temel İlkeler

Su içinde sismik kaynak yaratmak için, bir dinamit örneğini ele alacağız. Adı sıcaklıkta TNT' de (dinamitte) karbon, hidrojen, oksijen sıvı kimyasal bileşimi ve nitrojen atomları duraylıdır. Yüksek sıcaklıklarda, duraylı durumdaki kimyasal bağlar koparlar ve sıvı malzeme aniden yüksek sıcaklık/yüksek yoğunluklu gaz veya serbest elektronları olan karbon, hidrojen, oksijen ve nitrojenin moleküller bileşiminin plazma haline geçmesine neden olurlar. Kimyasal bağ enerjisi patlatma işlemi sırasında, çok ani hareket eden gaz molekülerinin kinetik enerjisine dönüşürler. Böylelikle saniyede birkaç yüz veya birkaç bin feet lik çınlama hızına sahip hareketli gaz molekülleri oluşur. Moleküler hızların istatiki olarak ölçümlenmesi sıcaklıkla ilişkilidir. İdeal bir gazda, sıcaklık, moleküler hız ve gazın moleküler ağırlığı arasındaki ilişki;

$$T = 4.42 \times 10^{-6} m u^2 \quad (1)$$

veya

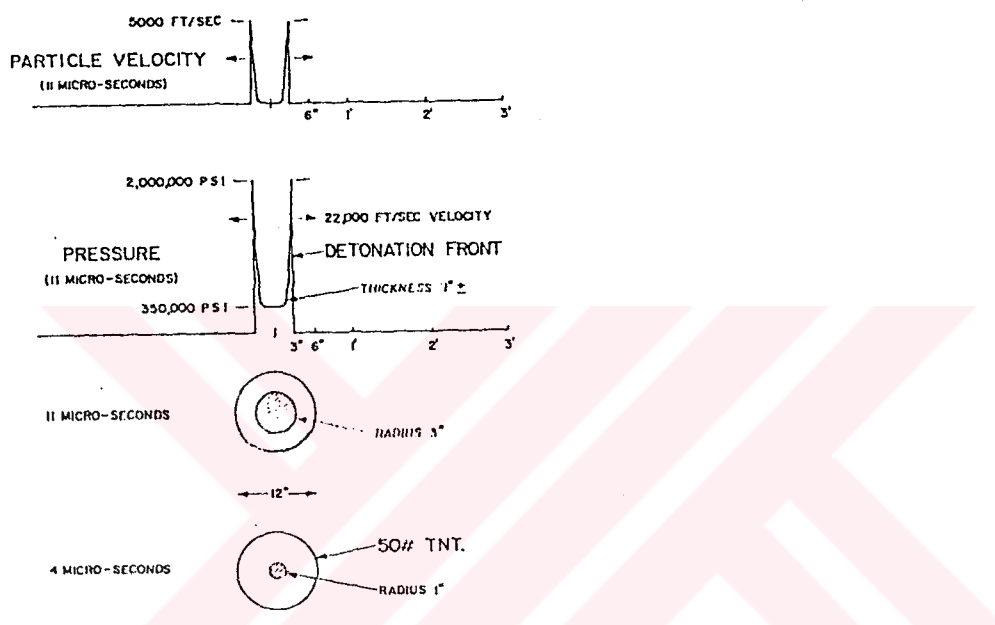
$$u = 475 \sqrt{T/m}$$

bağıntıları ile verilmektedir. Burada T kelvin derece veya santigrat derece cinsinden sıcaklık, m gazın moleküler ağırlığı (örneğin; O₂ için 32), u ise gaz molekülerinin ft/saniye olarak ortalama hızını göstermektedir. Gazın oluşturacağı kuvvetin ölçüm biçiminde basıncıdır. İdeal bir gaz için basınç ilişkisi;

$$P = 4.49 \times 10^{-3} \alpha u^2 \quad (2)$$

olarak verilmektedir. Burada P gaz basıncını (psi), p gazın yoğunluğunu (gr/cç) göstermektedir.

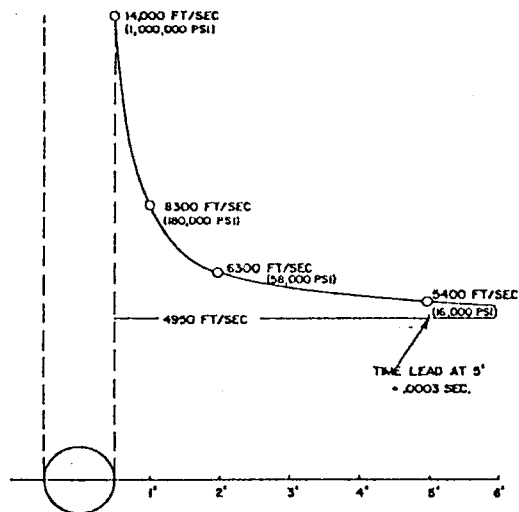
Patlamayı sonlu hızı sahip dalga yayınımı olarak düşünür ve patlama modelimizi küresel konumda incelersek, böyle bir patlama gazla dolu olarak bir boşluk oluşturma şeklinde anı olarak açığa çıkarılmasıdır (Şekil 2.1.). TNT içindeki kimyasal bağların kopmasıyla oluşan yüksek hızlı moleküller küresel olarak dışa doğru yayılırlar. Hareket eden gaz sıvı arayüzeyi patlama önü (detonation front) olarak adlandırılır. Bu patlama önü çeşitli patlayıcılara göre değişim gösterir. Böyle bir durum Şekil 2.1.'deki gibi, 22000 ft/sn patlama hızı olan bir patlayıcının, dört mikrosaniyede genişleme yarıçapı 1 inç, 11 mikrosaniyede ise 3 inç olmaktadır. Patlama önü 1 inçlik uzaklık için yaklaşık olarak 350000 psi lik bir basınç uygulamaktadır.



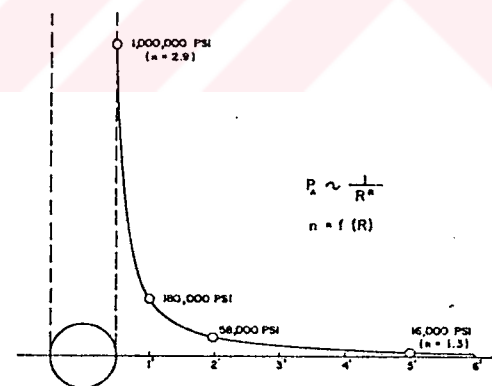
Şekil 2.1. Patlama boşluğunun gelişimi.⁴

TNT - Su arayüzeyinde iki olay meydana gelir. Bunlardan birincisi su çevresinin anı bir sıkışmaya maruz kalması ve anı bir şok dalgasının oluşturulması, ikincisi ise gaz küresinin içerişine doğru azalan bir dalganın (rarefaction wave) hareketi. Bu işlemler sırasında su civarındaki sıcaklık da artış gösterir. Patlama dalgasının (detonation wave) küresel hareketiyle yüksek pik basıncı korunur. Bununla beraber su civarında sürtünmeden dolayı dalganın enerjisinde kayıplar oluşur. Böylelikle pik puls basıncındaki hızlı azalma nedeniyle, şok dalgası yarıçap doğrultusunda küresel yayılma ile beraber ele alınır.

Şekil 2.2 'de 30 mikrosaniyedeki (patlamadan sonra) pik basıncı 550.000 psi dir. Yüksek basınç altında deniz suyu ideal elastik değildir. Bu durumda doğrusal olmayan (non-lineer) bir kaynak gibi davranıştır. Anı sıkışma



Şekil 2.3 Şok dalgası hız-uzaklık grafiği.⁴



Şekil 2.4 Şok dalgası pik basıncı-uzaklık grafiği.⁴

nedeniyle kompakt bir hal almaktadır. Böylece yayılan şok dalgasının hızı, dalganın pik basıncının bir fonksiyonudur. Şekil 2.3'de şok önü yayılım hızını uzaklığın bir fonksiyonu olarak ele alınmaktadır. Yine aynı durumda basınç uzaklık ilişkisi Şekil 2.4'de verilmiştir. Model patlayıcımızın anlık pik basıncı 1.000.000 psi ve tahmini yayılım hızı 14.000 ft/saniye, bir foot'luk (yarıçap doğrultusunda) uzaklıktaki anlık pik basıncı 180.000 psi, hızı ise 8300 ft/saniye dır. 5 feet lik bir uzaklıkta anlık pik basıncı 16.000 psi, şok dalgasının yayılım hızı 5400 ft/sn olmaktadır.

Şekil 2.4'de patlayıcı-su arayüzeyindeki pik basıncı başlangıçda (R) radyal uzaklığın -2.9 kuvvetiyle düşer. Buradaki anlık basınç ise 1.000.000 psi dir. Radyal uzaklığın 5 inch olması $R^{-1.3}$ ile bozşarak 16.000 psi'ye düşer. Genellikle başlangıçdaki enerjinin %30 'unun kayba uğradığı görülmüştür. Pik basınç $R^{-1.13}$ lük bir bozışmaya kadar devam eder. Eğer puls sediment veya kayaçlara girerse, pulstaki bozışma (boyunda uzamayla) dahada artar.

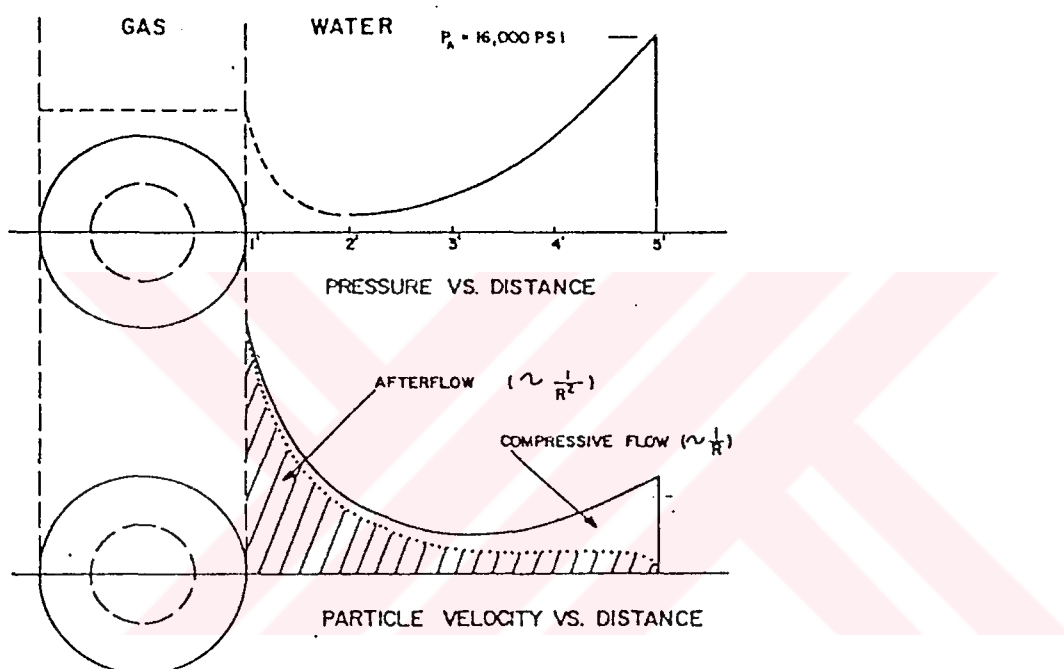
Şekil 2.5 'de patlanmadan sonra 630 mikrosaniyede tahmini olarak basınç ve hız alanlarındaki değişim görülmektedir. Yayılan bu dalga, dışa doğru genişleyen bir enerji paketçiği şeklinde düşünülebilir. Bu enerji paketinin yayılım hızı 5400 ft/sn dir. İç extremdeki basınç profilinin şekli gaz kabarcığını içeriğine bağlıdır. Şekil 2.2 'deki 30 mikrosaniyedeki durumda gaz kabarcığını başlangıçdaki basıncı 350.000 psi civarındaydı. Bu basınç kısa bir süre için muhafaza edilmiş ve gaz kabarcığı genişleyip büzülürken hızlı bir şekilde düşüm göstermiştir. 630 mikrosaniyeye gelene kadar, düşünebilirizki içte hareket eden dalgalar pek çok defa boşluk duvarları arasında yansıtılmış olacaktır ve gaz kabarcığı içerisinde düzgün tekdüze (uniform) bir sıcaklık basınç dağılımı sağlanabilecekti. Şekil 2.5 'de 10.000 psi lik basınçdaki gaz kabarcığı, basınç olarak hızlı bir düşüm gösterecektir. Kabul edilen gaz kabarcığı yarıçapı 1 foot olup, gaz kabarcığını çevreleyen suyun basıncıyla, uzaklığın dördüncü kuvveti ile azalacaktır. Böylece buradaki basınç profilini iki ucundan bağlanmış sarkan bir zincir şeklinde düşünebiliriz. Bu zincirin dış extremi daha yüksek basıncı, iç extremde gaz kabarcığının basıncını temsil edecektir. Her iki extremden itibaren uzaklığa basınç düşmektedir. İki extrem arasında basınç değeri minimum olmaktadır ve basınç eğrisinin kuyruk tarafı gaz kabarcığının basınç davranışıyla belirlemektedir. Sonunda bu kuyruk basıncı hidrostatik basıncından daha düşük değerlere ulaşacak ve hidrostatik basıncada göre negatif değerler olacaktır.

Küresel simetri gözönüne alınarak basınç-hız ilişkisi sabit bir noktada alınacak ölçümlle, akustik bir yaklaşımla formülüze edilebilir. Bu eşitlik;

$$V = \frac{P}{\rho c} + \frac{1}{\rho r} \int_0^r P dt$$

ile ifade edilebilir. Burada; V anlık partikül hızı, P anlık basınç ($P - P_0$), p akışkanın yoğunluğu (suyun), p_c akustik empedans, r ölçüm noktasının radyal uzaklığı, t zamanı göstermektedir. Bu denklem su partükülü ve hızı için iki durumda incelenir.

- 1) Bu bir akustik terimdir ve basınç dalgası olarak aynı puls şekline sahiptir. Buna sıkışır akış (compressive flow) da denir.
- 2) İkinci kısımdaki integral akış için gerekli olan küresel ilerlemeyi belirtir. Akış sonrası (after flow) bölümünü adını alır. Burada enerji geçici olarak depoalanır.

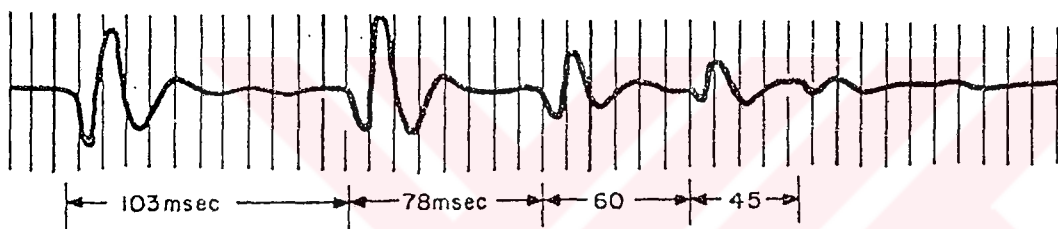


Şekil 2.5 630 mikrosaniyedeki basınç ve hız alanları.⁴

BÖLÜM 3

Sualtında Sismik Dalga Üretilmesi Ve Sorunları

Idealde bir sismik kaynağın delta impulsu şeklinde olması istenir. Ancak bunun pratikdeki güçlüğü hatta imkansızlığıda bilinmektedir. Deniz sismik çalışmalarında da bu impulsif pulsların oluşumunu engelleyen kabarcık (bubble) pulsu etkiside söz konusudur. Aniden suya verilen yüksek basınçlı hava su içerisinde bir boşluk meydana getirir (explosion) ve bu boşluk etrafındaki hidrostatik basınç nedeniyle su tarafından sıkıştırılarak yok edilmeye çalışılır. ve hava kabarçığının çapı küçülür (implosion). Böylece suda meydana gelen bu pozitif ve negatif basınç değişiklikleri bir sismik sinyal olarak yayınıma geçer. ancak su içinde çapı ufalmış olan bu hava boşluğu, içerisindeki basınç artışı yüzünden tekrar genişler (expansion) ve yine ufalır. Bu durumda sanki ikinci bir patlama oluyormuşcasına yeni bir sismik sinyal oluşur. Bu durum periyodik olarak devam eder ve (bubble) kabarcık osilasyonu adını alır. Şekil 3.1 'de böyle bir osilasyonun oluşumunu ifade eden bir sinyal örneği görülmektedir.



Şekil 3.1. Küçük bir su altı patlamasından oluşan kabarcık (bubble) pulsları örneği. Enerji azalımı ile zaman aralıklarında daralma görülmektedir.⁶

Lord Rayleigh (1859), kaynayan bir çaydanlıktaki buhar kabarçıklarının osilasyonunu incelemiştir, buradan elde ettiği bilgiler ışığında aşağıdaki amprik bağıntıyı bulmuştur. Bu bağıntı;

$$T = 1.83 A_m \sqrt{\frac{p}{P_0}}$$

Burada T saniye cinsinden kabarcık osilasyon periyodu, A_m cm olarak gaz kabarçığının yarıçapı, p gm/cc olarak akışkan yoğunluğu, P_0 mevcut hidrostatik basınçtır. Bunu ardında H.F Willis (1941) yılında, A_m yarıçaplı bir küresel kabarcık için Q potansiyel enerjisinde kullanarak;

$$Q = \frac{4}{3} \pi A_m^3 P_0$$

bağıntısını ve buradanda Rayleigh'inin kabarcık periyodundan yararlanarak;

$$T = 1.14 \rho^{\frac{1}{2}} P_0^{-\frac{5}{6}} (KQ)^{\frac{1}{3}}$$

bağıntısını türetmiştir. Yukarıdaki bu eşitlik Rayleigh Willis formülü adını almıştır. Deniz suyu yoğunluğunu 1.024 gm/cc, P_0 yerine ($d+33'$) alınırsa (d su yüzeyinden kabarcık merkezine olan mesafe olmak üzere), bu durumda eşitliğimiz;

$$T = \frac{0.000209 (KQ)^{\frac{1}{3}}}{(d+33)^{\frac{5}{6}}}$$

durumunu alacaktır. Burada K sabit olup çeşitli enerji (Q) durumlarına göre değer alır. Bunlar;

K	Q
1.0	Erg
1.00×10^{10}	Kilo-joule
1.36×10^7	Foot-Paunds
4.18×10^{10}	Kilogram-kalori
1.88×10^{13}	% 60 lık dinamit şarji

Rayleigh-Willis formülünde, su akışının (water flow) küresel simetrik ve sıkışmasız olduğunu, gazın iç enerjisinin ihmali edilebileceğini, kabarcık yarıçapı maximumdayken potansiyel enerjinin belirlenebilir olduğunu göstermektedir.

Rayleigh-Willis formülü, su altı sismik kaynaklarının çeşitli tiplerinin, sismik etkilerinin bağıl enerjilerinin önkestiriminde oldukça kullanışlıdır. Kaynağın gücü değişsede kabarcık potansiyel enerjisi ile kaynağın

gerçek enerjisi arasındaki oran sabit kalır.

Şekil 3.2 'de bu Rayleigh-Willis eğrisi görülmektedir. Bu grafikte, potansiyel kabarcık enerjisinin bir fonksiyonu olarak 30 foot derinlikteki kabarcık osilasyon periyotları işaretlenmiştir. Bununla beraber 12 foot derinlikteki tam, yarım ve çeyrek periyotlardaki durumu işaretlenmiştir. Diğer eğrilerde aynı paralelliği göstermiştir.

Dinamit kullanımının olmadığı durumlarda, bazı dinamik şartları incelemek yararlı olacaktır. Su altı sismik enerji kaynaklarının değişik tiplerinin incelenmesinde, hidrolik akış için Bernoulli denklemine bakmak faydalı olacaktır. Su altında ve civarındaki küresel simetrik, sıkışmasız akışı olan ideal bir küresel kaynak için bu denklem;

$$P - P_0 = \frac{1}{r} \frac{\rho}{4\pi} \frac{\delta^2 V}{\delta t^2} - \frac{1}{r^4} \frac{\rho}{32\pi^2} \left(\frac{\delta V}{\delta t} \right)^2$$

olup, P kaynağı merkezinden r uzaklığında ölçülen toplam su basıncı, P_0 mevcut mutlak hirostatik basınç, ρ su çevresi akışkan yoğunluğu, V küresel kaynağın hacmidir ($\text{org; air gun odacık hacmi}$). Bu denklem iki durumda incelenebilir;

- 1) Denklemdeki ilk bileşen, kaynağın hacimsel ivmelenmesi ile orantılı olup uzaklığın birinci kuvveti ile düşer.
- 2) Denklemdeki ikinci bileşen ise, hacimsel hızın karesiyle orantılı olup negatif işaretli olarak uzaklığın dördüncü kuvveti ile azalır.

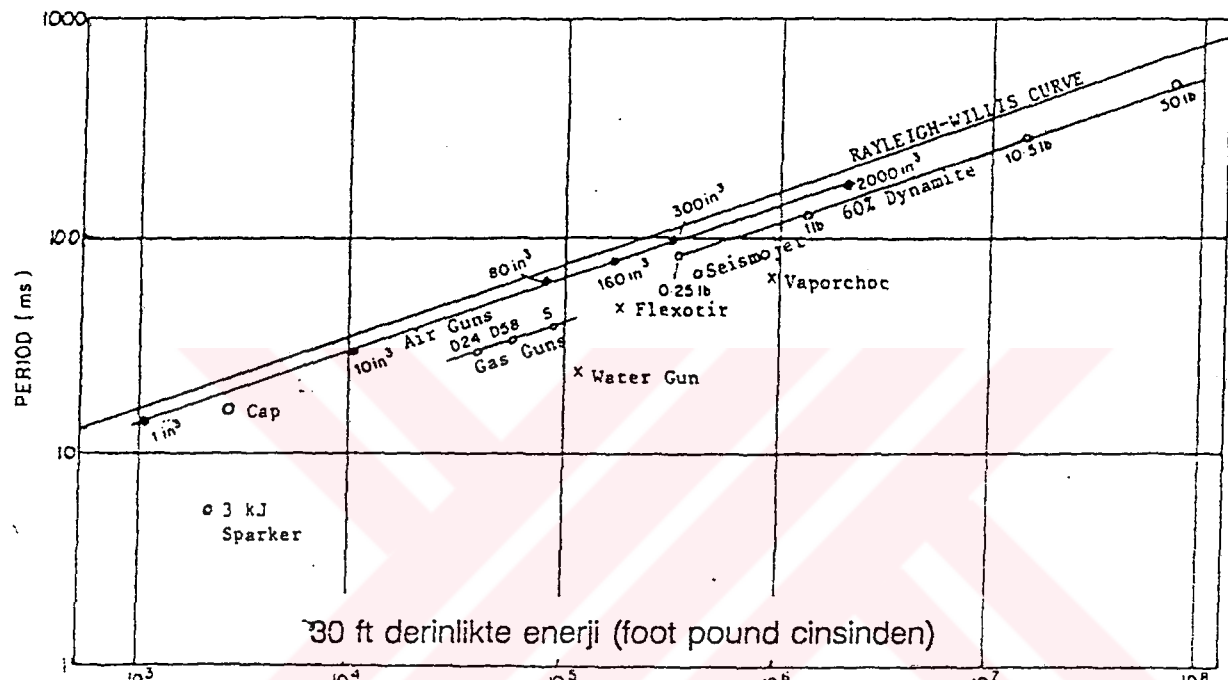
Gerçekte su sıkıştırılabilir ve kaynaktan çıkan şok dalgasında sıkıştırılabilirdir. Su içindeki dalganın yayınım hızının sonlu olması, suyun sıkıştırılabilir olduğunu göstermektedir. Bununla beraber bu iki ana kısmı tekrar ele alırsak;

- 1) Kaynaktan çıkan dalga, $1/r$ ile orantılı olarak azalır ve uzak alan (far field) kısmı olarak bilinir.
- 2) Hidrolik akış sonrası $1/r^4$ ile orantılı olarak azalır ve yakın alan (near field) kısmında yer alıp, doğrudan kabarcık (bubble) osilasyonu ile ilgilidir.

Diğer bir anlatımı;

- 1) Etkili bir su altı sismik enerji kaynağı için, yüksek derecede bir hacim ivmelenmesine gereksinim duyulur. Bu kaynak su içerisinde çok hızlı veya çok ani boşaltılmalıdır ki, bir basınç pulsu oluşturulabilse. Aksi durumda etkili veya güçlü bir sismik kaynak oluşmaz.
- 2) Her ne kadar hoşlansak da hoşlanmasak da bir yakın alanımız mevcuttur ve bileşik kabarcık osilasyonunda bu kısım içerisinde yer almaktadır.

Bunların yanında önemle üzerinde durulması gereken diğer bir hususda, sismik yansıtma ve kırılma çalışmaları için kافي derecede enerjinin oluşturulmasıdır. Dinamit kullanımında, dinamitin büyüklüğü ile sinyal/gürültü oranı kontrol edilebilmektedir. Fakat dinamitin kullanılmadığı durumlarda, kaynağın gücü sınırlı kalmaktadır. Genellikle bu sorunun önüne geçebilmek için, değişik veri toplama teknikleri ve çoğunluklada kaynak dizilimi (array) kullanılmaktadır.



Şekil 3.2 . 30 ft derinliğindeki tek üniteli kaynakların enerji-periyod grafiği⁴

BÖLÜM 4

DENİZ SİSMİK KAYNAKLARINA GENEL BAKIŞ

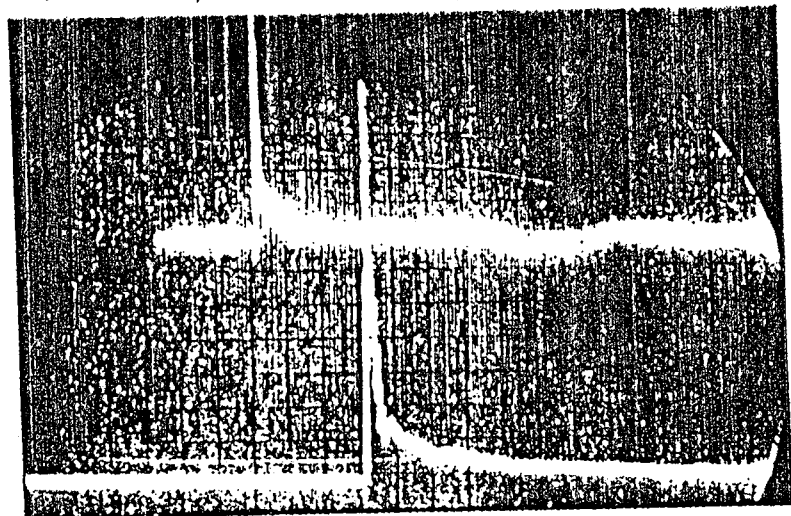
Dinamit;

Deniz sismik çalışmalarında dinamit kullanımı, ilk defa Kaliforniya sahillerinde denenmiştir. Anormal balık ölümleri olunca hükümet tarafından yasaklanmıştır. Güçlü ve geniş bir spektromu olan dinamit, kullanımında doğabilecek hayatı tehlikeler ve politik nedenlerden dolayı, başka sismik kaynaklara yönelinmiştir. Bunun ardından kullanılan dinamit menşeyili siyah barut ve yine çeşitli ağırlıklarda dinamit, en az balık ölümüne sebebiyet verecek şekilde deniz sismik çalışmalarında kullanılmaya başlanmıştır (1956-). Şekil 4.1 'de 1 lb lik dinamit ile 45 lb lik siyah barut karşılaştırılması görülmektedir. Siyah barutun balık ölümülerini azaltmasına karşın, gücündeki düşme nedeniyle penetrasyonda azalmaya neden olmuştur. Yani siyah barut geniş puls (dar frekans bandı) biçimindedir.

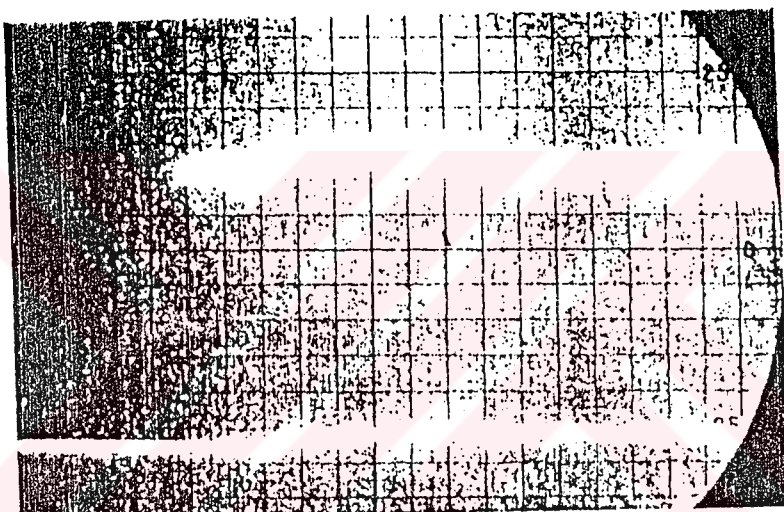
Daha sonra denenen ve penetrasyon-balık ölümü arasında iyi bir uyum sağlayan (penetrasyonu artan, deniz canlılarının ölümünü azaltan yönde), Multipuls yöntemi kullanılmıştır. Böyle bir şarjin hazırlanışı ve oluşturacağı basınç sinyali Şekil 4.2 ve Şekil 4.3 'deki gibidir. Şekil 4.4 'de değişik malzemelere göre patlama hızlarının bir değerlendirmesi görülmektedir. Şekil 4.5 'de 10 lb multipuls, 10 lb dinamit, 90 lb siyah barut şarjlarının uyguladıkları basınçlar birlikde ifade edilmektedir.

Dar puls yaratmak amacı ile denen, Seismex (50 lb) patlayıcısı enerjinin fazlaca su yüzeyine çıkması ve alıcılarda ek bir gürültü oluşturması nedeniyle, sağlıklı olarak kullanılamamıştır. Şekil 4.6 'da böyle bir şarjin hazırlanışı, Şekil 4.7'de patlatılması görülmektedir.

Ayrıca kullanılacak olan düşük enerji kaynakları, yüzey yansımıası ve kabarcık osilasyonu nedeniyle ikincil pikler oluşturmaktadır. Şekil 4.10 ve Şekil 4.13 'de bu piklere örnekler verilmektedir. Belki toplam enerjinin fazla olması penetrasyonu artırabilir. Yinede bizim önemle üzerinde durmamız gereken konu yüksek ayrımlılık (tabaka ayrımlılığı) olacaktır. Şekil 4.8 'de bir dinamit sismik enerji kaynağının patlamadan sonraki, sualtı enerji dağılımı görülmektedir. Buradan da anlaşılacağı üzere dinamit ve benzeri kimyasal patlayıcıların kullanılsızlığı ve elverisizliği, daha düşük enerji kaynaklarının kullanımına neden olmuştur.



(a)



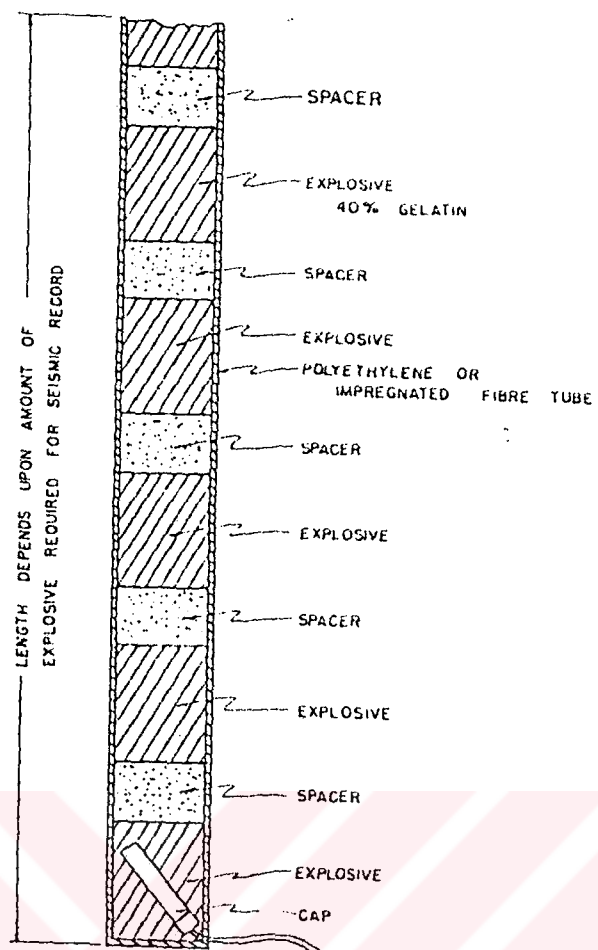
(b)

Şekil 4.1.

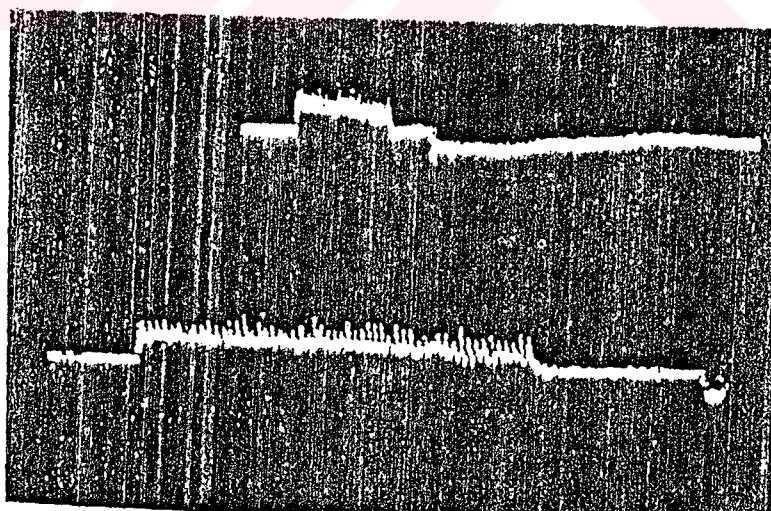
(a) 25 ft genişlikte %40 lik 1 lb lik bir dinamit şarjının basınç eğrisi

(b) 50 ft genişlikli 45 lb siyah barutun oluşturduğu basınç eğrisi

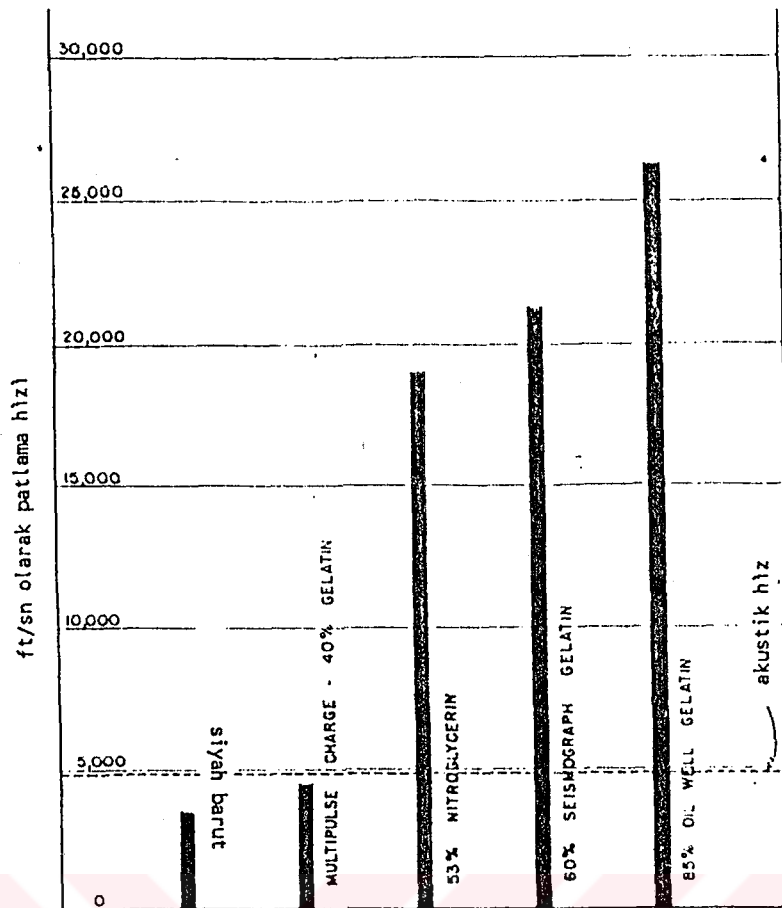
(Düşey Ölçek: herbir bölüm 38 psi, yatay ölçek her bölüm 1 ms ve 0-2 ms)



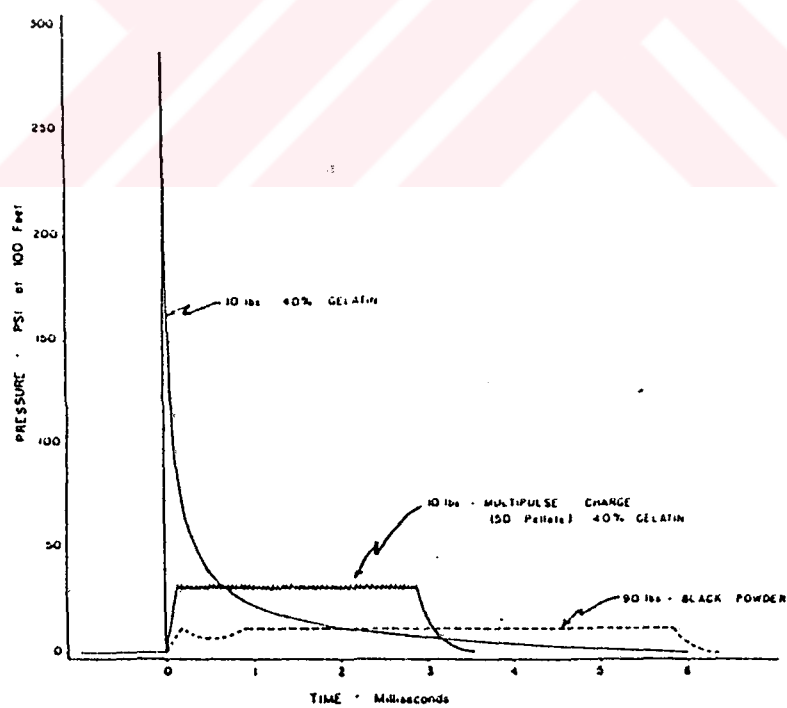
Şekil 4.2. Multipuls şarji (Jakosky ve Jakosky den)²



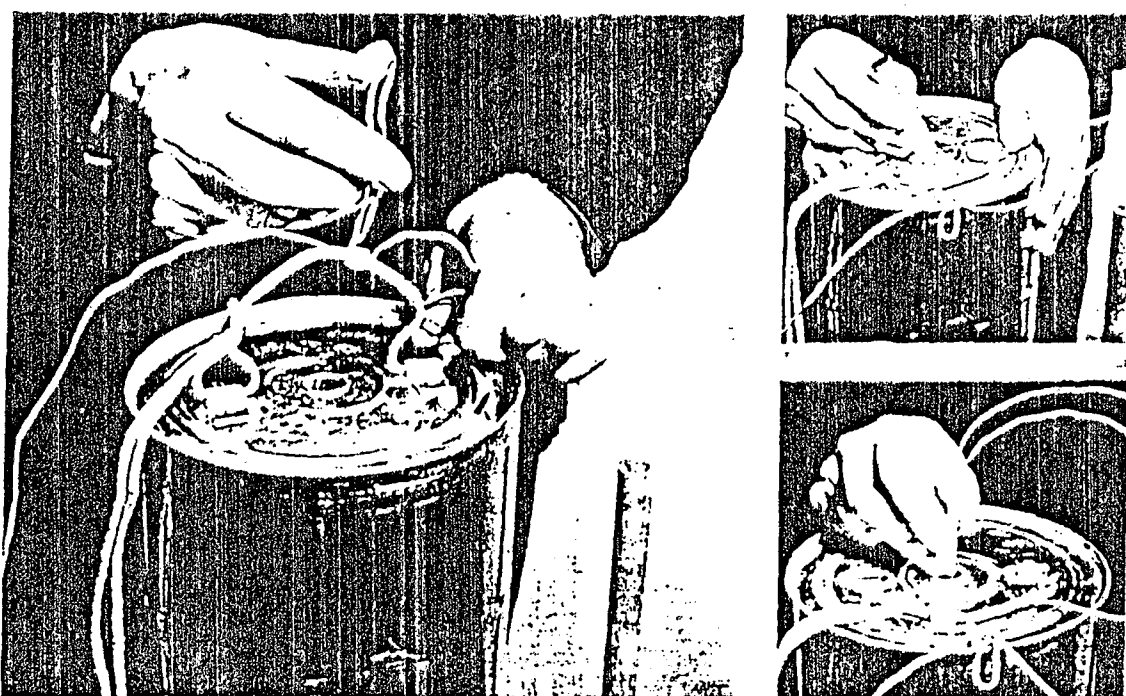
Şekil 4.3. 50 patlayıcı kutucuğa sahip 10 lb lik bir multipuls basınç eğrisi
Olçek: yatay her bölüm 1 ms, düşey 38 psi²



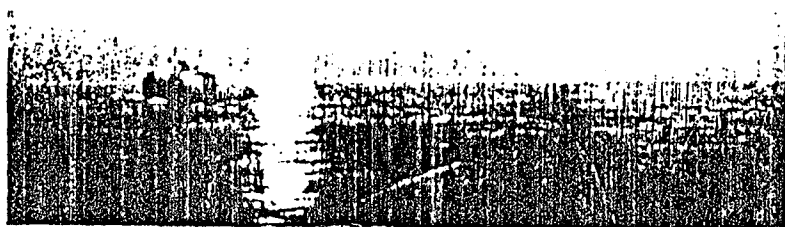
Şekil 4.4. Farklı malzemeler için patlayıcı hızlarının mukayesesı²



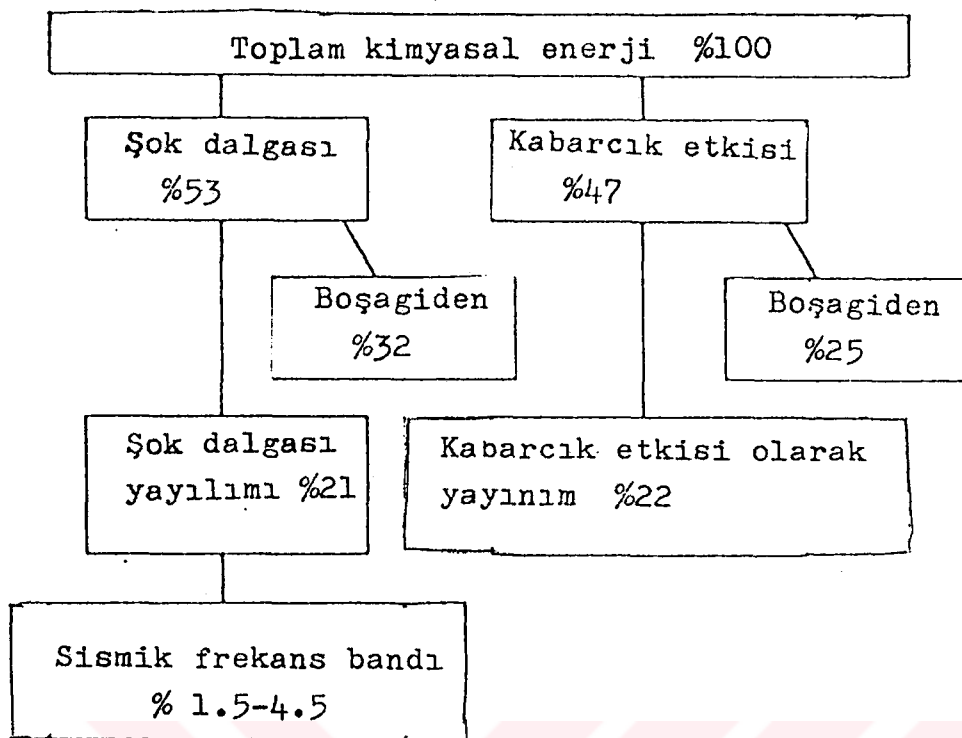
Şekil 4.5 10 lb %40 jelatin, 10 lb multipuls ve 90 lb siyah barut için basınç zaman eğrileri²



Şekil 4.6. 50 lb lik bir seismex şarjının hazırlanışı.²



Şekil 4.7 50 lb lik seismex şarjının atış hali.

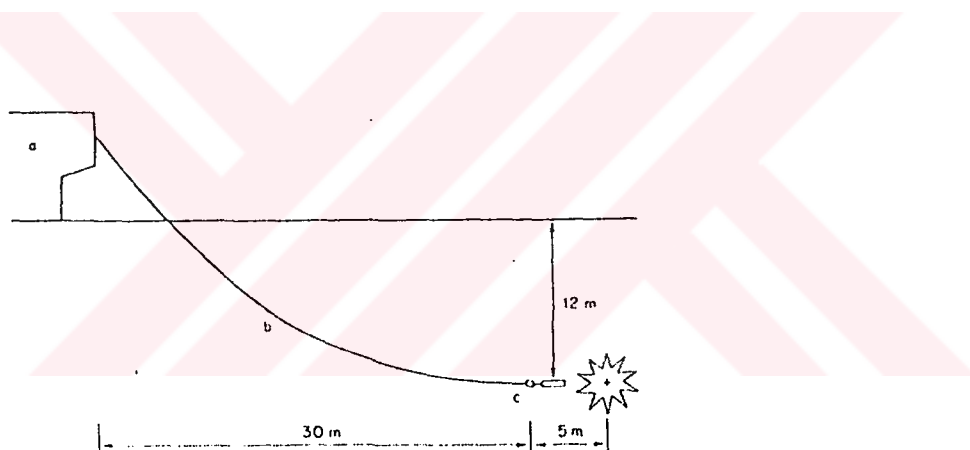


Şekil 4.8 Sualtındaki bir TNT (trinitrotoluen) patlayıcısının toplam kimyasal enerjisinin dağılımı.²

Deniz Sismik Çalışmalarındaki Düşük Enerji Kaynakları

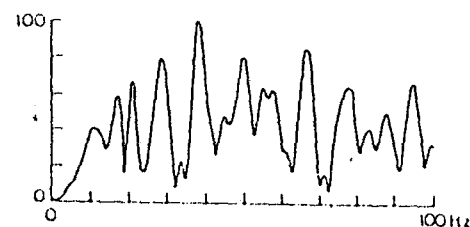
Maxipulse

Maxipuls sistemi, Şekil 4.9 'da şematik olarak görülmektedir. 12 sn aralıklarla, deniz yüzeyinden 12 m aşağıda 224 gr. nitrokarbonitrat kullanılmaktadır. Kapsül içinde bulunan karbonitrat, hidrolik olarak su basıncı yardımıyla, bir hortumun içerisindeki su altındaki maxipuls tabancasına pompalanır. Hortumun alt ucundaki tabancada kapsül patlama tekerleğine çarpar ve bir saniye gecikme ile patlar. Bu gecikme zamanı ($\approx 5\text{m}$) içerisinde gemi uzaklaşır ve muhtemel bir hasardan kaçınılmış olur. Maxipuls sistemi oldukça geniş (bubble) kabarcık pulsları oluşturur. Bu nedenle alınan kaytlardan bu etkilerin veri-işlemde giderilmesi mümkün değildir. Bunu sağlamak için hortum ucuna monte edilmiş olan bir hidrofon patlama zamanını ve kuyruk oluşturan (bubble) kabarcık zamanını kayıt eder. Bu sistemde çoğunlukla ilk patlama enerjisi kabarcık enerjisinden daha çok enerjiye sahiptir. Şekil 4.10 'da tipik bir maxipuls sinyali ve genlik spekturumu görülmektedir. Şekil 4.11 'de kayıt edilen yakın alan sinyalinin sayısal proses operatörü olarak kullanımı (veri-işlemde) görülmektedir. Şekil 4.11.a 'da maxipuls içinde kullanılan bir superseis şarji kesiti ve tabancası gösterilmektedir.

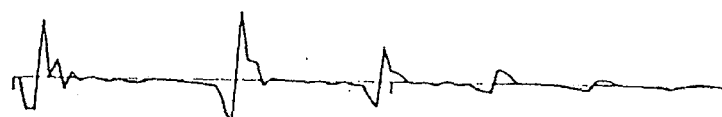


Şekil 4.9. Maxipuls sistem şeması; a-atış gemisi, b-hortum, c-tabanca transdüser konumu²

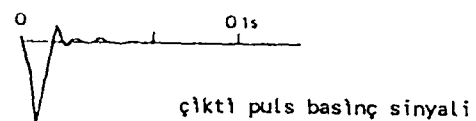
Başlangıç pulsu ve kabarcık (bubble) sinyallerinin genlik spektrumu



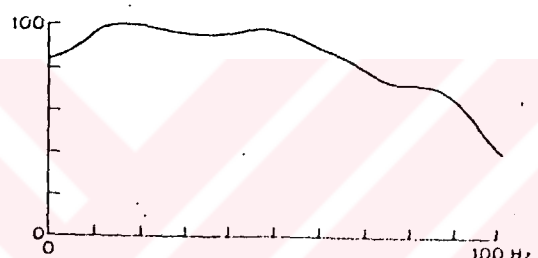
Başlangıç pulsu (bubble) kabarcık dizisinin basınç sinyali



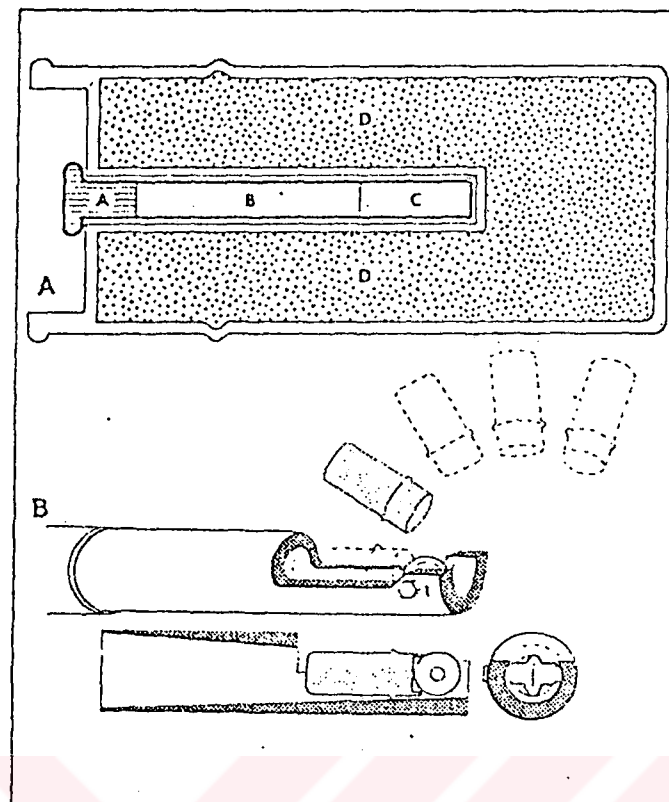
Şekil 4.10. Kayitedilen bir Maxipuls sinyali ve genlik spekturumu²



çıktı pulsunu genlik spekturumu



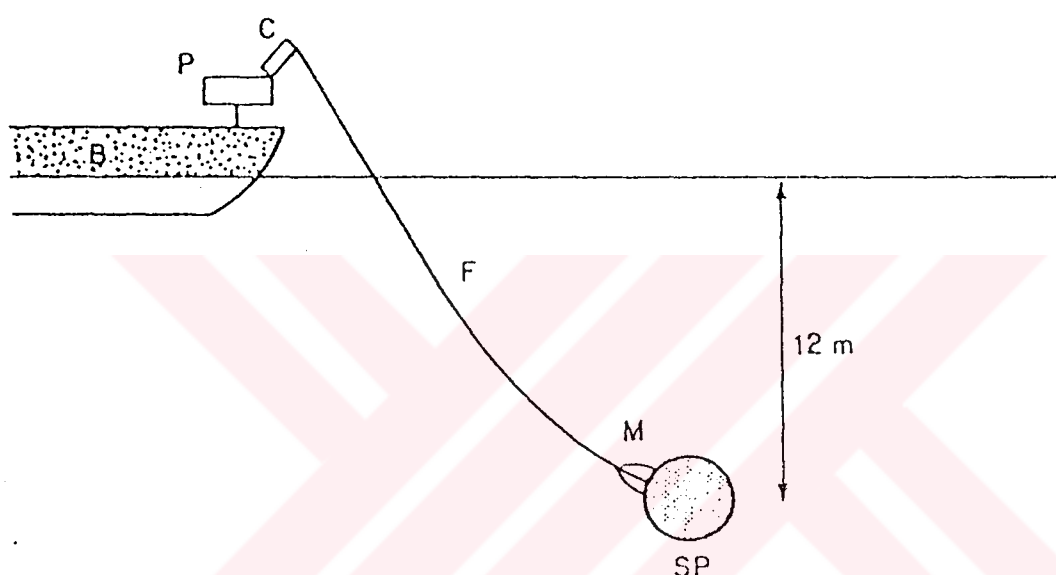
Şekil 4.11. Veri-İşlem sonrası maxipuls sinyali ve spekturumu²



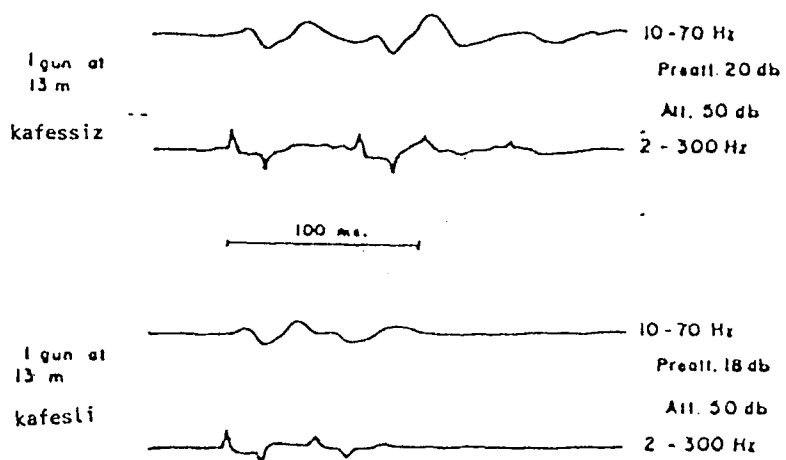
- Şekil 4.11.a. I) Bir maxipulse içinde kullanılan superseis şarjının şematik görünümü.
 A- Ateşleyici kısım, B- Gecikme kolonu, C- İtici kısım, D- Nitrokarbonitratın bulunduğu kısım.
- II) Maxipulse tabancasının ateşleme tekerleği yardımıyla şarjin hareketinin perspektif görünümü ve ateşleme sırasında tekerleğin tabanca içindeki görünümü¹⁰

Flexotir

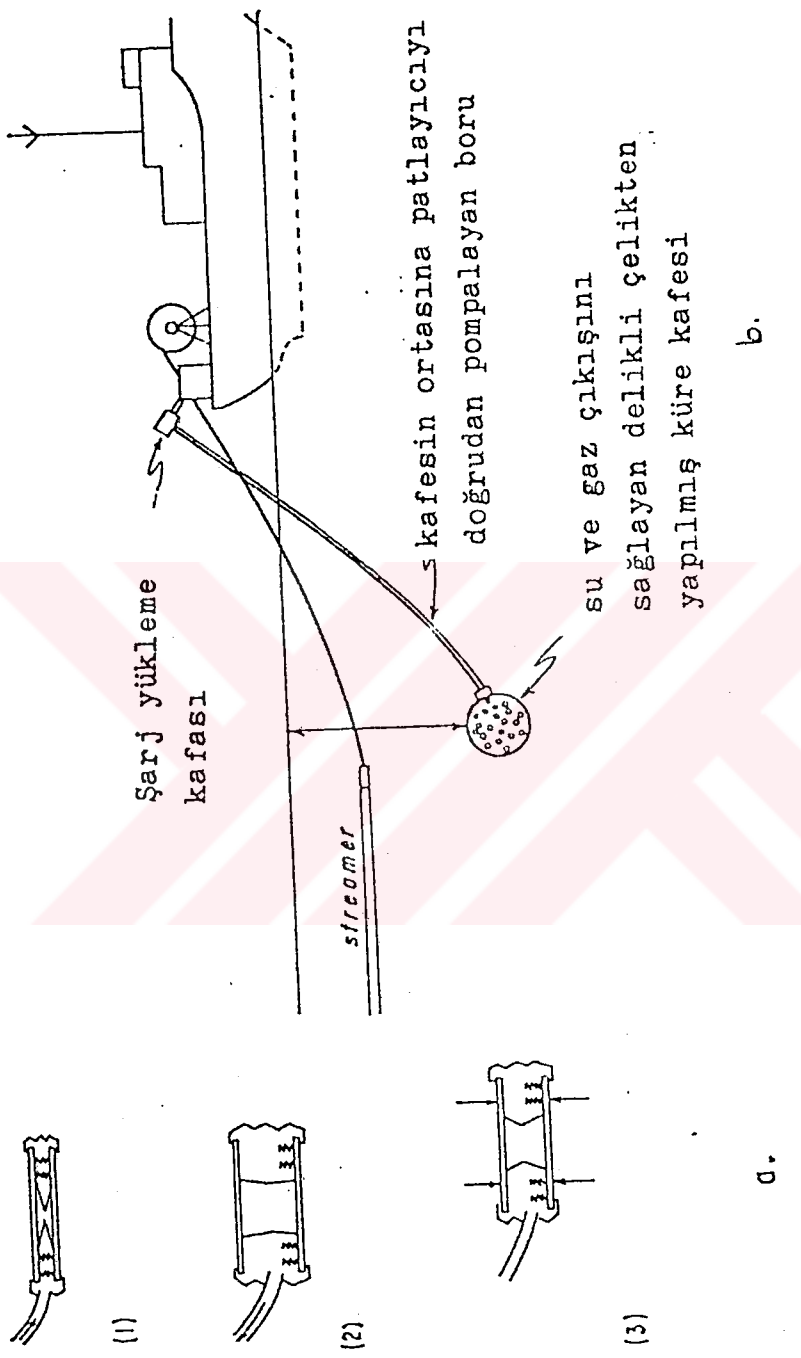
Bu sistemde (Şekil 4.12); küçük bir dinamit parçasının (≈ 50 gr), kalın çeperli dökme demirden yapılmış, çapı yaklaşık 2 ft olan ve bir çok delikleri bulunan küre biçimli kafes içinde patlatılması ile sismik sinyal oluşturulmaktadır. Dinamit bu kafesin merkezine yerleştirilip, elektrik arkı vasıtasyyla ateşlenir. Patlamaya beraber genişleyen gazdan dolayı, kafesin deliklerinden sular dışarıya doğru hızla fışkırır. Daha sonra sular tekrar deliklerden içeri girerek, gaz kabarcık osilasyonunu sönmürlər. Şekil 4.13 'de kafesli ve kafessiz olmak üzere 10-70 ve 2-300 Hz frekans bandlarındaki, Flexotir sinyalleri görülmektedir. (Şekil 4.13.a) 'da Flexichoc ve Flexotir çalışma prensipleri şematik olarak gösterilmektedir.



Şekil 4.12. Flexotir sisteminin şematik görünümü; B-Kayıtçı Bot, P-Pompa, C-Yükleme Kafası, M-Ateşleme Bölümü, SP-Küre²



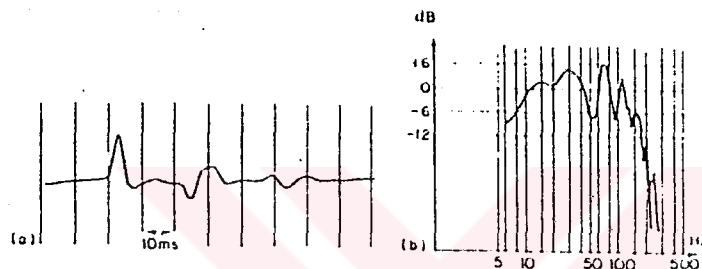
Şekil 4.13. %28 delik yoğunluğlu kafes ile sökümlendirilmiş Flexotir kabarlığı (bubble), Kayıt uzaklığı 100 metre.²



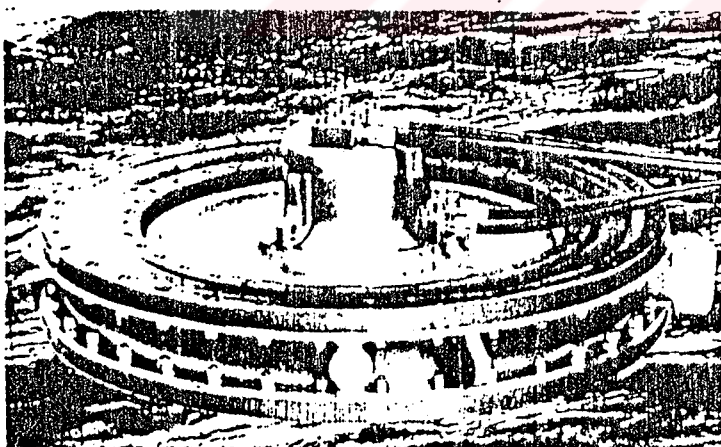
Sekil 4.13.a. (a) Flexichoc; (1) patlamadan hemen sonra, (2) Patlamaya hazır durumu, (3) Atıştan 10 ms önceki durumu ve (b) Flexotırıç

Flexichoc

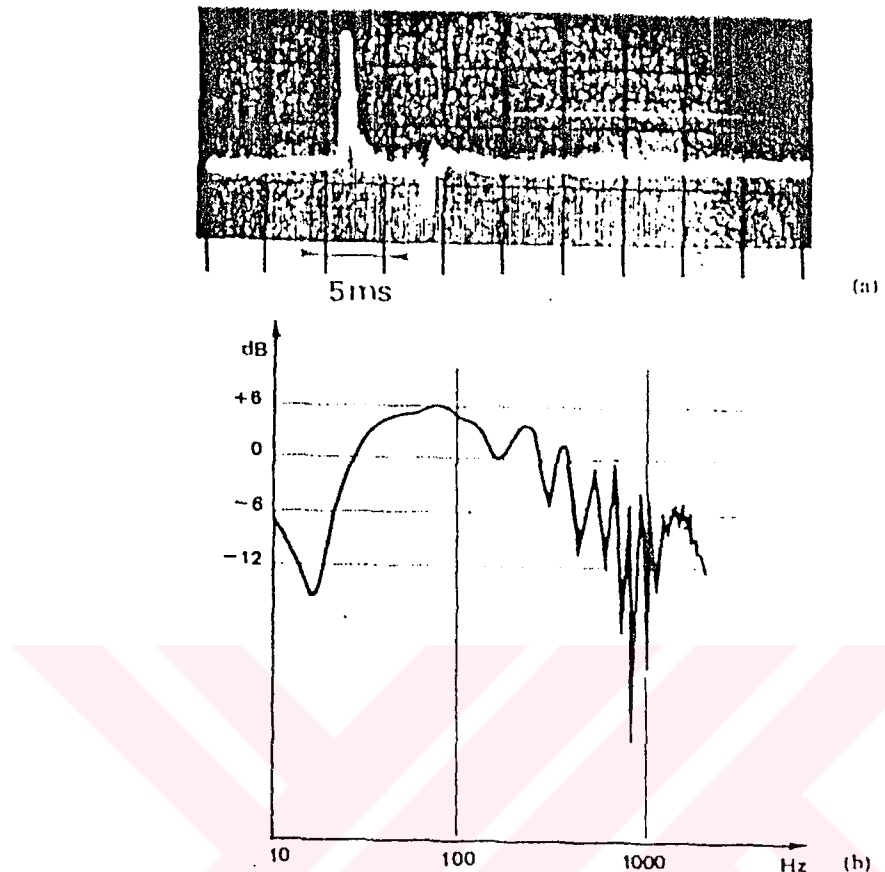
İki plaka arasında havanın sıkıştırılıp aniden açığa çıkarılması ile akustik sismik sinyal üretilmektedir. Bu sistem CGG firması tarafından geliştirilmiştir. Hacmi değişim olan bir odacık içerisinde hava pompalanır. Odacığın yan duvarları su içerisinde genişleyerek, su içinde basınç oluşturulur. Odacık içerisindeki havanın boşaltılması ile yan duvarlar hidrostatik basınç dolayısıyla eski yerine döner. Böylece bir (implosion) sıkışma olur. Bu şekilde kabarcık osilasyonu olmayan bir sismik sinyal oluşturulur. Şekil 4.14 'de 14 metre derinlikte, tek bir flexichoc patlaması sonucu oluşan sinyal ve genlik spekturumu görülmektedir (6-250 Hz band genişliğinde). Şekil 4.15 'da bir flexichoc ünitesi gösterilmektedir. Burada hava basıncı yerine yağ basıncı kullanılmıştır. Şekil 4.16 'da ise oluşturulan tek bir flexichoc sinyali (yağ basıncılı) ve genlik spekturumu verilmektedir. Şekil 4.16.a 'da ve Şekil 4.13.a 'da flexichoc çalışma prensibi şematik olarak görülmektedir.



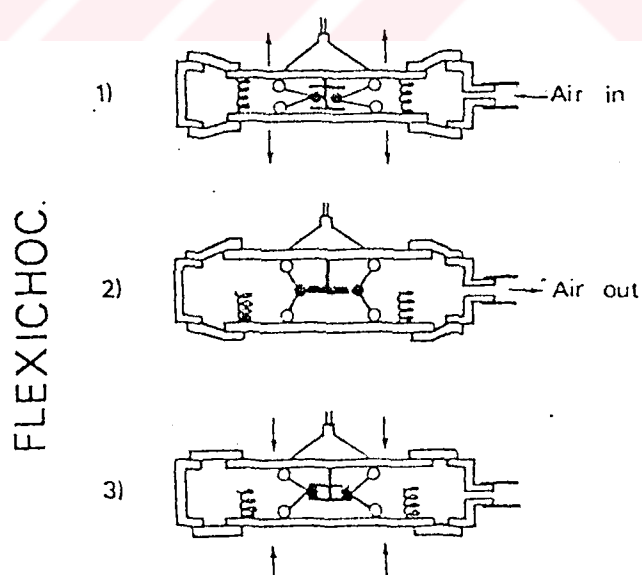
Şekil 4.14. Flexichoc sinyali (14 metre derinlikde) (a), spekturum (b)



Şekil 4.15. Tek bir flexichoc ünitesi.



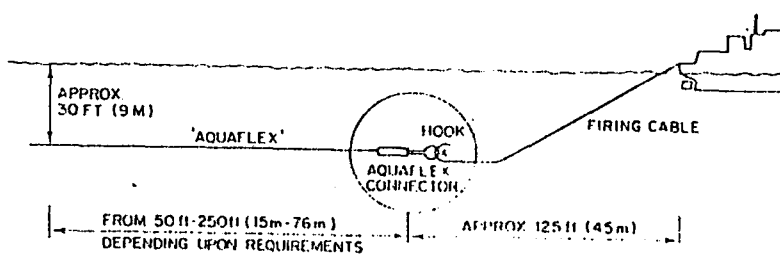
Şekil 4.16. Flexichoc sinyali (5 metre derinlikde); (a) sinyal görünümü, (b) genlik spekturumu²



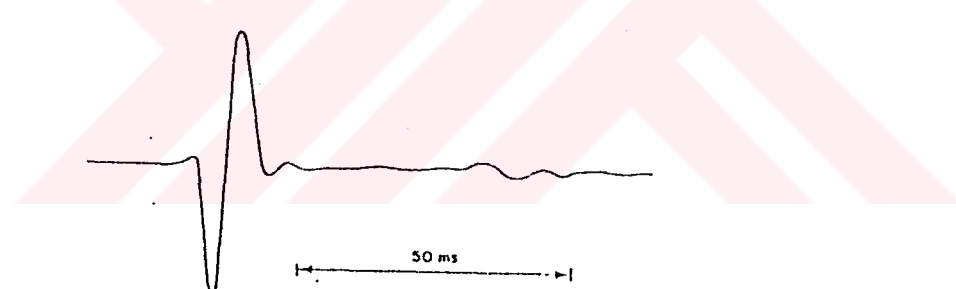
Şekil 4.16.a. Flexichoc çalışma prensibi.¹⁰

Aquaseis

Bu sistem şekil 4.17 'deki gibi bir kimyasal patlayıcı olup, ≈30 metrelik bir iple çekilen 18 sn aralıklarla 12 metre derinliğe kadar patlatılabilen, 1.5 lb ağırlığında, Penta Eritriol-Tetranitrat içerikli bir sismik enerji kaynağıdır. İpin ucunda bir konnektör ile beraber patlayıcı bulunmaktadır. Konnektör ateşleme kablosu çengelini harekete geçirdiği zaman elektrik arkı yardımıyla patlama gerçekleştirilir. Şekil 4.18 'de 5-160 Hz bandında ve 10 metrede şarj edilen bir aquaflex sinyali görülmektedir. Şekil 4.19 'da da aynı sistemin 8 metre derinlikte patlatılması ile oluşan püskürmenin, su yüzeyinde yaratacağı etki görülmektedir.



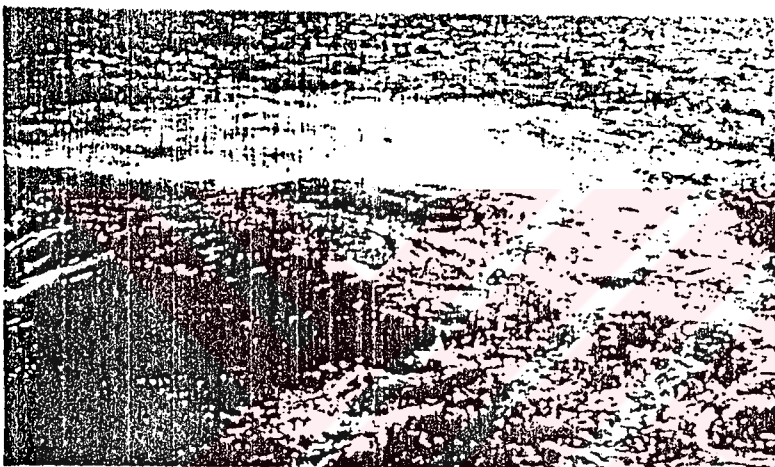
Şekil 4.17. Aquaseis sistemi.



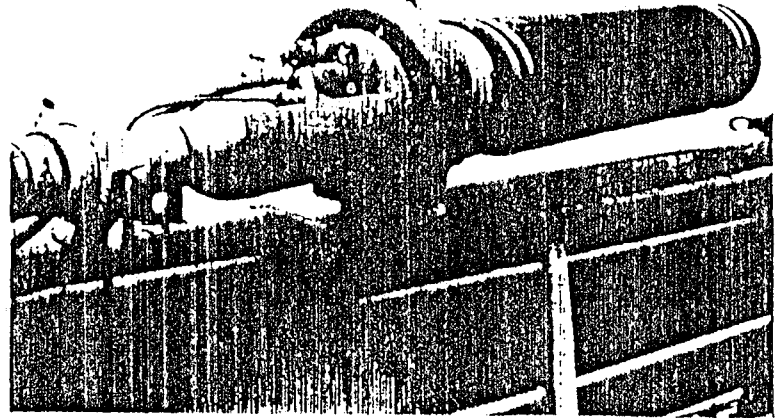
Şekil 4.18. Aquaflex'in (30 metre büyüğünde), 10 metre derinlikde patlatılması ile oluşan ve 5-160 Hz frekans bandında kayıt edilen sinyalin görünümü.²

Seisprobe (oksijen propan gaz tabancası = Sleeve exploder)

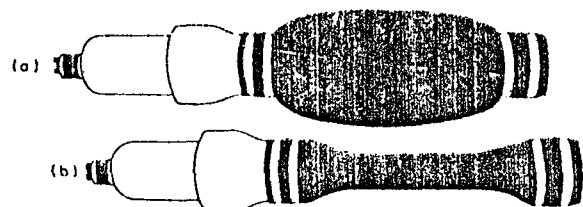
Bu sistem (şekil 4.20), gemi güvertesinde (şekil 4.22.a) bulunan oksijen ve propan gazları ayrı ayrı borularla su altındaki odaciğa gelir. Bu odaciğın etrafı sağlam lastik manşon (sleeve) ile kaplıdır. Odacık içerisindeki gaz karışımı, elektrik arkı yardımıyla ateşlenir. Bununla beraber lastik manşon genişler (şekil 4.22.b) ve su içerisinde bir basıç pulsu yaratılmış olur. Odacık içerisindeki yanık gaz daha sonra ekzos yardımıyla havaya verilir. Şekil 4.20. 'de bir gaz tabancası olan seisprobe resmi, Şekil 4.21 'de kesiti görülmektedir. Ayrıca bir kaç tabancayı kullanarak bir dizilik oluşturulabilir (şekil 4.22.a). Yine tek ve çift seisprobe sinyali ve genlik spekturmaları şekil 4.22.b 'deki gibidir. Şekil 4.23.a 'da 20 ft derinlikteki bir seisprobe basınç pulsu görülmektedir. Şekil 4.23.b 'de ise boru kullanımı ile genlik spekturmundaki farklılık, 20 ft derinlikdeki uzaklık-basınç değişimi şekil 4.22 'deki gibidir.



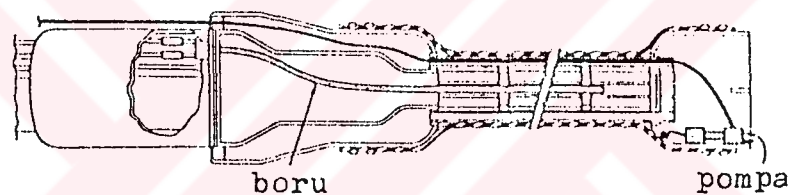
Şekil 4.19. Aquaflex'in (30 metre boyutlarında), 25 ft derinlikde ateşlenmesi, deniz yüzeyinde yaptığı etki.²



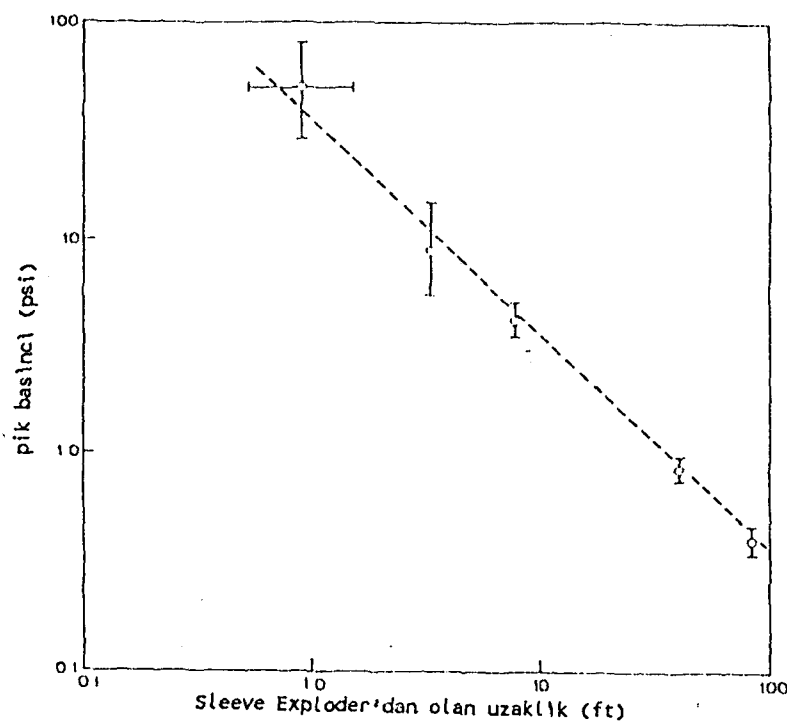
Sekil 4.20. Seisprobe tabancası²



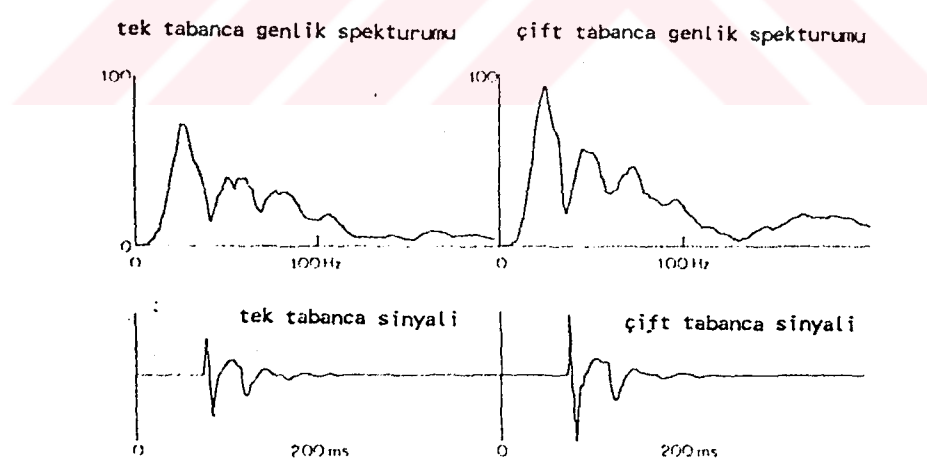
Sekil 4.20.b. Sleeve Seisprobe; (a) genişlemiş, (b) daralmış²



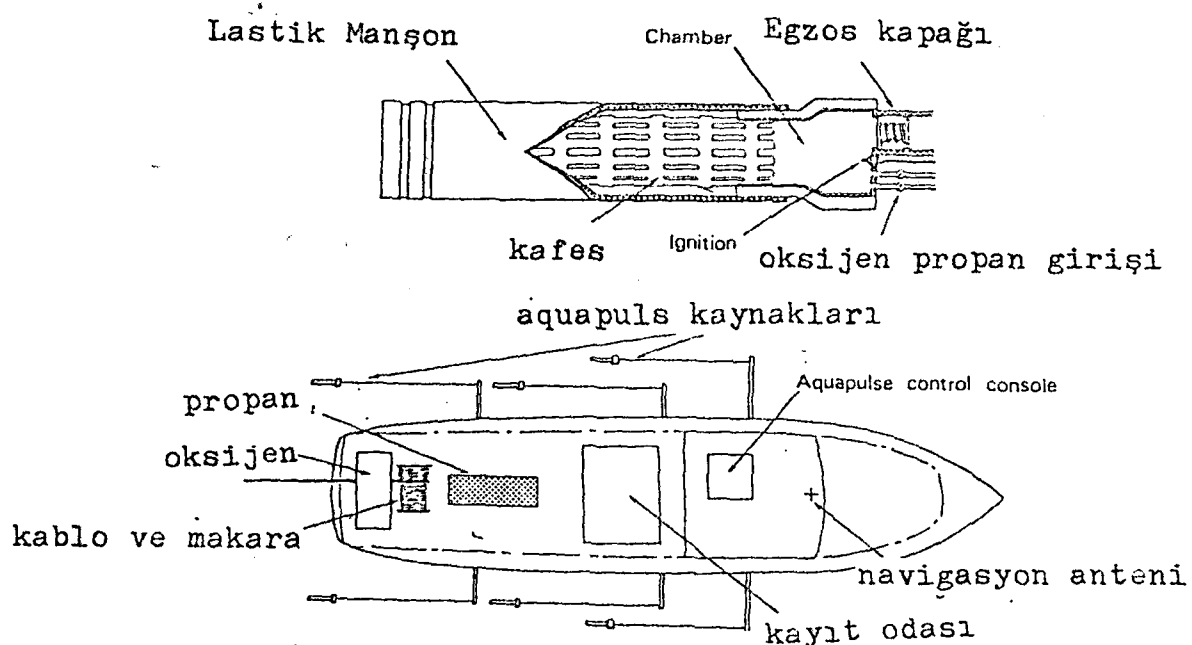
Şekil 4.21 Seisprobe kesiti²



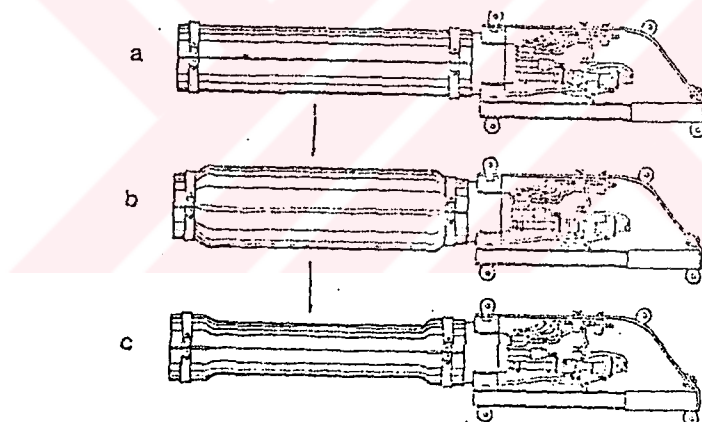
Şekil 4.22. Tek bir seisprobe tabancasının, 20 ft derinlikde patlatılması ile oluşan basınç uzaklık ilişkisi²



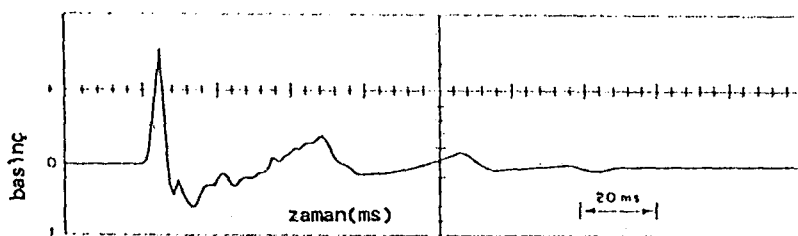
Şekil 4.23. Tek ve çift seisprobe tabancalarının 20 ft derinlikde patlatılması ile oluşan sinyal ve spekturmaları²



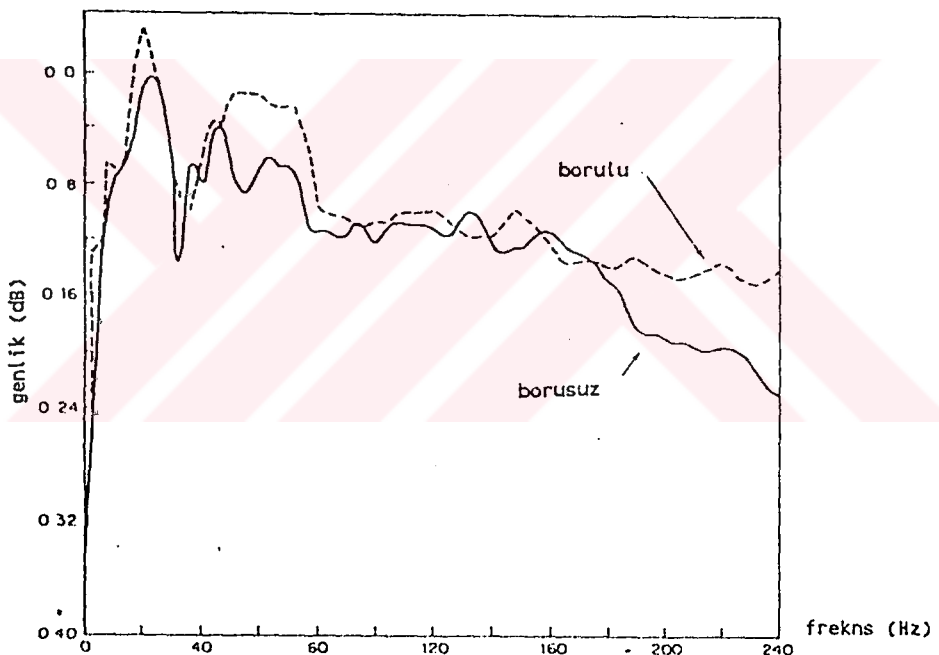
Şekil 4.22.a. Aquapulse sismik kaynağının (6 adet) geni üzerinde görünenü ve kesiti.



Şekil 4.22.b. Oksijen -Propan Gaz Tabancası.¹⁰



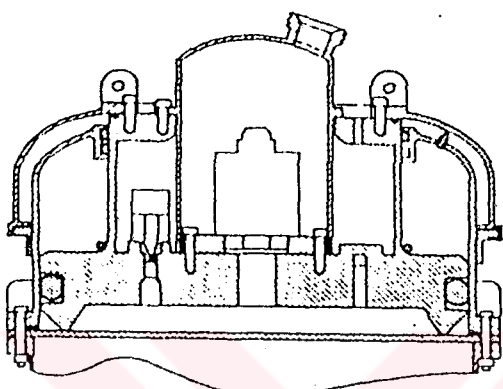
Şekil 4.23.a. 20 ft derinlikdeki seisprobe sinyali.²



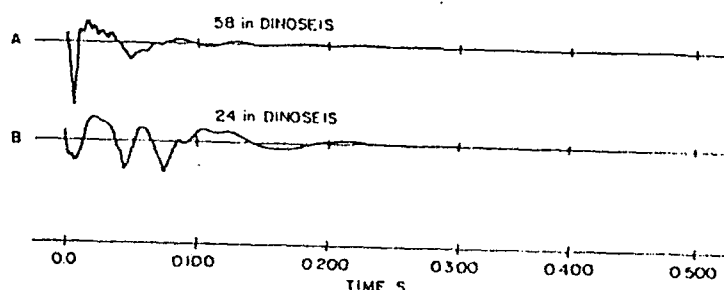
Şekil 4.23.b. Borulu ve borusuz olarak, Seisprobe genlik spekturmuları.²

Dinoseis

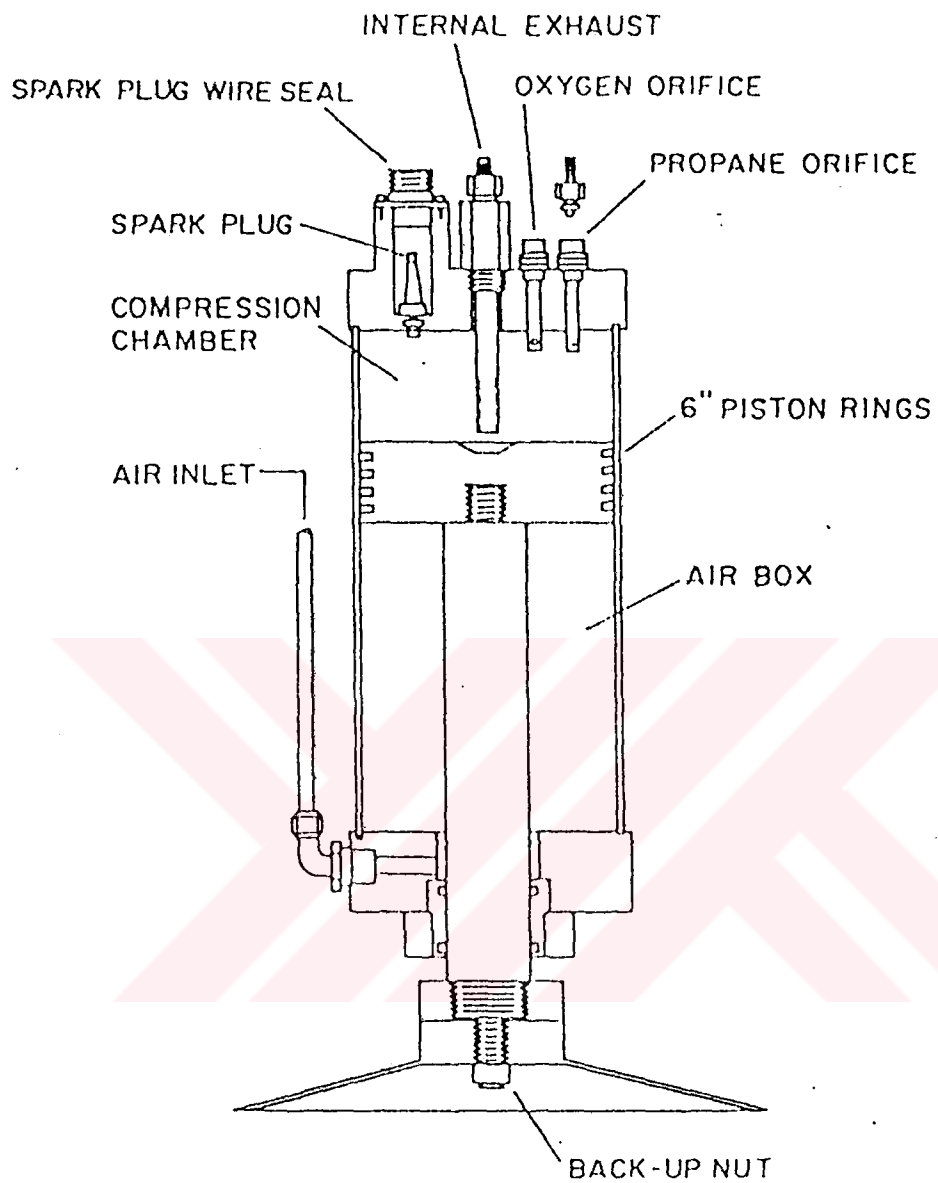
Şekil 4.24 'de 24 inç'lik, Dinoseis kesiti görülmektedir. Propan ve oksijen karışımının bir elektrik arkı ile ateşlenmesi sonucu artan gaz basıncıyla, deniz suyuna bir kuvvet uygulanması sonucu akustik bir kaynak puls oluşumu sağlanır. Şekil 4.25 'de 24 ve 58 inç³ 'lük, Dinoseis sinyalleri görülmektedir. Şekil 4.26 'de de bir (impulsive), Dinoseis (farklı firma yapımlı) kesiti görülmekte olup, basınç sinyalî ve genlik spekturumu, Şekil 4.27 'de verilmektedir.



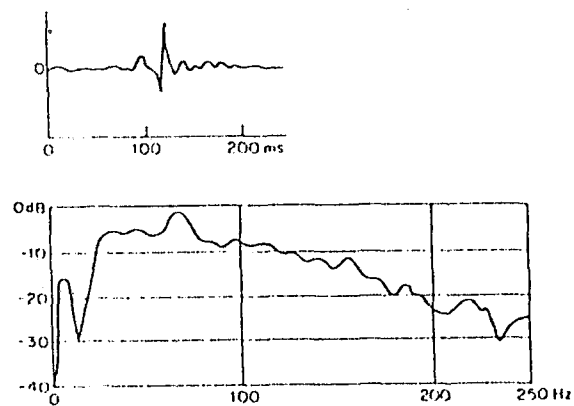
Şekil 4.24. Dinoseis kesiti (24 inç³).²



Şekil 4.25. 24 ve 58 inç³ 'lük, Dinoseis'lerin yakın alan sinyalleri.²



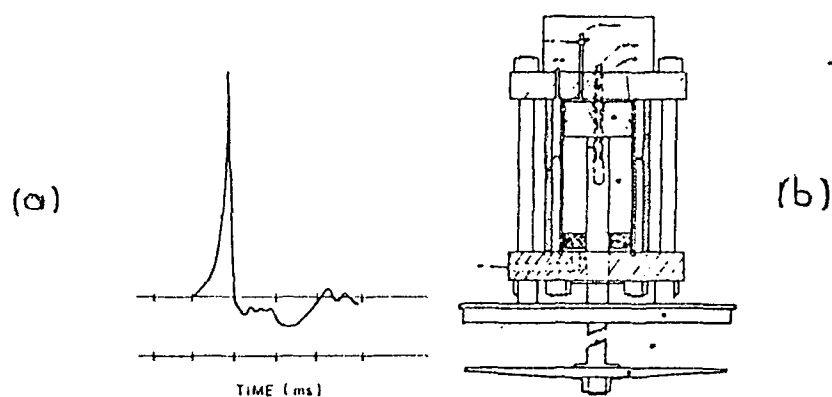
Şekil 4.26. Implosif Dinoseis Kesiti.²



Şekil 4.27. 8 ft derinlikdeki ve 1.5 sn dolumlu iki dinoseisin, sinyal ve genlik spekturumları.²

Hydrosein (impulsive se kaynağı)

Atış aralığı 10 sn olarak, 40 ft derinlikde patlatılan, 9000 lb ağırlığa sahip olan ve iki kısımdan oluşan, Hydrosein sisteminin sinyali, Şekil 4.28 (a) 'da ifade edilmektedir. Burada yüksek basıncı hava, piston ve piston çemberinin içinde hareket etmektedir. Piston çubuk ve levha, sabit üst plakadan aşağıya doğru bir ivmelenme yaratmakta ve iki plaka arasında bir boşluk (cavity) oluşturmaktadır. Bu boşluğun içerisinde su basması ile bir impulsif puls oluşturulmaktadır. Şekil 4.28 (b) 'de hydrosein kesiti görülmektedir.



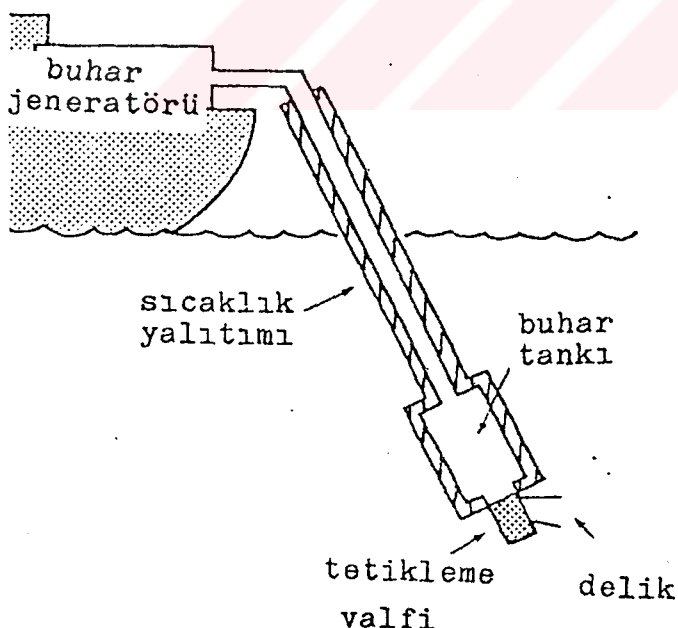
Şekil 4.28. Hydrosein kesiti (b) ve sinyali (a).⁴

Vaporchoc (Buhar Tabancası)

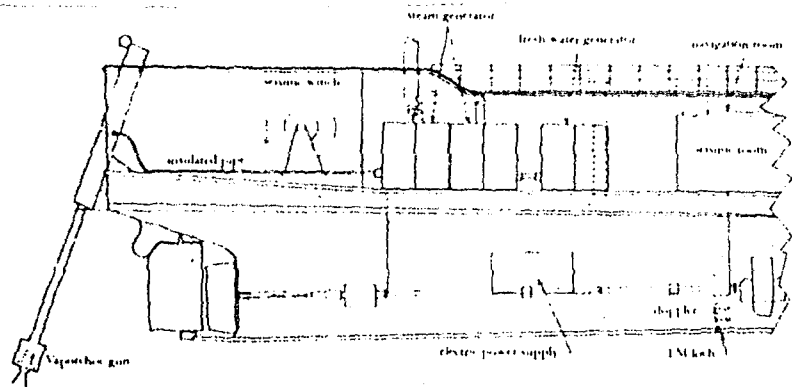
Bu sistemde, gemi güvertesinde bulunan bir buhar jeneratöründen elde edilen kızgın su buharının bir kısmı, izole edilmiş bir hortum yardımı ile deniz içerisinde bulunan buhar tankına gelir. Yüksek basınç altında bulunan bu buhar, uzaktan kumandalı bir sibopun açılmasıyla, küre biçiminde deniz suyu içinde açığa çıkar. Bu buhar küresi hidrostatik basınç altında yoğunlaşır ve içeri doğru patlayarak (implosion), deniz suyu içerisinde yüksek basınç oluşturur. Buharın enjekte edilmesi 10-50 milisaniye sürmektedir. Dakikada 5-10 atış yapmak mümkündür. Buhar jenaratörü, her 8 saniyede bir yapılacak patlamalar için 1000 psi (60 bar) basınç altında 12000 cu.inç buhar temin etmek için, satte 3 ton buhar üretilmektedir. Buhar deposu içerisinde bir yoğunlaşmadan kaçınmak için, sıcaklık 320-400 °C, basınç 40-60 bar civarında tutulur. Kullanılan hava basıncı sismik patlamanın gücünü kontrol eder. Eğer artan hava basıncı kullanılırsa, valf daha çabuk açılır ve sudaki buhar şoku daha kuvvetli olur. Bu sistemdeki valf ile çalışan meme (jet) sayısı, birden sekize kadar çıkartılabilir. Vaporchoc buhar tabancası sistemi, Şekil 4.29.a.'da şematik olarak görülmektedir. Şekil 4.29.b.'de, 7 metre derinlikte, her 8 saniyede patlama yapılan bir sistem gösterilmektedir.

Şekil 4.30.'da kabarcık (bubble) büzülmesinden önce oluşan, kabarcık genişlemesi görülmektedir. Buna ait uzak alan sinyali Şekil 4.31.'deki gibidir. Tabancanın yanına yerleştirilmiş bir hidrofon yardımıyla kaynak sinyalinin kayıt edilmesi, prosesde sinyal dekonvolüsyonunun kullanımında yardımcı olur. Şekil 4.32.'de değişik memelerde (jets), kabarcık (bubble) periyodundaki farklılaşma görülmektedir.

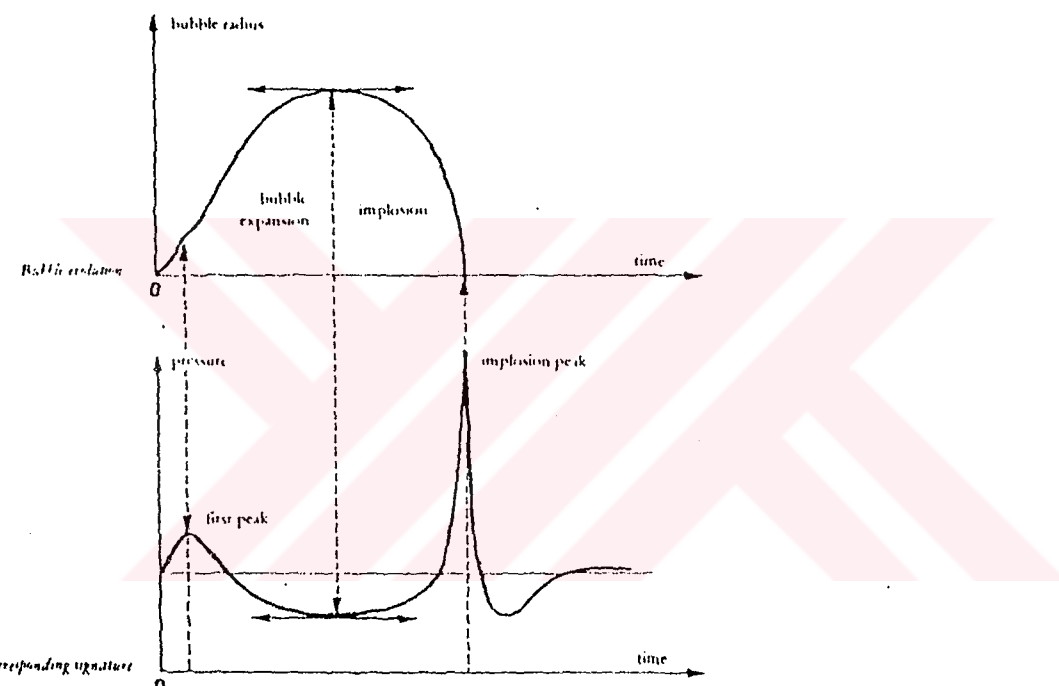
VAPORCHOC



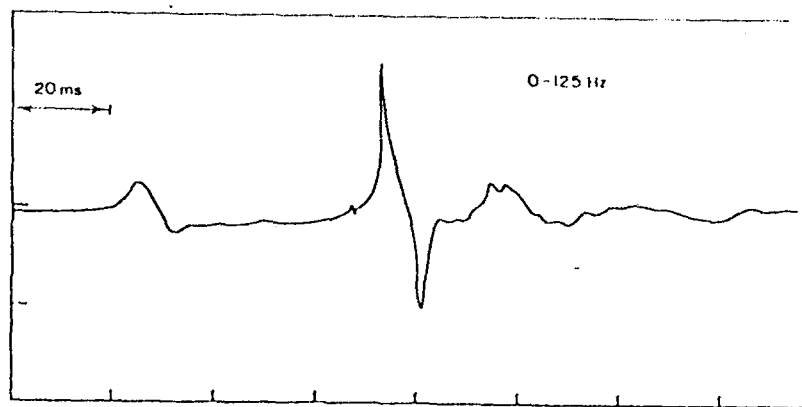
Şekil 4.29.a. Vaporchoc kesiti.¹⁰



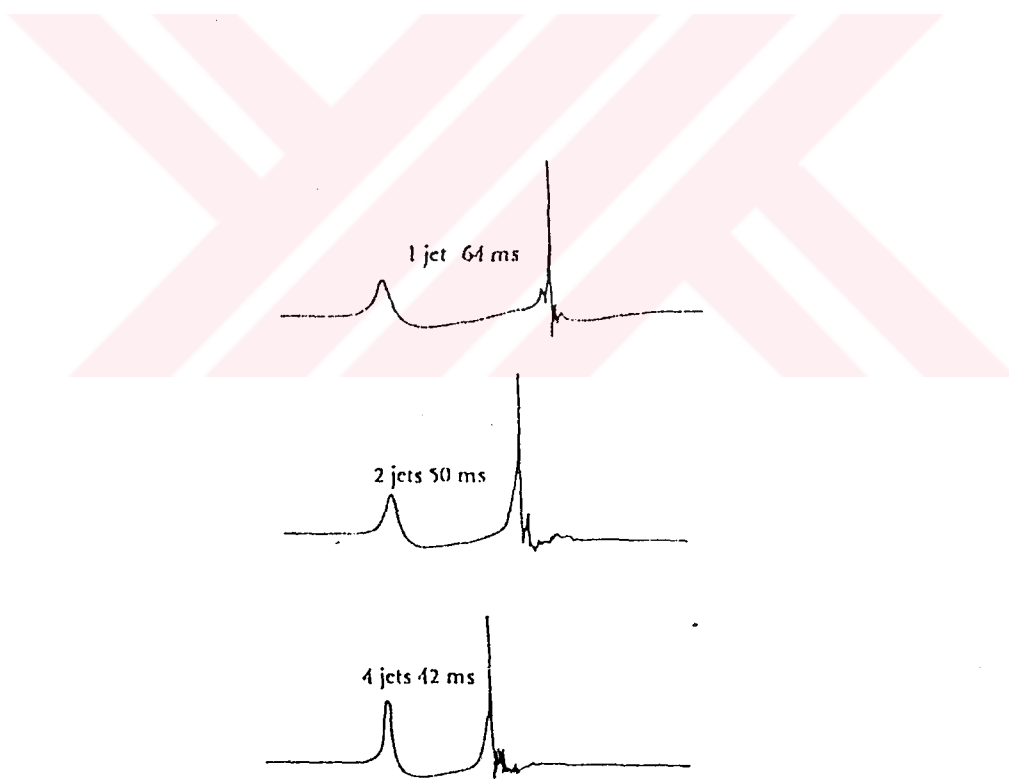
Şekil 4.29.b. Vaporchoc (buhar tabancasının) gemi güvertesindeki görünümü ve buhar üretme mekanizması.²



Şekil 4.30. Vaporchoc sinyali ve kabarcık ilişkisi.²



Şekil 4.31. Vaporchoc uzak alan sinyali. 2



Şekil 4.32. Bir, iki ve dört jet (memel) için, Vaporchoc yakın alan sinyalleri. 2

Yüksek Basınçla Çalışan Sismik Enerji Kaynakları

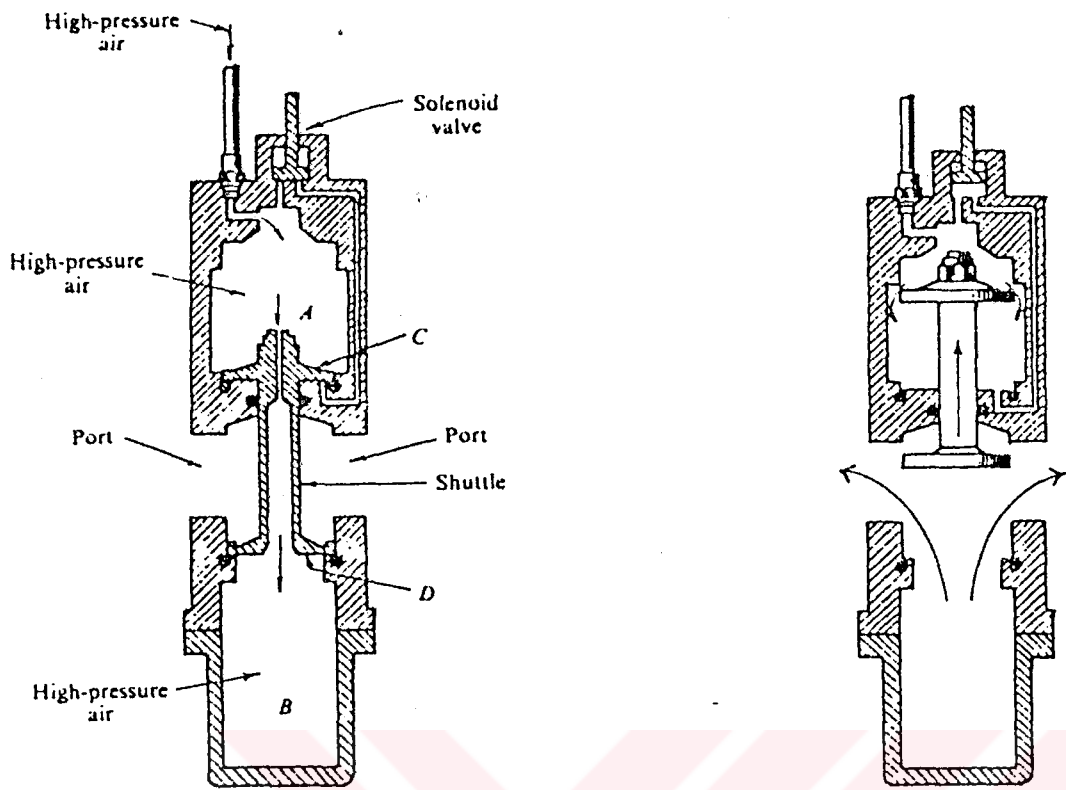
PAR Air Gun (Hava Tabancası)

PAR air gun modeli, hava odacık hacmi 2000 inc^3 'e kadar çıkabilemeye ve odaciğın 2000 psi basınç uygulanabilemektedir. Air gun yüksek basınçlı havayı doğrudan suya vererek bir akustik ses kaynağı oluşturur. Şekil 4.33 'de air gun çalışma prensibi şematik olarak verilmektedir. Şekil 4.34 'de 20 inc^3 lük bir air gun sinyali görülmektedir. Burada kabarcık (bubble) periyotlarının (azalan bir biçimde) ana kaynak sinyalinin peşinden geldiği görülmektedir. Bu periyotların kontrolü Rayleigh-Willis formülü ile mümkündür. Bu formül;

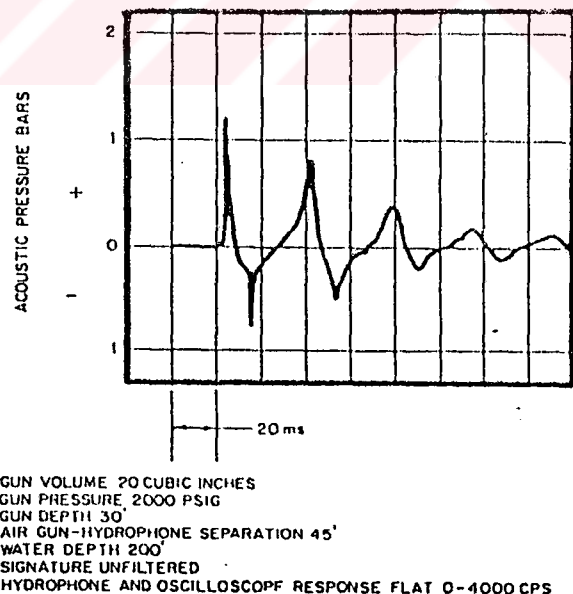
$$T = (P \times V)^{1/3} / 510 \times (1 + H/33)^{5/6}$$

dir. Burada T kabarcık periyodu (saniye), H tabanca derinliği (ft), V tabanca hacmi (inc^3) ve P ateşleme basıncıdır (psi). Şekil 4.35 'de 10 inch^3 lük bir air gun'un, tekrarlı olarak patlatılması ile (20 atış) olusacak sinyaller görülmektedir (tabancadan 10 ft ilerideki bir hidrofondan algılanmış olarak). Tek tek air gunların sinyallerinde, genellikle (bubble) etkisinden (veya kuyruk sinyallerinden) kurtulmak mümkün olmamaktadır. Bunun için genellikle, air gun dizilimine başvurulmaktadır. Bir diğer kuyruk etkisinden kurtulma yoluda, wave shape kit adı verilen ortası delik olan kapaklığın kullanılması ile mümkün olmaktadır. Bunun kullanımı ile ikinci pulslar azaltılırken, ana puls genliğinde düşmektedir (Şekil 4.36). Şekil 4.36.a 'da toplam tabanca hacmi ve waveshape kit takılması durumındaki hacim dağılımı görülmektedir.

Bir çok sayıdaki ve farklı büyüklüklerdeki tabancaların aynı zamanda ve aynı derinlikte patlatılmasıyla, (bubble) kabarcık etkisi önüne geçilebilmektedir. Bunun sonucunda başlangıç puls/kabarcık puls (kuyruk pulsu) oranında, düşey doğrultuda bir düzelleme oluşmaktadır (Şekil 4.37). Burada 23 ft derinlikteki 7 farklı hacimdeki (toplam 1200 inc^3) her bir tabancanın uzak alan sinyalleri ve toplamı (array sinyali) görülmektedir. Tabancaların dizilimi yardımcı ile; hacim, basınç, derinlik, tabanca geometrileri ve ateşleme zamanları beraberce kullanımıyla, her doğrultuda ve tipde amaca uygun sinyal üretilmesi mümkündür (EK1).



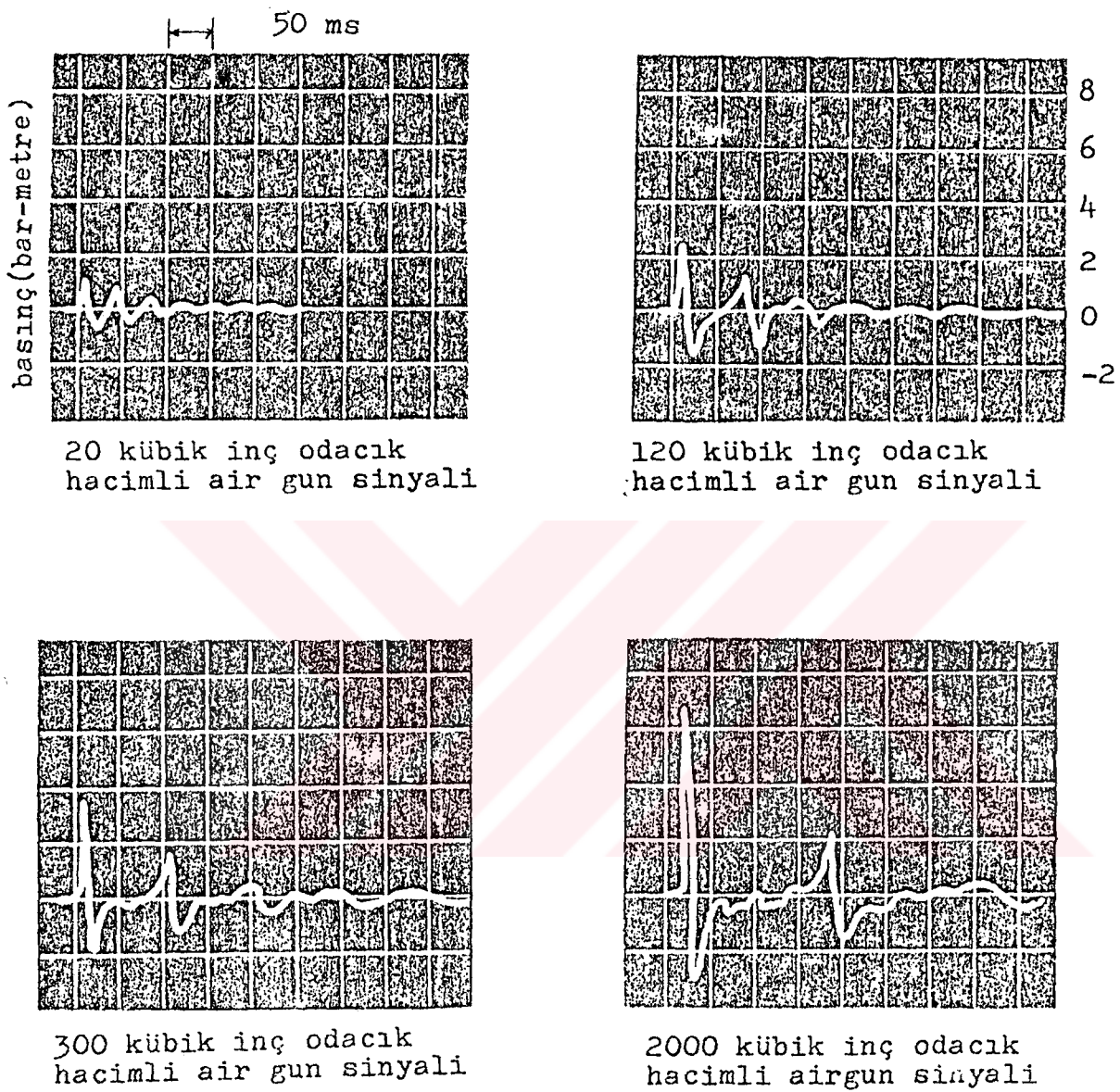
Şekil 4.33. Air Gun kesiti ve çalışma prensibi.¹⁰



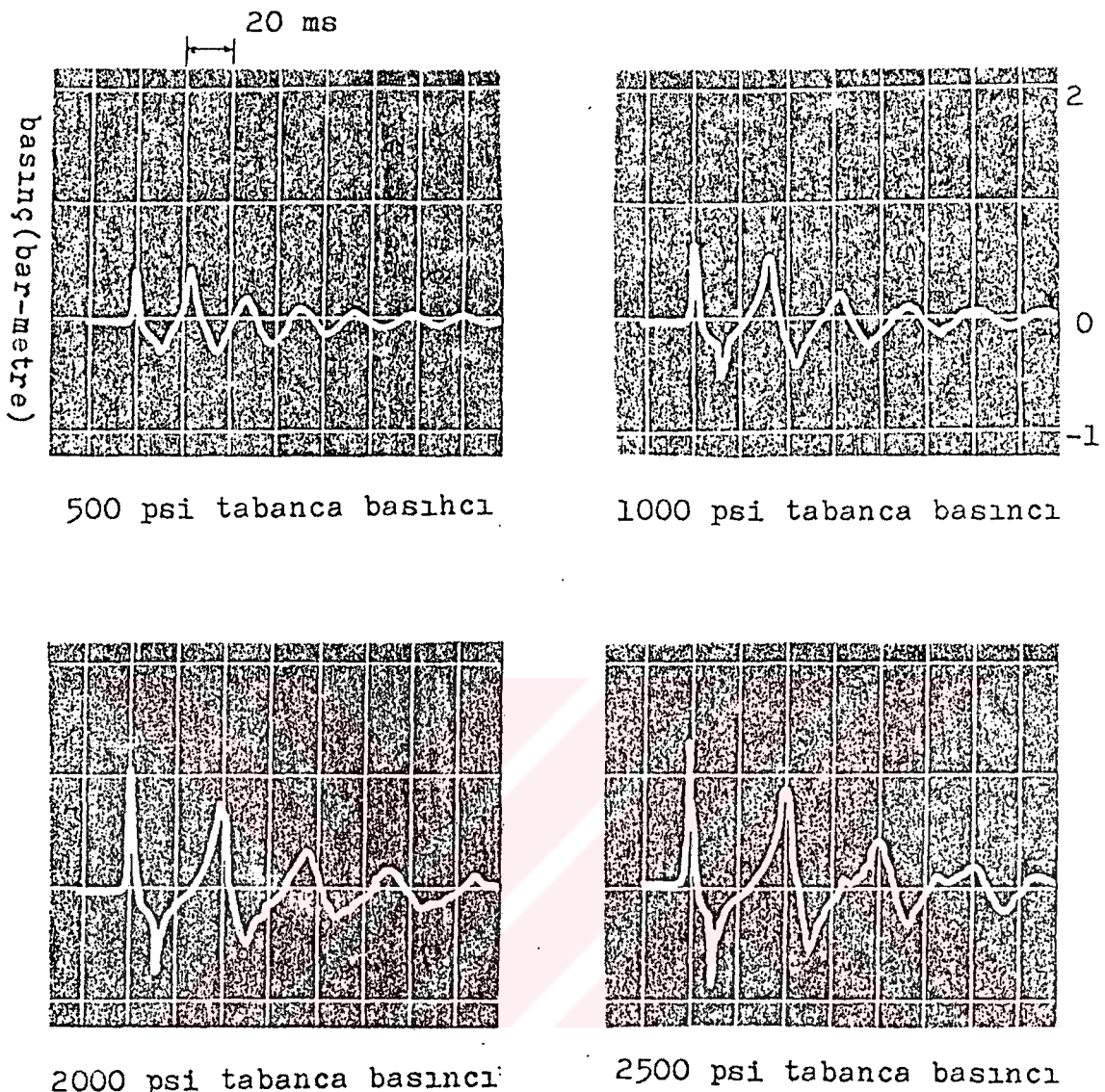
Şekil 4.34. PAR air gun sinyali (20 inc³).²

Kabarcık zamanı, genlikleri ve yarıçapı, kullanılan air gun hacmine, kullanılan havanın basıncına ve patlama derinliğine göre değişmektedir. Bu değişimler, şekil 4.34.a 'da hacimlere göre, şekil 4.34.b 'de kullanılan hava basınçlarına göre, şekil 4.34.c 'de farklı patlatma derinliklerine göre verilmektedir. Bu şekillerden de anlaşılacağı gibi, kabarcık (bubble) zamanı artan basınç ve hacim ile artıyor, derinlik ile azalıyor. Bu durum Rayleigh Willis denkleminde de ifade edilmektedir.

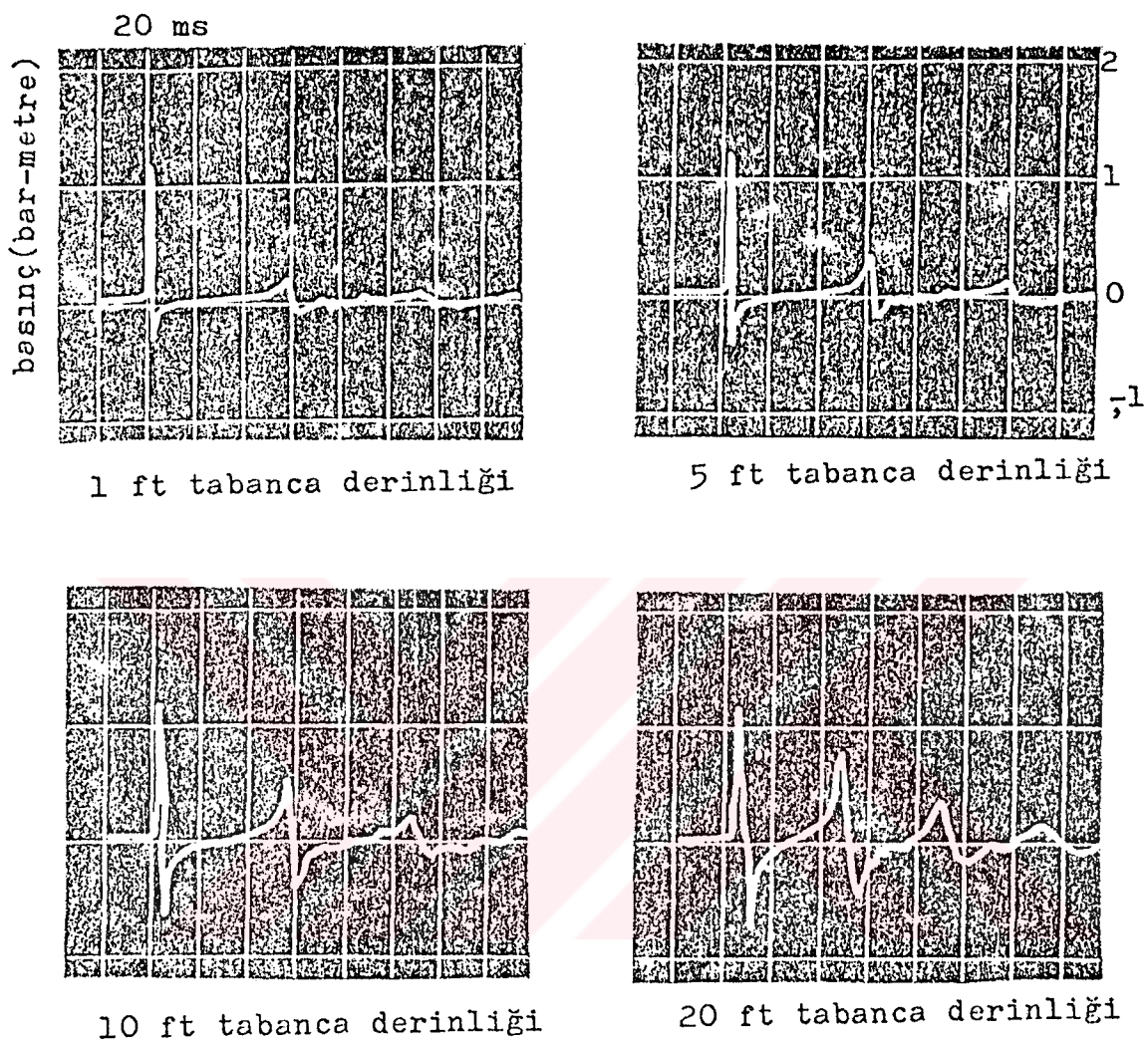
Air gun çalışma prensibi (şekil 4.33.); şeitin sol tarafında bulunan, patlamadan önceki durumda, yukarıdan bir hortumla üst odaciğa (A) giren basınçlı hava, buradan (S) mekiğinin ortasındaki ince boşluktan alt odaciğa (B) geçer ve alt odacık ile üst odacıkta bulunan hava basıncı eşit duruma gelir. Solenoid valfin kapalı olduğu denge durumunda (C) ve (D) yüzeyleri hareketsizdir ve mekik alt kısımdadır. Solenoid valfe gelen bir tetikleme sinyali ile bu valf açılır ve dolayısıyla oluşan bir ilave yüzey ile denge durumu bozulur. Bu durumda mekik çok büyük bir hızda yukarıya doğru fırlar ve alt odacıkta bulunan sıkışmış hava yukarıdaki deliklerden dışarıya doğru çıkar. Su içerisinde meydana gelen bu ani basınç değişikliği sismik dalgalar halinde yayınıma geçer. Hızla yukarı doğru çıkış bulunan mekik, üst taraftan sürekli hava basınçlı havanın gelmesi ile tekrar hızla aşağıya doğru itilir. Mekiğin bulunduğu yerden yukarıya fırlayıp tekrar eski yerine dönmesi yaklaşık 3.5 ms'de olmakta ve air gun tekrar yeni bir atış için hazır hale gelmektedir. Oluşturulan kabarcık (bubble) hidrostatik basınç nedeniyle sıkışıp ufalanır (implosion). Sıkışıp ufalan hava kabarcığının içerisindeki artan hava basıncı nedeniyle kabarcık tekrar genişler (explosion). Bu şekildeki daralıp-genişlemenin yaptığı osilasyon hareketi air gun sinyali üzerinde önemli bir rol oynar ve kayıtlar üzerindeki rezolüsyonu bozar.



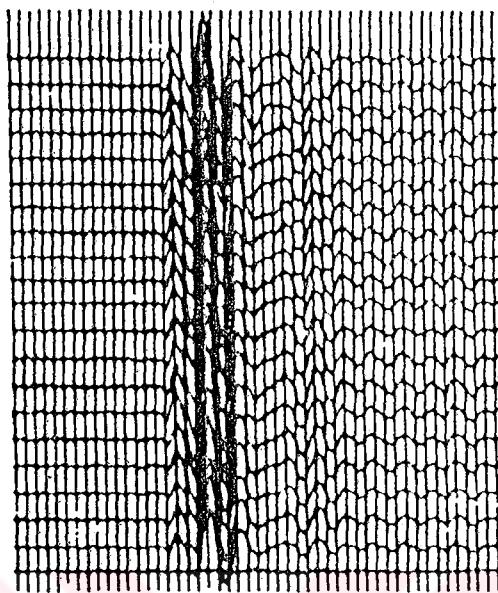
Şekil 4.34.a. Farklı odacık hacimlerinde, air gun basınç sinyallerindeki değişimler.
Herbir durumda hava basıncı 2000 psi, tabanca hidrofon aralığı 45 ft,
patlatma derinliği 30 ft dir.¹⁰



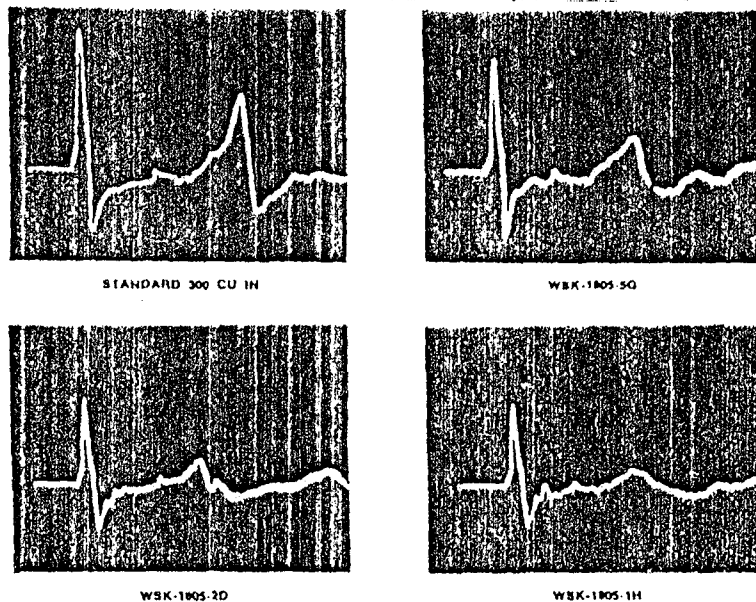
Şekil 4.34.b. Farklı tabanca hava basınçlarında 20 inc^3 'lük bir air gun için, karakteristik sinyal özellikleri. Tabanca hidrofon uzaklığı 45 ft, tabanca derinliği 30 ft, su derinliği 200 ft dir.¹⁰



Şekil 4.34.c.' Farklı patlatma derinlilerine göre air gun basınç sinyalindeki değişimler.
Tabanca basıncı 2000 psi, tabanca hidrofon uzaklığı 45 ft, su derinliği
200 ft olarak sabittir.¹⁰

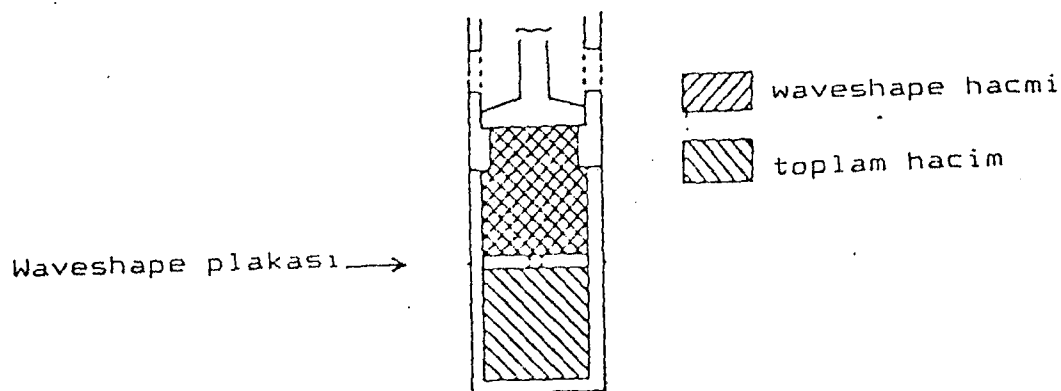


Şekil 4.35. Tabancadan 10 ft uzaklıktaki bir hidrofon ile kayitedilen, 10 inc³'lük bir hava tabancasının tekrarlı oalarak patlatılması ile oluşan sinyalleri.²

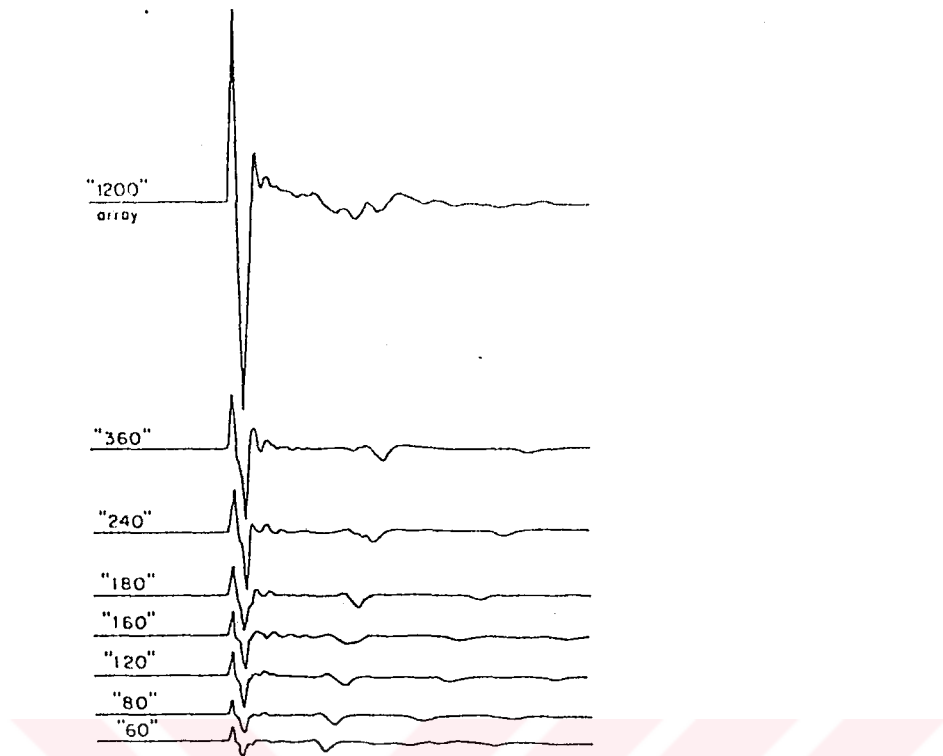


	Std. 300	1805 -5G	1805 -2D	1805 -1H
Nominal Chamber Size (in^3)	300	300	300	300
Net Chamber Volume (in^3)	300	277	277	277
Relative Peak Pressure (dB)	0	-1.7	-3.7	-4.3
Actual P1/P2	1.8	3.2	3.8	5.5
Relative P1/P2	1.0	1.8	2.1	3.1
Time, P1-P2 (msecs)	92	80	66	68
Air Use, Equivalent Chamber Size (in^3)	300	260	260	260

Şekil 4.36. Farklı waveshape kit kullanılarak elde edilen, PAR air gun sinyalleri. P_1 ve P_2 (birincil ve ikincil pulsalar) baz alınarak bir karşılaştırması alta tablo olarak verilmiştir.²



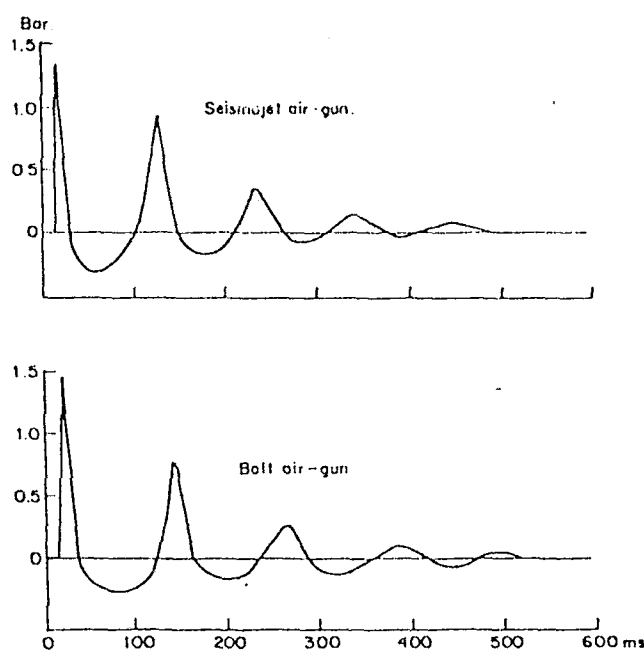
Şekil 4.36.a. Toplam odacık hacmi ve waveshape kit hacim bölgeleri ile kesitinin görünümü.⁸



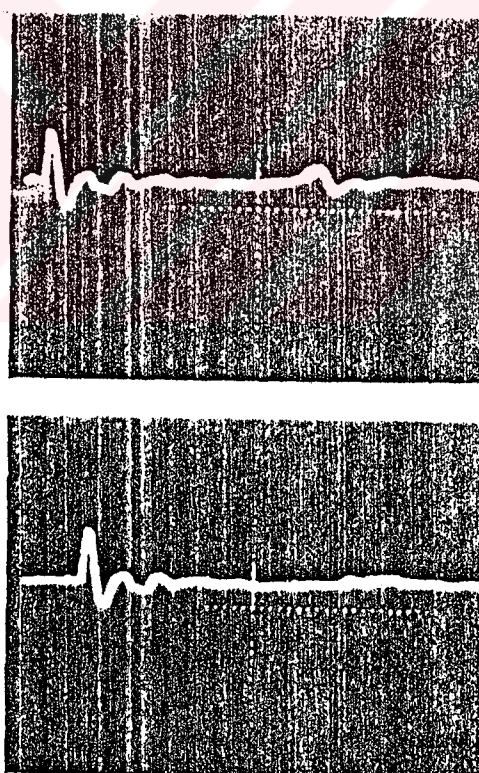
Şekil 4.37. Air gun dizilimi (array) sinyali ve birbirinden farklı
büyüklüklerdeki 7 adet tabancanın ayrı ayrı sinyalleri.

Sismojet (Yüksek Basınçlı Air Gun Ses Kaynağı)

6000 ve 8000 psi basınçlarda, 40-125 in^3 lük air gunlarla uygulanan bir sistemdir. Kuyruk etkisinin kontrol edilmesi ve giderilmesi amacıyla kullanılan bir elektro mekaniksel dizinim yöntemidir. Şekil 4.38 'da 15 ft derinlikde patlatılan, 2000 psi lik basınçta sahip 300 in^3 lük gun ile 8000 psi basınçlı, 125 in^3 lük tabancaların bir mukayesesini yapılmaktadır. Bu sistemin kabarcık söñümleme etkisi, Şekil 4.39 'de verilmektedir. Bataklık ve sıçrılık sularında kullanılması da olanaklıdır.



Şekil 4.38. 125 inc³'lük air gun ile 800 inc³ 'lük air gun (2000psi basınçlı)² mukayesesı. Air gun - hidrofon uzaklığı 4 ft ve derinliği 15 ft dir.

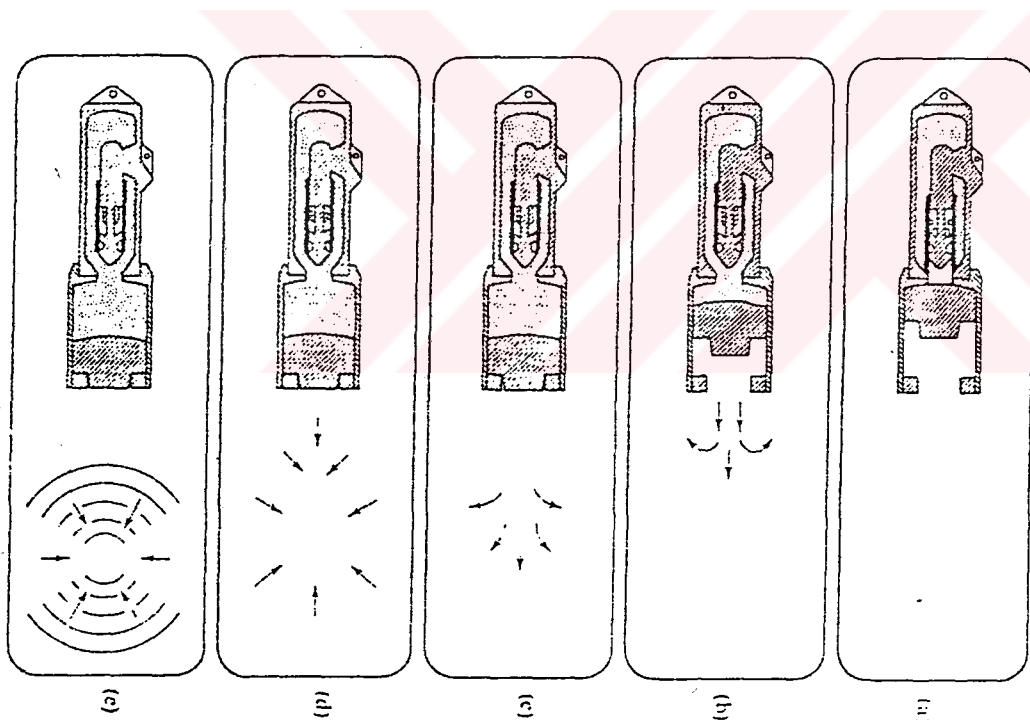


Şekil 4.39. Seismojet (kabarcık söñümlemesi ile); Üstte kabarcık (bubble) etkisi, allta bu etkinin giderilmiş hali görülmektedir.²

Water Gun (Su Tabancası)

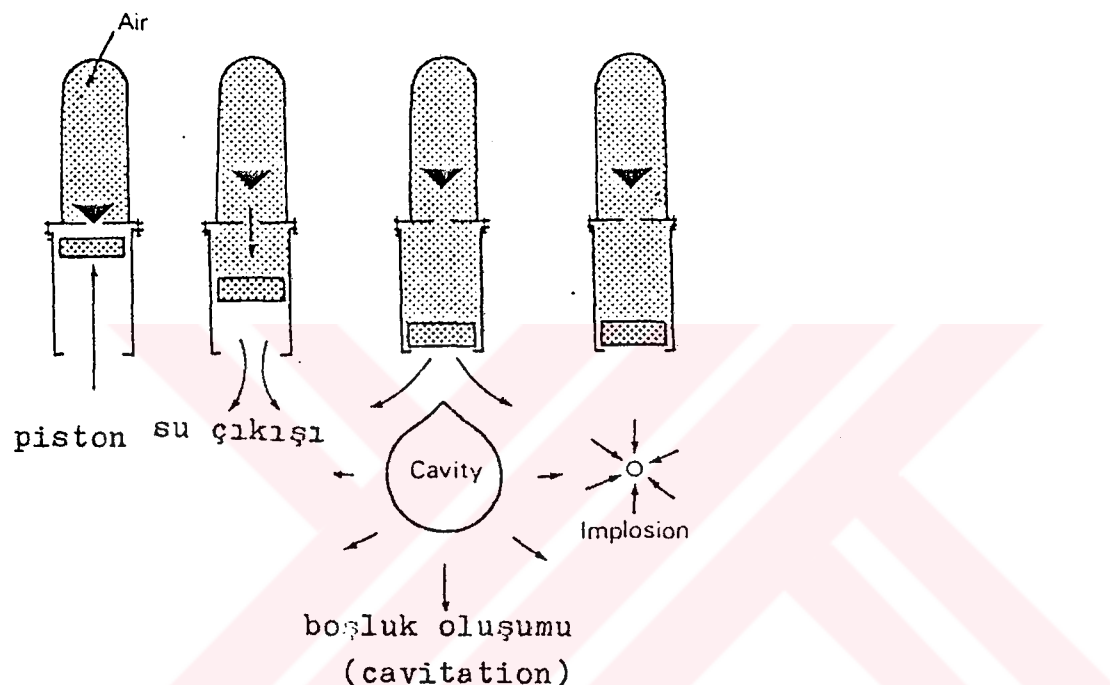
Simplon tipi su tabancası 915 inc³ 'e kadar çıkabilen odacık hacminde ve 3500 psi basıncı kadar artırılabilen (amaç doğrultusunda), bir kaç modeli mevcuttur. Water gun çalışma prensibi Şekil 4.40 ve Şekil 4.41 'deki gibidir. Hava tabancasının getirdiği basınçla silindir piston itilir. Şekil 4.40 (a)'da hidrostatik basınç pistonu iter, air gun yüksek hızda (100-200 m/s) pistonu bir elektronik solenoid yardımıyla tetikler ve harekete geçirir. Böylece silindir içindeki suyun aniden bir basınç oluşturur. Bu boşalım Şekil 4.40 (b) ve (c)'deki gibidir. Pistondan ayrılan su bir boşluk (cavity) oluşturur. Şekil 4.40 (d) ve (e)'de bu boşluk ve enerjisi görülmektedir.

Özetle water gun çalışma prensibi, air gunla benzerlik gösterir. Tek farkı air gunda hava basıncı ile, water gunda su basıncı ile kaynak sinyali oluşturulmaktadır. Ateşleme odacığı içerisindeki sıkıştırılmış havanın soloneid valf yardımı ile pistonu tetikleyip itmesi ve aniden durmasıyla, ikinci rezervuarda bulunan su, hızla boşalır. Dışarı çıkan bu su kürecikleri Hidrostatik basınç yardımıyla sıkıştırılır (implosion) ve sismik sinyal oluşur. Patlamayı sağlayan hava siboplar yardımıyla dışarı atılır ve piston ikinci bir atış için hazır duruma gelir (Şekil 4.41). Bu sistemin avantajı kabarcık etkisinin etkin olarak görülmeyişidir.

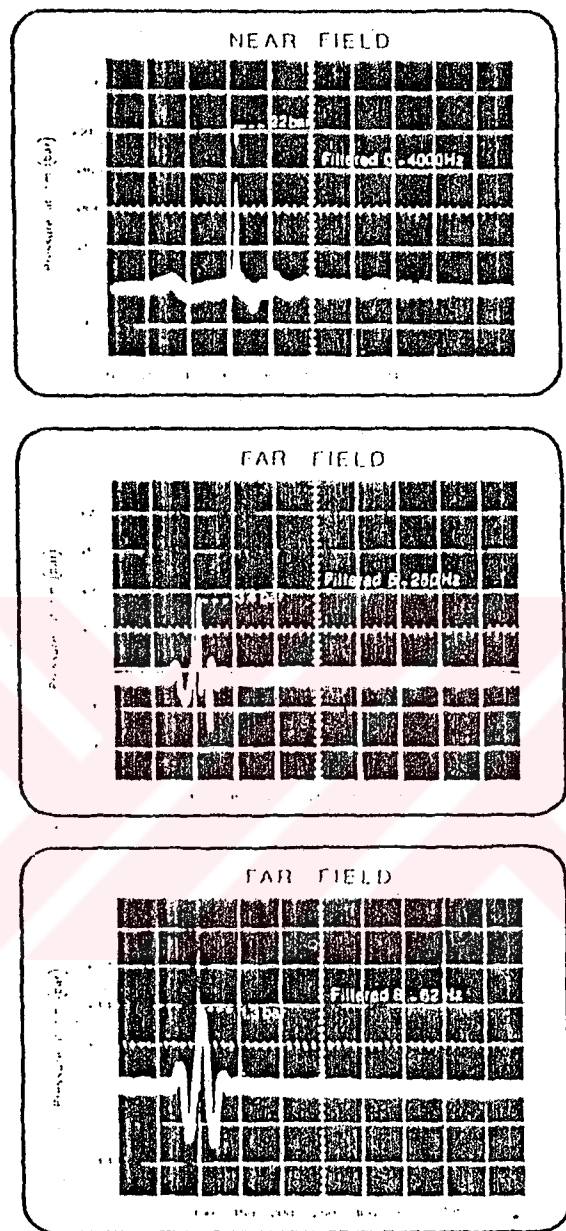


Şekil 4.40. Water Gun Çalışma Prensibi.²

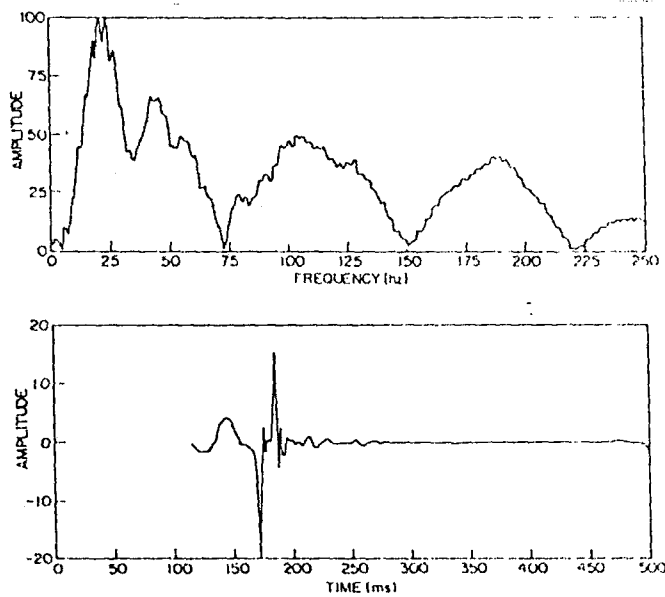
Şekil 4.42 'de 120 inc³ lük 2100 psi hava basıncında ve 10 m derinlikde bir water gun 'nın oluşturduğu filtrelenmiş uzak alan sinyalî ve yakın alan sinyalleri görülmektedir. Yine aynı derinlikde ve aynı hava basıncında 540 inc³ lük water gun uzak alan sinyalleri (filtrelenmiş), Şekil 4.43 'deki gibidir. Şekil 4.44 (a)'da bir Mica water gun (120 inc³) tekrarlı atışları ile, 540 inc³ lük Cassios marka water gun (10 metre atış derinliğinde ve 2000 psi basınçda) ateşlenmesi ile, Şekil 4.44 (b)'de oluşan uzak alan sinyali ve genlik spektrumu görülmektedir.



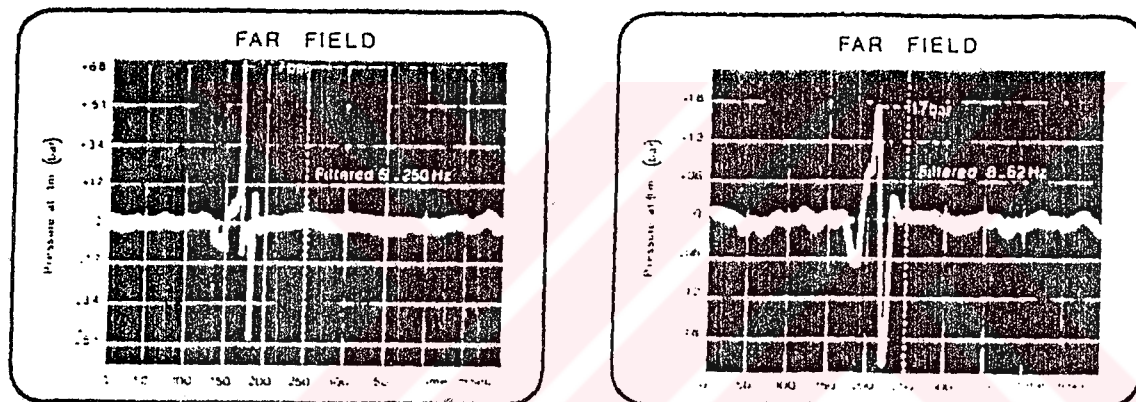
Şekil 4.41. Basitleştirilmiş olarak water gun çalışma prensibi.



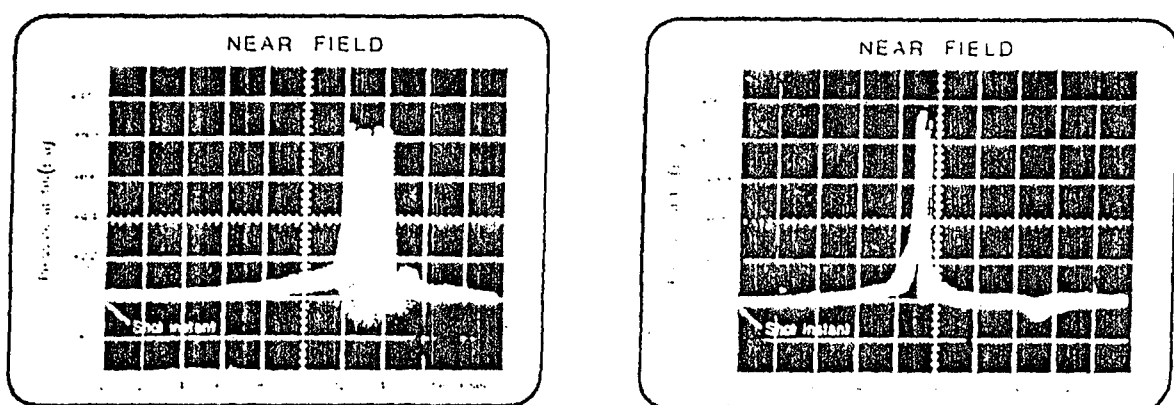
Şekil 4.42. Mica water gun (120 inc^3) yakın ve uzak alan sinyalleri.²



Şekil 4.45. Cassios water gun (540 inc^3) uzak alan sinyali ve genlik spekturumu.²



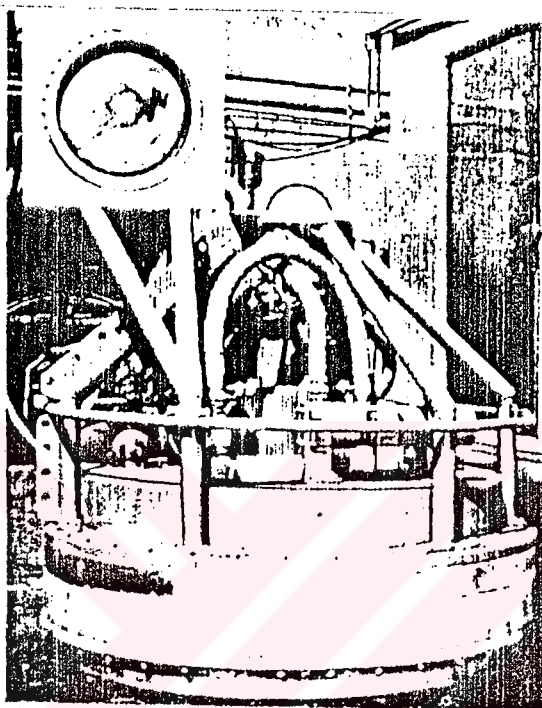
Şekil 4.43. Cassios (540 inc^3) water gun uzak alan sinyaller.²



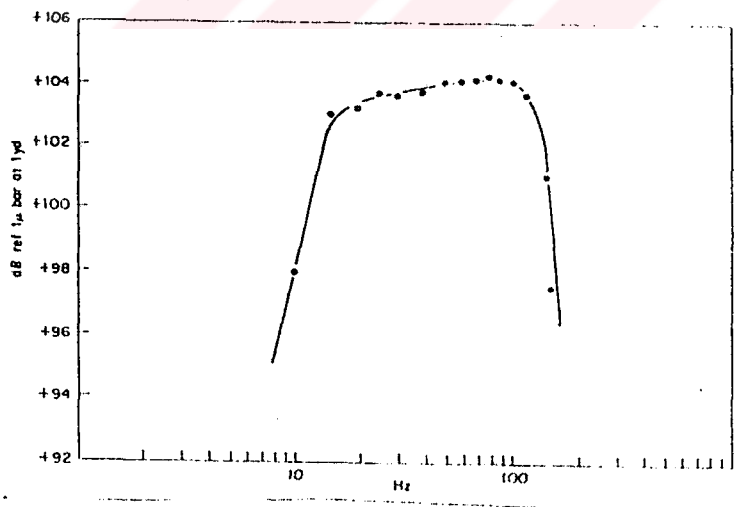
Şekil 4.44. a) Mica water gun tekrarlı sinyali, b) Cassios watergun tekrarlı sinyali²

Vibroseis (sürekli ses kaynağı)

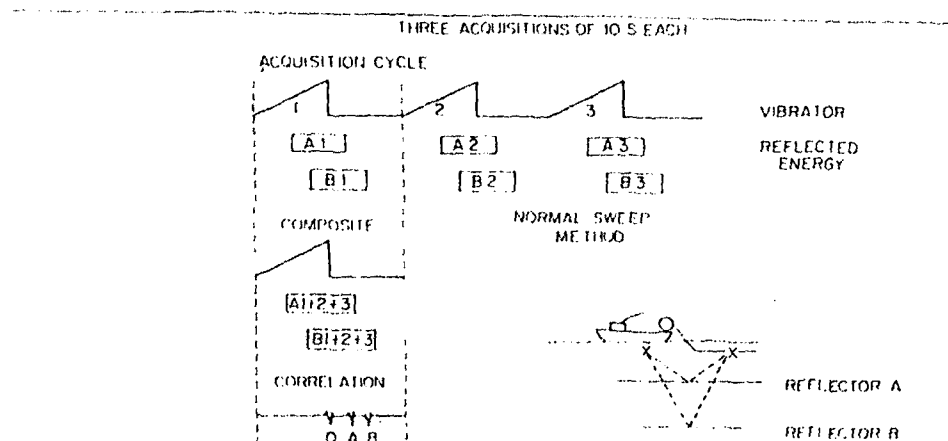
Vibroseis sistemi, 35-40 ft derinlikte çekilen, 4 hidrolik vibratörün çalışması ile kullanımı gerçekleşir. Su pistonunun her vibratörü, yüksek oranı servo valf ile kontrol edilen hidrolik pompalarla yapılmaktadır (Şekil 4.46.a, Şekil 4.46.b). Bunu takiben seçilen frekanslardaki dalgalar (10-100 Hz) de, 5 sn süpürme aralığında üçlü olarak meydana getirilen (her atış noktasında) kaynağın tipik gösterimi, Şekil 4.47'deki gibidir.



Şekil 4.46.a. Yüksek güçdeki vibroseis.²



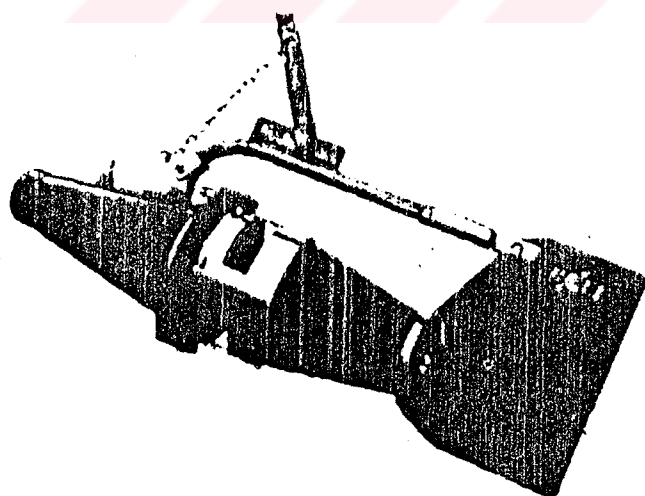
Şekil 4.46.b. Tek bir vibratör cevabı olarak, vibroseis.²



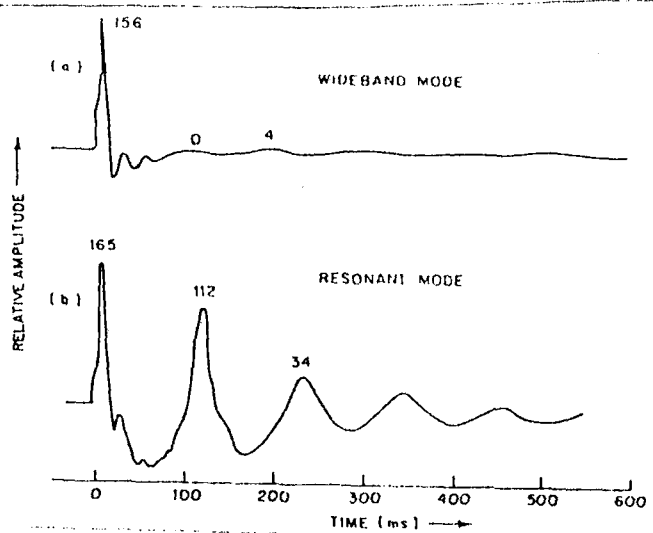
Şekil 4.47 Vibroseis veri toplama yöntemi. Normal sweep metodu.²

Magnetik Air Gun (Alçak Basınçlı Air Gun Ses Kaynağı)

Şekil 4.48 'deki gibi, herbiri 650 lb ağırlıkta olan, 2 ve 4 tabancalı bir sistemdir. Burada kullanılan basınç 500 psi (her tabanca için) olup geminin 30-40 ft arkasından çekilebilmektedir. Buna örnek 1550 inç³lük tek bir tabanca sinyali, normal ve dalgacık modunda beraberce, Şekil 4.49 'da verilmektedir.



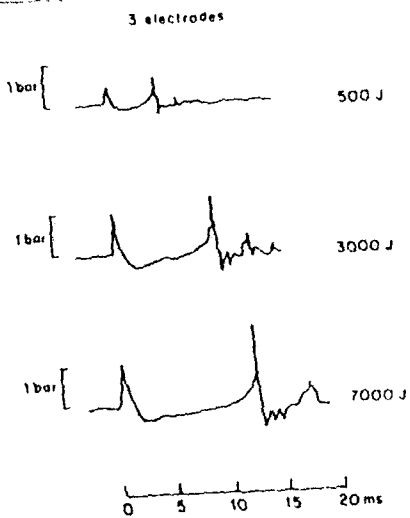
Şekil 4.48. Magnetik air-gun.²



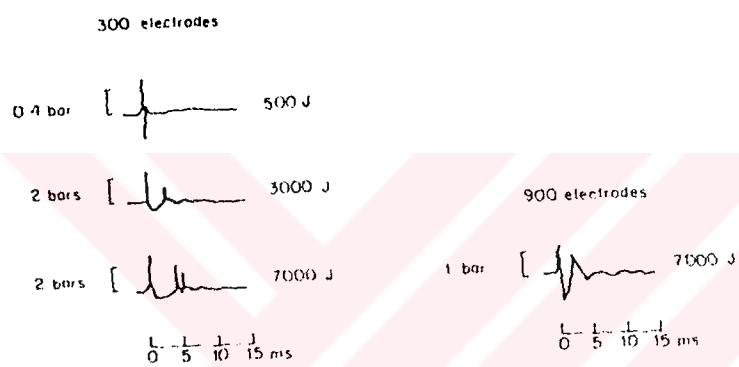
Şekil 4.49. Magnetik air gun sinyalleri; a) geniş band modunda,
b) rezonant modda.²

Sparker (Elektriksel Boşalım Kaynağı)

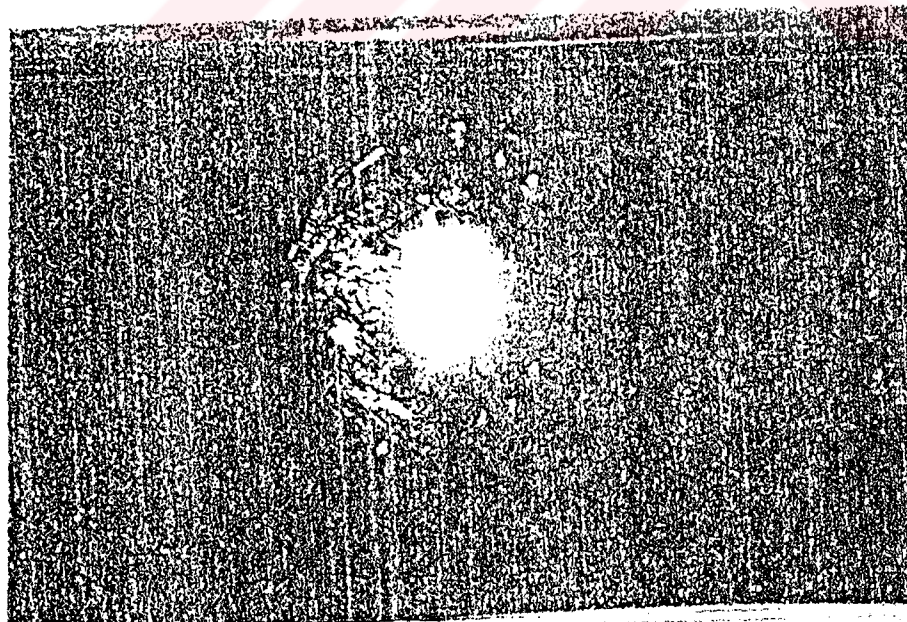
Deniz suyuna elektrik arkı yoluyla akustik enerji verilir. 3-10 Kvolt'luk yüksek yüksek voltajla enerji verebilecek kapasitörler jeneratörle doldurulur. Sığ penetrasyon ve yüksek ayrımlı deniz sismik araştırmalarında, kaynak sinyali olarak kullanılır. Su altındaki bir elektrottan boşalan yüksek voltaj bir kabarcık (bubble) oluşturur. Bu kabarcık veya plasmanın hızlı genişlemesi ana (baş) akustik enerji pulsunu oluşturur. Bunun hızlı çökmesiyle oluşan ikinci pik ki, bu pik genellikle başlangıç pulsundan daha büyüktür (Şekil 4.50). Elektrotların artırılması ve dizilimi yapılması suretiyle, daha kısa bir puls elde edilmesi mümkündür (Şekil 4.51). Şekil 4.52 'de kivilcimin (spark) yüksek hızlı bir fotoğrafla görüntülenmesiyle oluşan kivilcim resmidir. Şekil 4.53 'de çeşitli kivilcimlerin su altında oluşturduğu sinyal örnekleri görülmektedir.



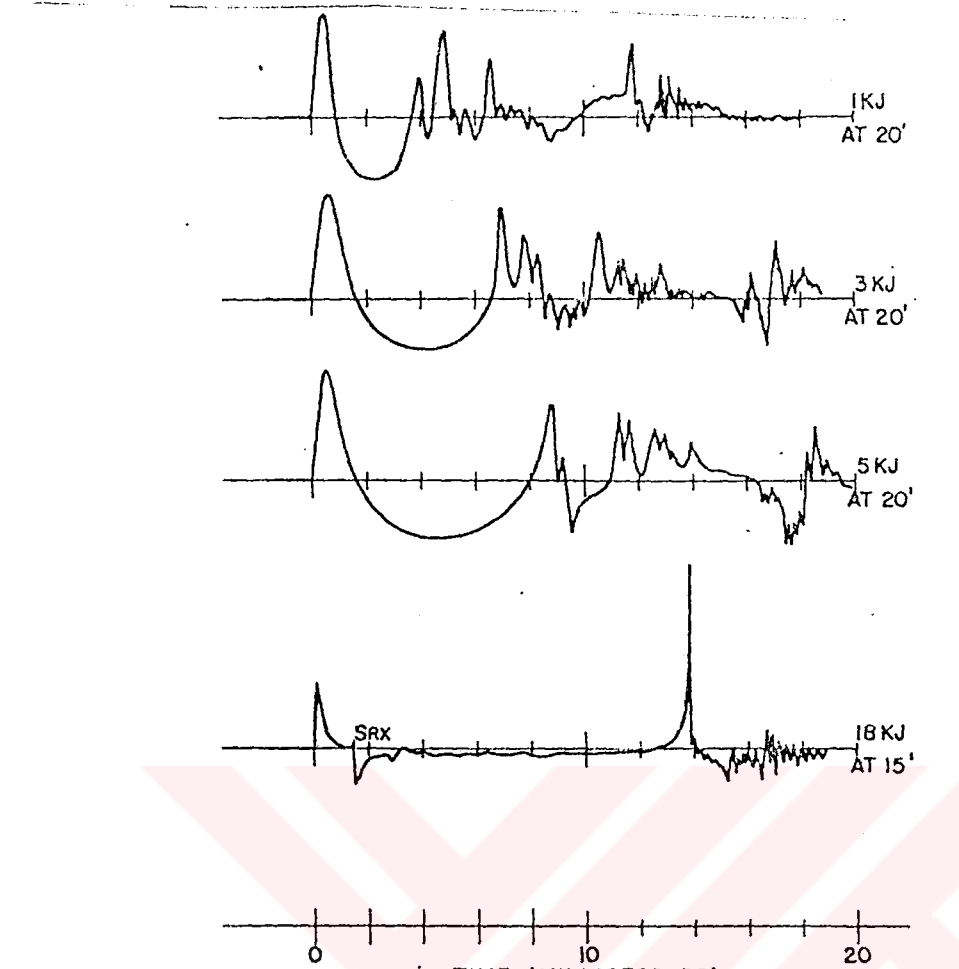
Şekil 4.50. Çeşitli enerji modlarında sparker sinyalleri. Kaynak derinliği 5 metre ve 0-15 kHz de kayıt edilmiştir.²



Şekil 4.51. 300 ve 900 elektrotlu sparker sinyalleri.³



Şekil 4.52. Yüksek hızlı bir fotoğraf yardımıyla su altında görüntülenen sparker kıvılcımı (spark).⁴



Şekil 4.53. Çeşitli enerjilerdeki sparker sinyallerinin oluşumu
(Kramer et.al, 1968).

O.R.E (Mühendislik Amaçlı Sığ Sismik Sistemi)

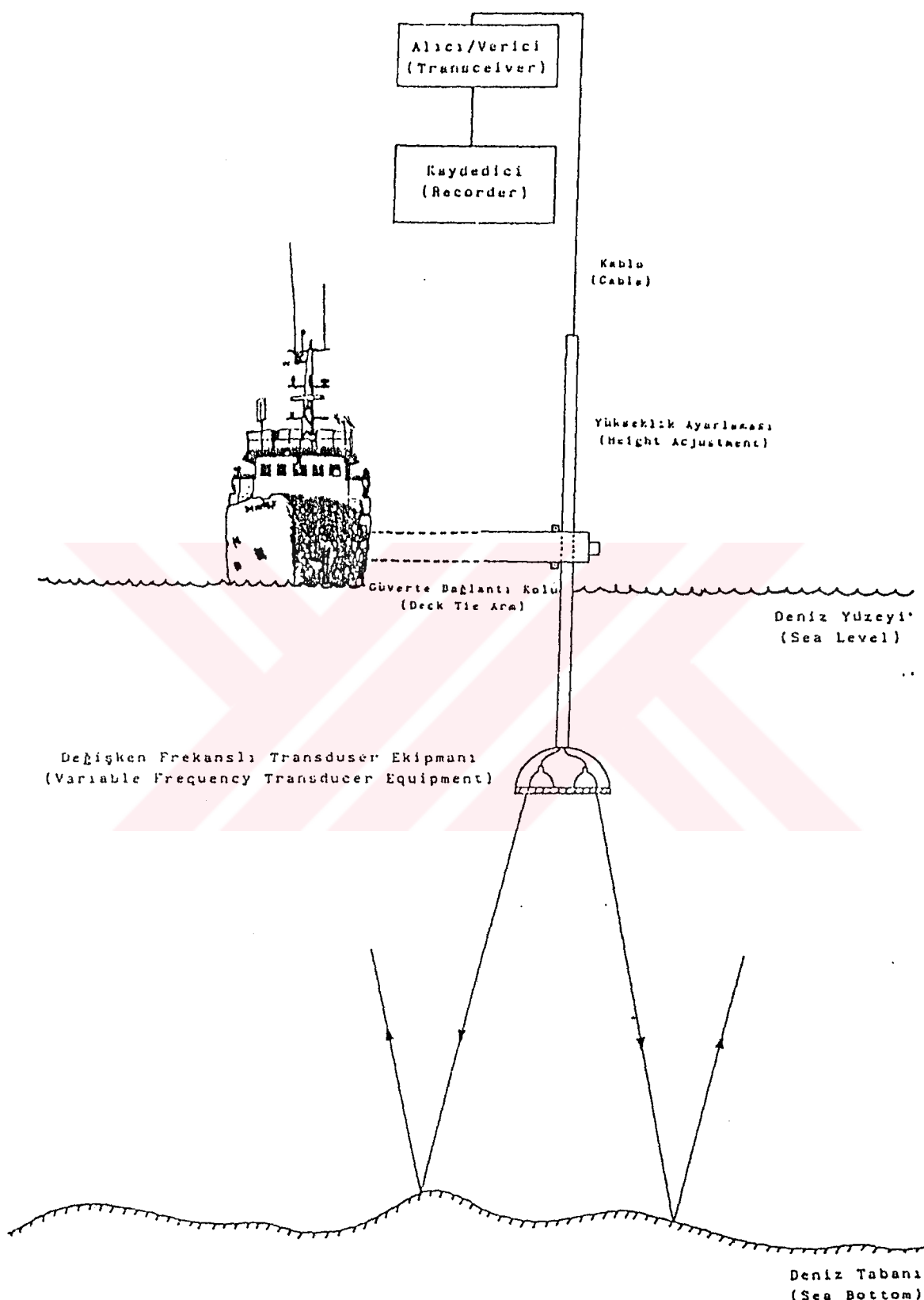
Deniz tabanı altında yeraşan zeminin sismik özelliklerini incelemek amacıyla yapılan ölçümlerinde "O.R.E Model 1032" mühendislik sismik sistemi (sub-bottom profiler system) yaygın olarak kullanılır. Şekil 4.54 'de şematik olarak gösterilen sistem, şu birimlerden oluşur.

- Transceiver "O.R.E. Model 140"
- Transduser array "O.R.E. Model 137 D"
- Grafik kayıtçı "E.P.C. Model 3200"
- Transduser askı ünitesi "O.R.E. Model 132 B" ve bağlantı kabloları.

Transceiver (transmitter-receiver); bu birimde gemi bordasından alınan 110 VAC voltaj, transceiver içerisinde bulunan kondansatörlerde biriktirilir. Biriken bu enerji, elektrik enerjisini akustik enerjiye çeviren transdusere gönderilir. Transduserler tarafından elektrik enerjisinin akustik enerjiye dönüştürülmesi ile su içerisinde yaratılan basınç farklılığının oluşturduğu sinyal, dalga yayını teorisine göre su ve daha sonra deniz tabanı altındaki zemin katmanlarında yayına geçer. Deniz tabanı ve altındaki katmanlarından gelen yansımış dalgalar, akustik enerjiyi elektrik enerjisine çeviren transduserler sayesinde tekrar elektrik enerjisine dönüştürülür. Bunun sonucunda transduser kutuplarında meydana gelen son derece küçük gerilimler, transceiver içerisinde yeraşan yükselticiler aracılığı ile kuvvetlendirilir. 1-12 KHz arasındaki frekanslarda, üretebilen impulsun gücü 10 KWatt'a kadar artırılabilir. Ünitedeki verici (transmitter) kısmında, üretilerek olan impulsun ana frekansı ve kapsanacak harmoniklerin sınırlarını belirleyen band genişliği seçimi yapılır. Band genişliği için alışılmış bir değer olarak 3.5 ± 0.5 KHz verilebilir. Üretilen pulsun devam süresini gösteren puls uzunluğu ise, 0.2 ms - 10 ms arasında basamaklı olarak veya harici bir zaman penceresi kullanılmak suretiyle (örneğin kayıtçı yardımıyla) istenen bir değere ayarlanabilir. Bu ünitenin alıcı (receiver) kısmındaki frekans değeride, "tune" yapılarak gönderilen pulsun frekansına göre ayarlanır. Bunun içinde alışılmış bir değer olan 3.5 KHz verilebilir.

Akustik enerjinin elektrik enerjisine çevrilmesi ile transdüserlerden gelen çok küçük gerilimler, alıcı kısmında kuvvetlendirilir. Daha geç ulaşan yani daha derin tabakalardan gelen sinyallerin göreceli olarak daha zayıf olması nedeniyle kuvvetlendirilmesinde kazanç faktörü değişken olarak kullanılmaktadır. İlk algılanan sinyaller ile sonradan gelen sinyallerin kazanç katsayısı otomatik olarak TVG ile, yani zamanla artan bir kazanç (time varying gain) şeklinde değişir. TVG yükselticisinin dinamik sınırı 30 DB'dir ve TVG gecikmesi 1 milisaniye ile 1 saniye arasında ayarlanabilir. TVG rampasının taban ekosunu gördüğü yerde otomatik olarak başlaması sağlanabilir.

Sismik pulsun penetrasyonu (derine nüfuziyeti) ile rezolüsyonu (göreceli ayrımlılığı) arasında puls uzunluğu,



Şekil 4.54. O.R.E. Mühendislik sismik sisteminin şematik olarak gösterimi.

frekans ve güç faktörlerine bağlı olarak şu ilişkiler bulunmaktadır.

- Çalışma frekansı azaldıkça veya frekans bandı daraldıkça penetrasyon artar, rezolüsyon azalır
- Puls uzunluğu arttıkça rezolüsyon azalır, penetrasyon artar.
- Puls gücü arttıkça (0-10 KW) penetrasyon artar.

Transduser-array "O.R.E. Model 137 D"; Piezo-elektrik özelliğe sahip bir piezokksit keramik malzemeden yapılmış olan transduserler, yukarıda belirtildiği gibi elektrik enerjisini akustik enerjiye çevirirler. Buna karşılık algıladıkları akustik enerjiyide elektrik enerjisine çeviren bu aygıtlara elektro-akustik-elektro dönüştürüler gözüyle bakılabilir. Transceiver ünitesinin verici kısmından gelen bir puls, bu elektro-akustik dönüştürüler tarafından su içerisinde bir sismik pulsa çevrilir. Bu sismik pulsun frekansı vericiden gelen elektrik pulsunun frekansına eşittir. "O.R.E Model 137 D" tipi transduserler 3-7 KHz arasında frekanslardaki sinyaller için duyarlıdırlar. Diğer bir deyişle vericilerden gönderilen pulsun frekansı verici frekans bandı içerisinde bulunmaktadır. Buna göre transdusere gelen sismik sinyalde aynı frekans içerisinde kaldığından, algılanıp transceiver ünitesinin alıcı kısmına ulaşmaktadır. Transduserler için gelen puls, maximum 10 KW gücünde olacaktır.

Transduserlerden yayılanan sinyalin frekansı ile konik hüzme açısı (beam angle) arasında ters bir orantı mevcut olup, frekans arttıkça hüzme açısı daralmaktadır. Sözkonusu açılar "O.R.E. Model 137 D" için şu şekildedir;

3.5 KHz	de	55° hüzme açısı
5.0 KHz	de	40° hüzme açısı
7.0 KHz	de	30° hüzme açısı

Dört transduserden oluşan "O.R.E Model 137 D" tipi array 'de her biri 200Ω empedansında transduserler paralel olarak bağlanılmışlardır ve dördüde hem alıcı, hemde verici olarak çalışmaktadır. Buna karşılık transduserlerden ikisinin verici, diğer ikisinde alıcı olarak ayarlanabilmesi olanağıda bulunmaktadır.

Transduser askı ünitesi, gemi bordasına bağlanmış bir durumda, Şekil 4.54 'de görülmektedir. Burada transduser derinlikleri ayarı yapılmamaktadır. Ayrıca bu ünite dalgalı havalarda sönmeyici gibi davranışarak gemi bordasını salınımlarını bir kısmının transdusere aktarılmasını önlemektedir. Transduser buradan bir soket ile gemideki kayıtçı sistemine bağlıdır.

Uniboom Sismik Sistemi " E.G.&G. Model 230" (Boomer)

Bu sistemde orta sığlıktaki derinliklerde bulunan tabakalar için yeterli ayrımlılık sağlanabilmektedir. Uniboom hem enerjinin derine nüfuz etmesi ve hemde tabaka ayrımlılık özelliği açısından, mühendislik sismik sistemi ile air gun sismik sistemi arasında yer almaktadır. Burada kullanılan enerji kaynağı, Mühendislik Sismik Sisteminde kullanılan transduser olmakla beraber farklılık olarak alıcı sistem streamer vasıtasyyla sağlanmaktadır. Şekil 4.55 'de şematik olarak gösterilen sistem şu birimlerden oluşmaktadır:

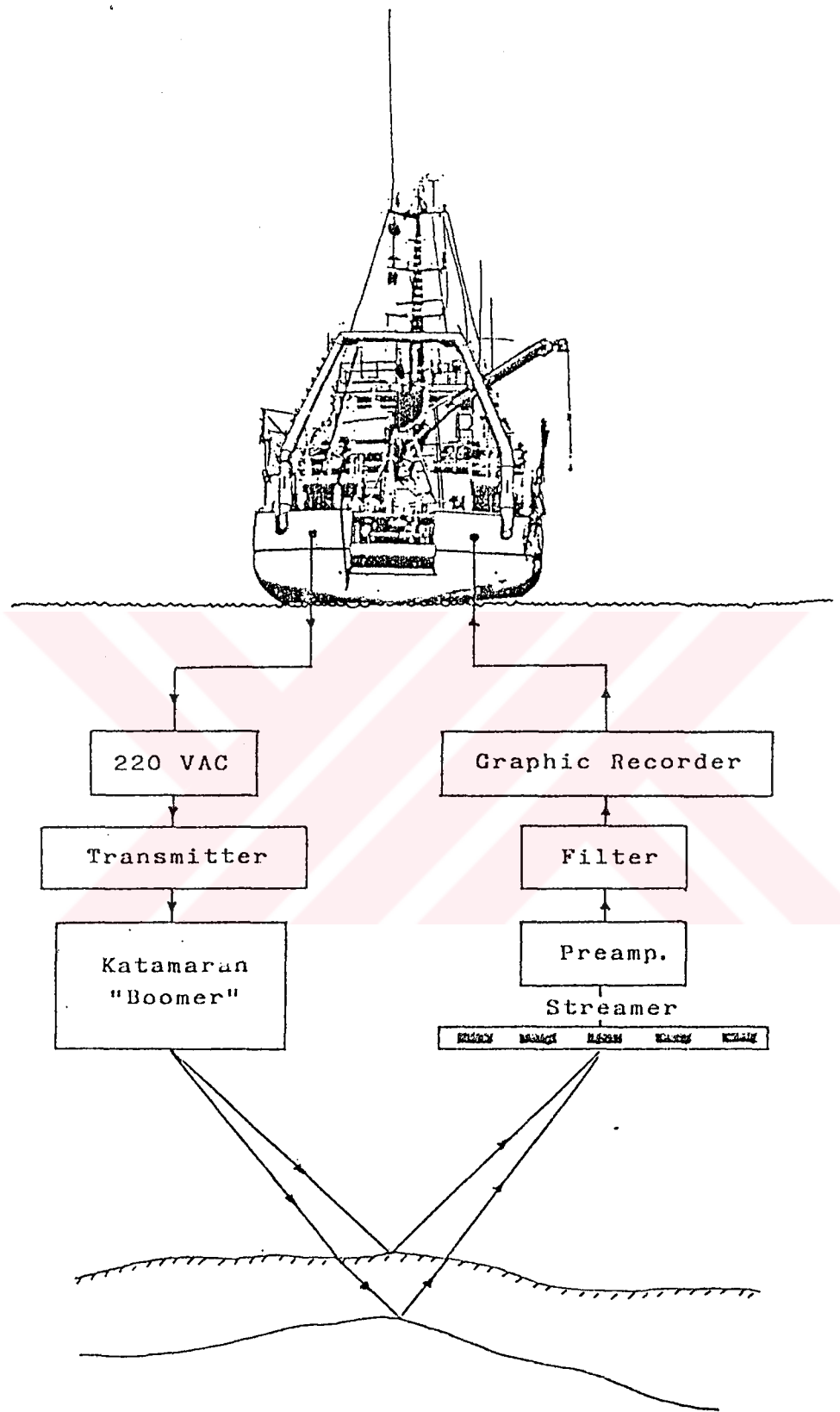
- Güç kaynağı,
- Akustik enerji kaynağı (katamaran),
- Akustik alıcı ünitesi (streamer),
- Band geçişli süzgeç (analog, butterworth)
- Grafik kayıt ünitesi "E.P.C. Model 4603 veya 3200"

Güç kaynağı için, gemi bordasından alınan 220 VAC voltaj, güç kaynağı içerisinde bulunan kondansatörlerde biriktirilir. Biriken bu elektrik enerjisi, ünite içerisinde bulunan "ateşleyici" tarafından boşalatılarak, gemi arkasından çekilen katamaran üzerindeki transdusere (boomer) gönderilir. Transduserlerde bu elektrik enerjisi, mühendislik sismik sisteminde anlatıldığı gibi, akustik enerjiye çevrilir.

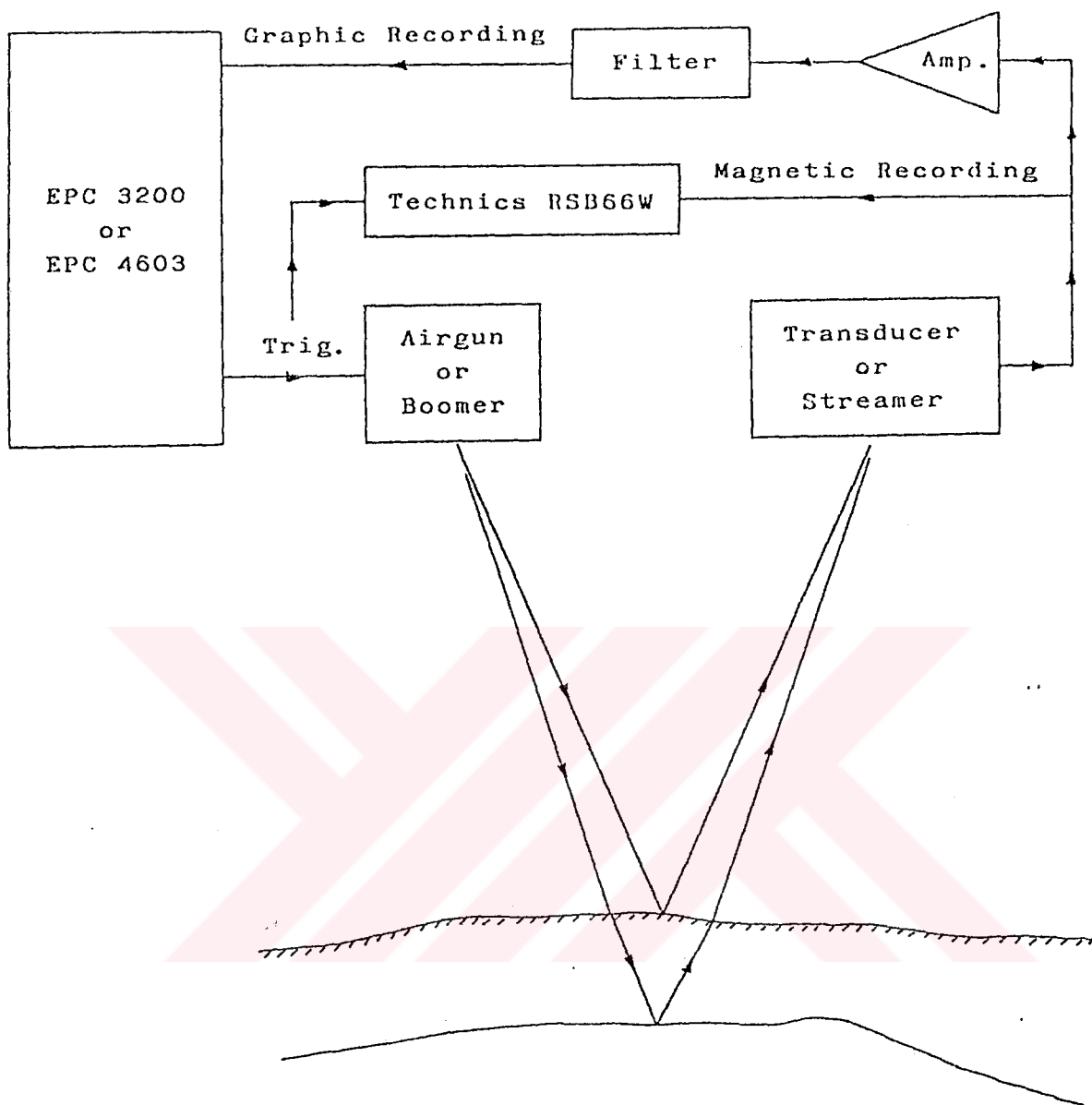
Bu şekilde su içinde yayınıma geçen akustik dalgalar deniz altı ve daha aşağıdaki tabakalarдан yansıyarak su yüzüne gelir. Ancak bu sistemde, gelen dalgalar mühendislik sismik sisteminde olduğu gibi yine transduser tarafından algılanmaz, bunun için air gun sisteminde olduğu gibi özel bir alıcı ünitesi olan "streamer" kullanılır. Güç kaynağı "E.G. & G. Model 234" deki kondansatörlerde 3500 VDC nominal voltajın transduserlere boşaltılmasını sağlayan ateşleme ünitesi (ignition), grafik kayıt ünitesinden gelen +5 VTTL ile tetiklenir. Güç kaynağı içerisinde bulunan kondansatörlerin, ünitenin üst kapağı açılarak 100, 200 veya 300 joule'lük bağlantılarından herhangi biri seçilmek suretiyle kolaylıkla yapılabilmektedir. Katamaran üzerine monte edilmiş olan "Boomer" (elektromanyetik türü) bir transduserden oluşmaktadır. 400 Hz ile 14KHz'lık band içerisinde sinyaller üretilebilen transduser'in enerji seviyesi 300 joule için 1 m derinlikte 107 dB/microbar dır. Patlatma sıklığının maximum 6 puls/sec kadar olabileceği transduserin ürettiği puls uzunluğu 0.2 ms olup, üzerinde bulunduğu katamaran ile birlikte maximum çekilme süratı 6 Knots'dır.

Grafik Kayıtçı (Recorder E.P.C. Model 3200)

Hidrofonlar tarafından algılanıp streamer içerisindeki bir ön yükselticiden geçen sinyaller bir analog (Butterworth) band geçişli süzgece gelmektedir. Burada aynı zamanda 20 dB'lık bir kazanç ile yükseltilen sinyaller arzu edilen bir frekans banda süzülerek grafik kayıt ünitesi EPC 3200'e gelir (Şekil 4.56). Burada sinyaller, kazanç (gain) ayarlaması şeklinde tekrar kuvvetlendirilir ve özel elektrostatik kuru kağıt üzerine grafik olarak kayıt edilir. Kayıtçı (recorder), ateşleme kutusu FC-1D'ye solenoid valfi açması için gerekli akımı göndermesi için 1ms süreli, ve 5 V 'luk kare puls şeklinde TTL tetik sinyalini gönderir. Tetikleme zamanları,



Şekil 4.55. Uniboom sismik sisteminin şematik gösterimi.



Şekil 4.56. Tek kanallı sismik kayıt alım tekniği.

çizici ucun kağıdın bir kenarından diğer kenarına gidiş zamanı ile bağlınlı olarak kayıtçı (recorder) üzerinden seçilir. Treshold ile sinyaller belirli bir seviyede kesilirler ve çizici uç (stylus) kağıt üzerine bu seviyedeki sinyal genişliği kadar bir çizgi çizer. Bu ard arda çizilen çizgilerden uyumlu (coherent) olanlar, yani belirli bir sebep nedeniyle birbirleriyle uygunluk gösterenler, yanyana sıralandıklarında sürekli bir hat oluştururlar. Ancak uyumsuz (incoherent) olanlar (beyaz gürültü vb.) hiçbir zaman yanyana gelemeyeceklerinden kağıt üzerinde belirli bir hat yerine karma karmakarışık çizgiler çizeler ve kağıdı gelişü güzel karalarlar. Threshold seviyesinin doğru bir sinyal/gürültü oranında seçimi ile bu uyumsuz çizgilerin önemli ölçüde, hatta uygun şartlarda tamamen edilmeleri mümkündür. Bu durumda kağıt üzerinde sadece deniz tabanı ve onun altındaki katmanları görülür.

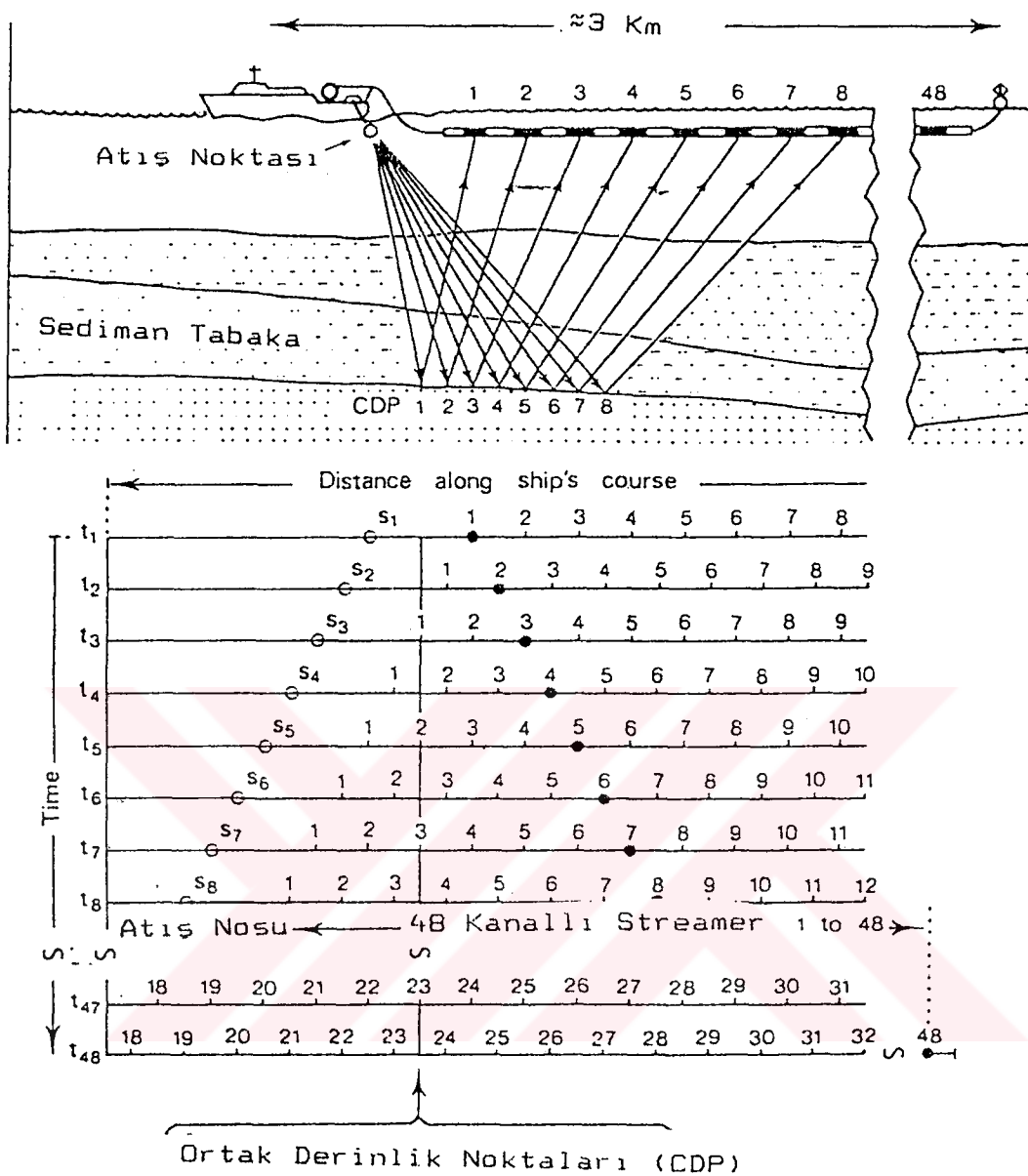
Kağıttaki yatay ölçek (x) gemi süratı ile orantılıdır. Düşey ölçek ise saniye cinsinden gidiş geliş zamanı olup hiçbir zaman doğrudan derinlik (z) eksenini diye düşünülmelidir. Ölçek değerlendirme kolaylığı bakımından grid çizgileri ile 10 eşit zaman aralığına bölünmüştür. Kayıtları belirli anlarda işaretlemek için, kayıt üzerine elle verilen komutlar veya harici bir üiteden gelen sinyaller ile "fix" (marker) hatları işaretlenir. Süpürme yönü (sweep direction) kayıt polaritesi (print polarity), tetikleme seviyesi ve modu (trigger level and mode) v.b. bazı ayarlar kayıt esnasında amaca uygun olacak şekilde yapılmaktadır.

Kayıtçı ile sismik veri aynı zamanda sayısal olarak, üzerinde bulunan bir soket vasıtıyla alınarak manyetik bant üzerine depolanabilmektedir.

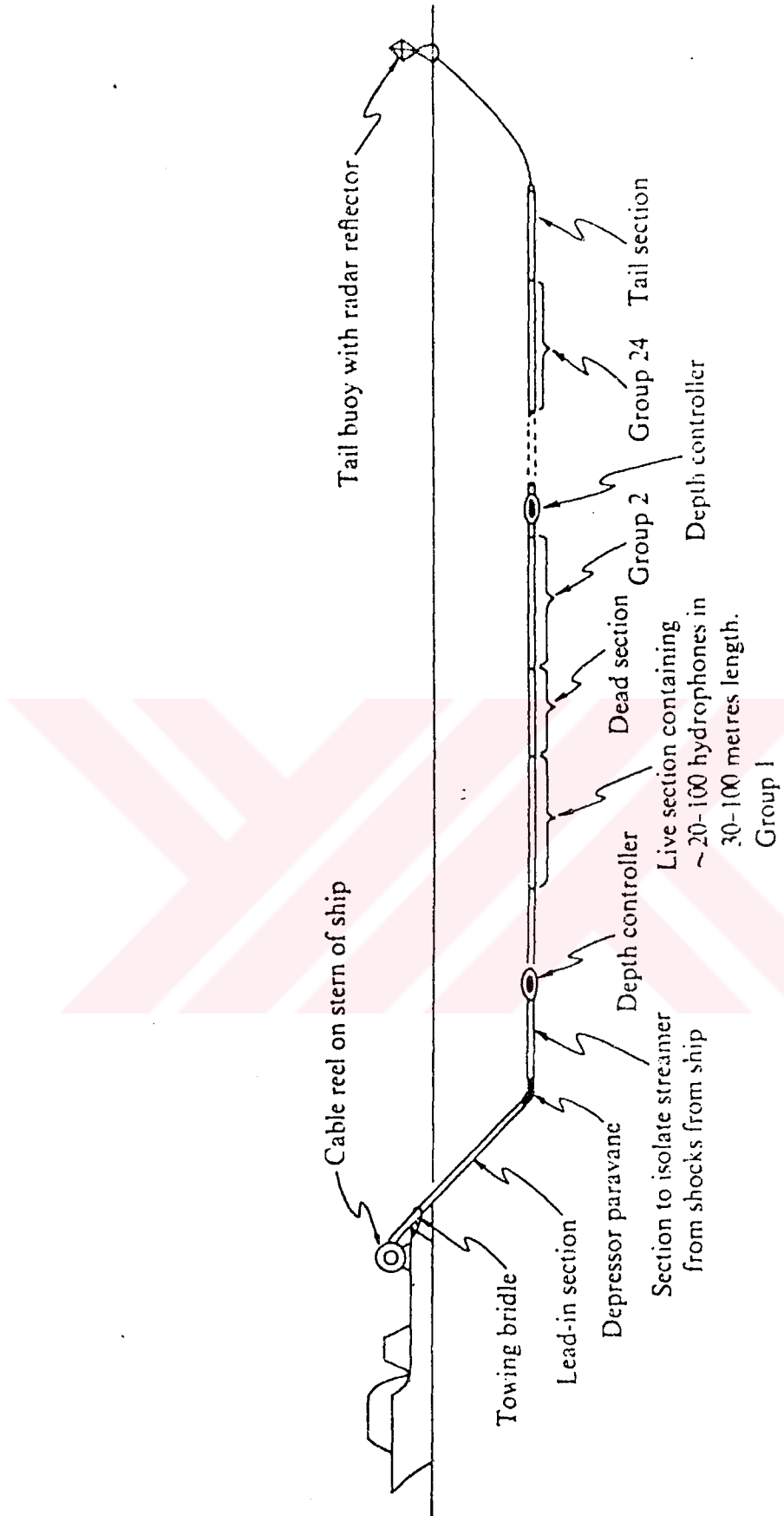
Alicı Sistemi (Streamer)

Benthos tipi bir tek kanallı streamer, 24 dB'lık bir ön yükselticisi bulunan ve paralel bağlanmış 10 adet hidrofondan oluşmuş bir cihazdır. Elektriksel olarak bir hidrofon elementi bir seri kapasitörden oluşan bir voltaj kaynağına benzer. Voltaj aynen frekansta olduğu gibi, doğrudan basınç ile orantılıdır. Basıç ve voltajla ilgili sabit, duyarlılık (sensitivity) olarak adlandırılır ve 1 volt baz alınarak 1 mikrobar başına desibel (dB) cinsinden düşen kazanç ile ölçülür. Bir hidrofon elementinin duyarlılığı yaklaşık -103 dB/Volt/mikrobar'dır. Sistem, 0.5 KHz ile 3 KHz arasındaki sinyaller için duyarlıdır. Kendi başına yüzebilen streamer'in içi deniz suyu ile en optimal akustik empedansı sağlamaası için, kerosen ile doldurulmuştur.

Şekil 4.57 'de çok kanallı veri toplama amacı ile kullanılan streamer, Şekil 4.56.a 'da da veri yoplama tekniği görülmektedir.



Şekil 4.56.a. Denizde çok kanallı sismik kayıt alım tekniği.(Ortak yansımıma noktaları, CDP lerin üst üste getirilip toplanmaya olanak verecek şekilde), Quillin R. Mc. et.al., 1984).



Sekil 4.57. Denizde çok kanallı sismik veri toplamak için kullanılan streamer (Sheriff, 1973).

Yanal Taramalı Sonar "E.G.& G. Mark 1 B"

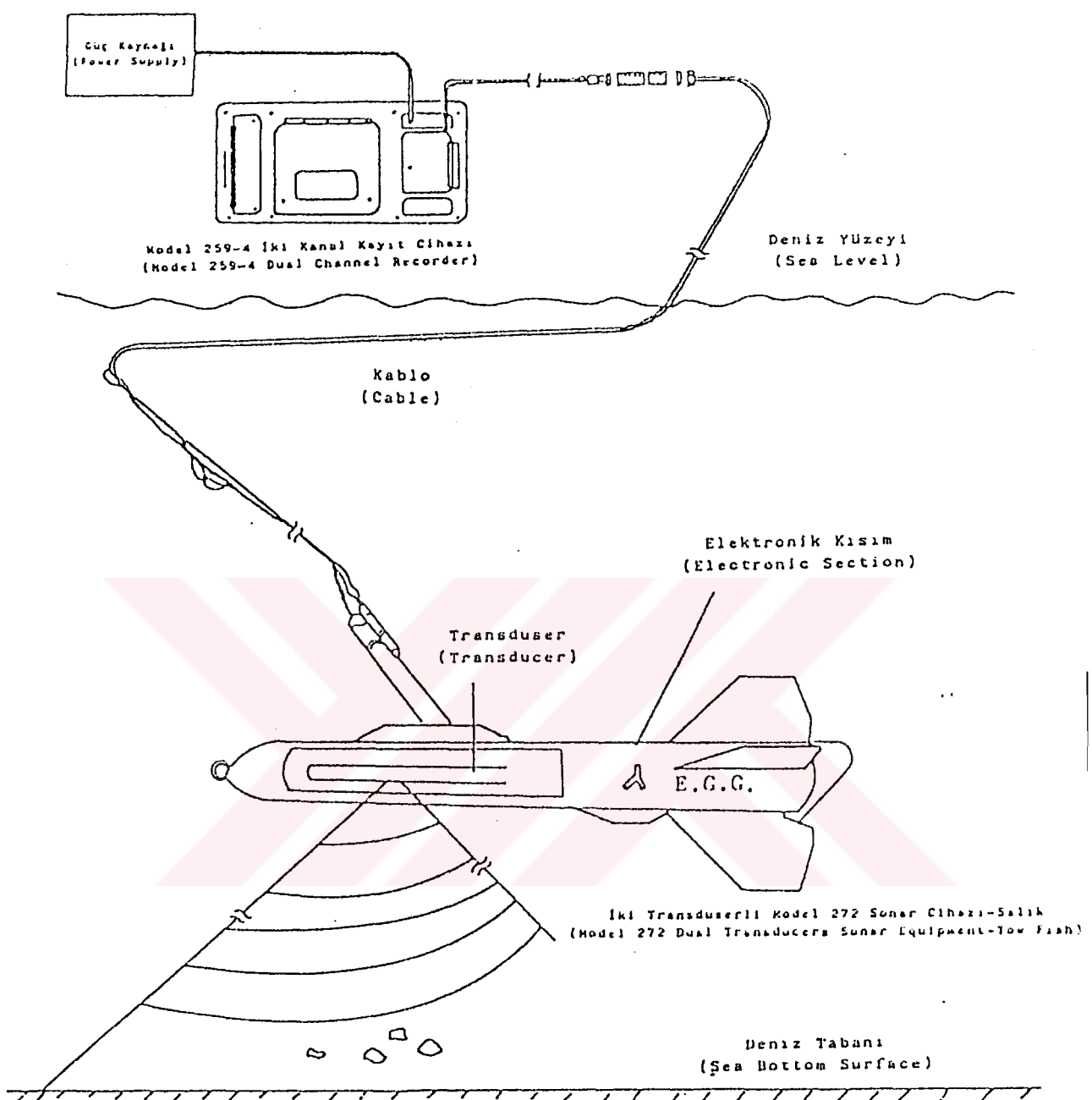
Yanal taramalı sonar sistemi iki kanallı bir grafik kayıtçidan, transduserleri üzerinde taşıyan bir balıkdan ve bağlantı kablolarından oluşmaktadır. Şekil 4.58. de şematik olarak portatif sistem, batarya veya gemi bordasından alınan enerji ile çalışır. Yanal taramalı sonar genel olarak iki ana birimden oluşur.

- İki transduserli sonar cihazı - Balık "E.G.& G. Model 272", ve kablolar,
- Kayıt ünitesi "E.G.& G. Model 259-4" ve güç kaynağı

Sinyal verici ve alıcı transduserler, en kötü hava şartlarında dahi kayıt bozukluklarını aza indirgeyebilmesi amacıyla, gemi gövdesi yerine, hidrodinamik özelliğe sahip balık üzerine yerleştirilmiştir. Balık, bağlantısı bir kablo ile sağlanarak genellikle geminin yanında veya arkasında denize verilir. Balığın gemi gövdesi ile mekanik bir bağlantısı bulunmadığı için gemini düzensiz hareketleri kayıt üzerinde ihmali edilebilecek etkileri yaratabilirler. Balık genellikle deniz tabanından, seçilen tarama genişliğinin % 10 - 20 si mertebesinde bir yükseklikde çekilir. Uzunları 50 m, 150 m, ve 600 m, olmak üzere üç türlü çekim kablosu mevcuttur. Balığın çekilme derinliği, kullanılan kablo uzunluğu, gemi hızı ve ani dönüşler derine inmesine neden olduğundan gemi rotası ile kontrol edilir. Çekme derinliği E.G.& G. çekme depresörü kullanarak dahada artırılabilir. Balığın üzerinde yer alan transduserler, elektro-akustik-elektro dönüştürücülerdir. Bu elemanlar kayıtçidan (recorder) aldığı tetikleme (trigger) sinyali yardımıcılık, 105 ± 10 KHz frekansındaki sinyallerin tabandan gelen yansımalarını algılayarak yükseltilmek ve kayıt edilmek üzere kayıtçuya iletirler. Bu sırada her iki transduser birbirlerinden bağımsız şekilde kontrol edilebilir ve gemi gitış yönüne göre, sancak-iskele olamak üzere farklı iki bölgeyi tararlar. Transduserlerin sinyal üretme sıklığı ile tarama genişliği (rang) arasında, aşağıda gösterilen ilişkiler vardır.

Tarama Genişliği (m)	Sinyal Üretme Sıklığı (puls/sn)
50	15.00
100	7.50
150	6.00
200	3.75
250	3.00
500	1.50

Grafik kayıt ünitesi hem grafik kayıt mekanizmasını, hem de sistem için gerekli elektronigin büyük bir kısmını kapsar. Bu eleman balık üzerindeki transduserler aracılığı ile üzerinden geçen bölgeye ait denizaltı morfolojisini, özel bir kağıda merkezden sancak veya iskele yönlerinde olmak üzere iki kanalda çizer. Kağıt üzerinde her 25 metrede bir ölçek çizgileri mevcut olup kağıt hızı 100, 150 veya 200 çizgi/inch olarak seçilebilir.

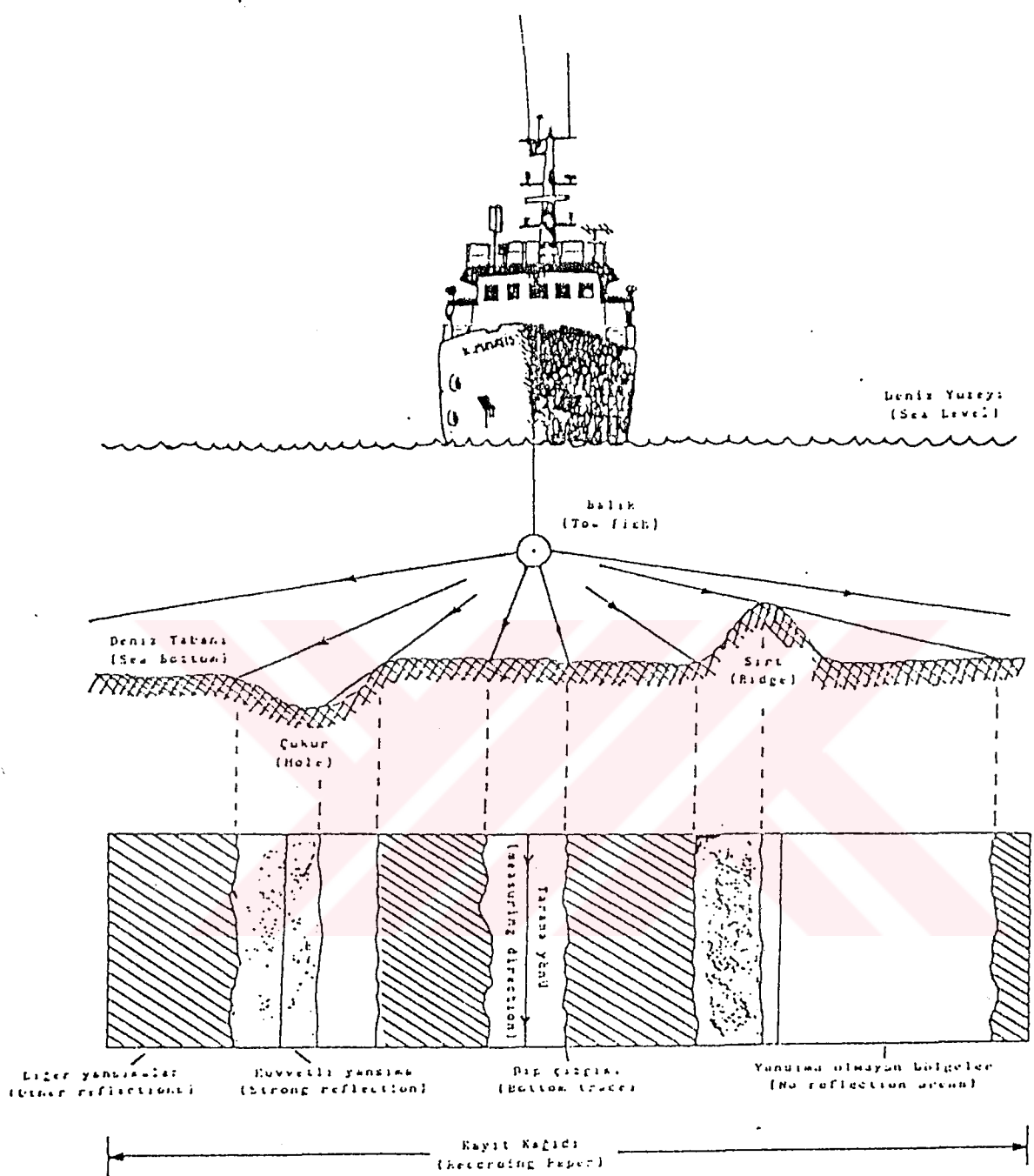


Şekil 4.58 Yanal taramalı sonar sisteminin şematik gösterimi.

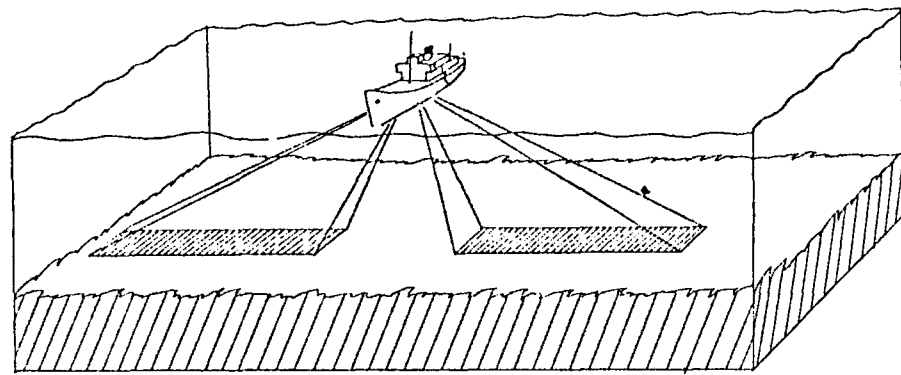
Şekil 4.59 'da kayıt alma sistemi şematik olarak gösterilmektedir. Yanal taramalı sonarın farklı koşullarda performansını artırmak için, hüzme yatıklığı (beam depression) değiştirilebilecek ve düşey hüzme genişliği ayarlanabilecek şekilde tasarlanmıştır. Balığın tabana ve yüzeye yakın olması gerektiği 30 m derinliğe kadar olan sıç sularda yapılan etüdlerde hem yakın, hemde uzak seviyelerde iyi bir tarama yapılabilmesi için normal olarak 20° düşey hüzme genişliği ve 10° hüzme yatıklığı kullanılır. Daha derin sularda (30 metreden daha fazla), 20° lik hüzme yatıklığı ve 50° lik düşey hüzme genişliği uygun olmaktadır.

Şekil 4.60 'da yanal taramalı sonar şematik kayıt görünümü birbirce ele alınmaktadır.

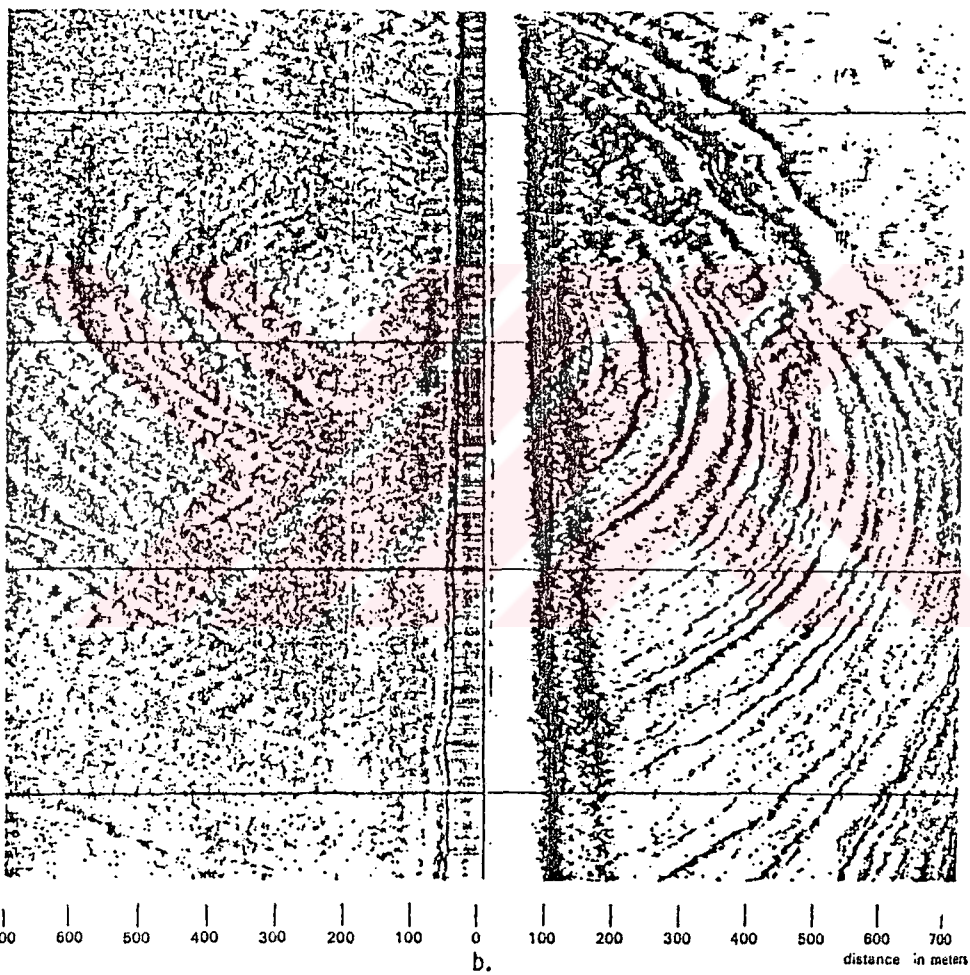




Şekil 4.59. Yanal taramalı sonar kaytlarının şematik gösterimi.



a.



Şekil 4.60. Yanal taramalı sonar. (a) Şematik ifadesi. (b) Kayıt görünümü. (Sheriff, 1973).

BÖLÜM 5

Deniz Sismik Enerji Kaynaklarının Teknik Özellikleri ve Genel Bir Değerlendirmesi

Değişik kaynak tiplerinin bir mukayesesini, Tablo 1'de verilmiştir. Kolon (a) enerji seviyelerini, kolon (b) 30 ft derinlik te ateslenen kaynakların kabarcık periyotlarındaki değişimi görülmektedir. Bütün bu özelliklerin bir grafik üzerinde işaretlenmesi ile Rayleigh Willis eğrisi elde edilmektedir (Şekil 3.2).

Şekil 4.34'de yakın alan sinyali maximum pık basıncı ölçülmüş olarak verilmektedir. Şekil 4.49'da pikden pike basınç ile deniz yüzeyinden olan yansımaya beraber uzak alan sinyali olarak görülmektedir. P_1-P_2 oranı (yani birincil ve ikincil maximum puls oranı) uzak alan sinyalinde kullanışlı bir faktör olarak ele alınmaktadır (EK 1). Bu pozitif birincil pık basınçları bar cinsinden, Tablo 1'deki c kolonunda verilmektedir.

Dinamitsiz düşük enerji kaynaklarının çoklu olarak patlatılmasının avantajları yanında, yiğmadaki katlamaların (fold of stack) artırımınıda sağlamaktadır.

Suyun serbest yüzeyinden olan yansımı, pulsumuzun işaretini değiştirmektedir (Şekil 5.1). İlksel puls ile yüzey yansımı arasındaki zaman kaynak derinliğinin azalışı ile düşüş gösterir. Şekil 5.3'de kavitaşyon etkisi görülmektedir. Derinlikle hidrostatik basınç artar, kabarcık (bubble) periyodu azalır. Şekil 5.3'de, geniş band (0-2.5 KHz), 2000 psi basınçda tek bir airgun'ın (120 inç³'lük) patlaması sonucu oluşan uzak alan sinyalleri görülmektedir. Alıcı derinliği 320 ft de sabit kalmıştır. Şekil 5.4'de sayısal olarak kayıt edilen, 0-250 Hz bandındaki uzak alan sinyalleri ve genlik spekturumları, ilksel pık genlikleri, toplam yayılma enerjileri ile birlikte verilmiştir. P_1 ve P_2 oranı, birincil (primary) ve ikincil (secondary) puls arasındaki oranı vermektedir. Basınç sinyali altında kalan alanda, kaynağın enerjisi ile ilişkilidir.

Şekil 5.5'de, 160 inç³ lük iki air gun sinyalindeki sinkronize (es zamanda atesleme) hatası etkisi (synchronising error) görülmektedir. Şekil 5.6.a ve b'de 120 inç³ için denemiştir.

Şekil 5.6'da tabancalar arası uzaklık ayarlaması ile kabarcık (bubble) etkisi değişimi görülmektedir.

Dinamit; çok sarfiyatlı, sismik frekans bandından daha fazla enerjinin algılanması, pahalı oluşu, yüksek balık ölümlerine sebebiyet vermesi, politik sınırlamalar nedeniyle yaygın olarak kullanılamamıştır. Bunun ardından kullanılan, maxipulse ise yine dinamite dayalı olması, pratik olamayan atesleme mekanizması bulunması nedeniyle rağbet görmemiştir.

Tablo 1. Kaynak tiplerine göre, enerjileri, periyot ve pık basınçları arasında bir karşılaştırma.

	(a) Intrinsic energy K ft lbs	(b) Period at 30 ft ms	(c) Primary pulse 0.62 Hz Barometre peak
50 lb Dynamite	61 000	500	
10.5 lb Dynamite	12 000	300	13
1 lb Dynamite	1 200	105	
0.25 lb Dynamite	304	82	
1.5 lb Aquaseis	2 000	54	
224 g Maxipulse	590	95	4
50 g Dynamite	145	69	2.5
50 g Flexotir	145	48	2.1
1.5 s Seisprobe	90	40	0.4
Bolt 1 in ³ Airgun 2 000 psi	1	14	0.2
Bolt 10 in ³ Airgun	10	30	0.6
Bolt 20 in ³ Airgun	20	39	0.7
Bolt 120 in ³ Airgun	120	70	1.2
Bolt 300 in ³ Airgun	300	100	1.7
Bolt 2 000 in ³ Airgun	2 000	165	4
125 in ³ Seismojet 8 000 psi	480	94	1.5
125 in ³ Seismojet W/S 8 000 psi	480	70	1.2
Sodera 120 in ³ Watergun 2 100 psi	126	26	1.3
Sodera 550 in ³ Watergun 2 100 psi	578	45	1.7
Sodera 915 in ³ Watergun 2 000 psi	920	55	
Sodera 915 in ³ Airgun 2 100 psi	920	120	2.9
Sodera 125 in ³ Airgun 3 500 psi	210	80	
Vaporchoc	943	64	2.5
Flexichoc	36	31	0.6
1.7 s Implosive Dinoseis	40	30	0.9
Hydrosein	64	38	
0.5 s Minisleeve	0.7	8	
3 kJ Sparker (3 electrodes)	2.2	5.5	

İmpulsif kaynaklar olan Hydrosein, Dinoseis, Water Gun ve Vaporchoc sismik bandın üzerinde frekans ve enerji üretmiştir. Vaporchoc geminin arkasına sabitlendiği için derinlik veya gemiden olan mesafesi değişim göstermemektedir. Yalnızca tek bir kaynak olarak kullanılır. Bunun yanında çıkışı sınırlıdır ve her yönde yayınım gösterir. Diğer impulsif kaynak tipleri (Dinoseis, Water Gun v.b.) çoklu patlatmalarda sıkronize hatalarına yol açmaktadır.

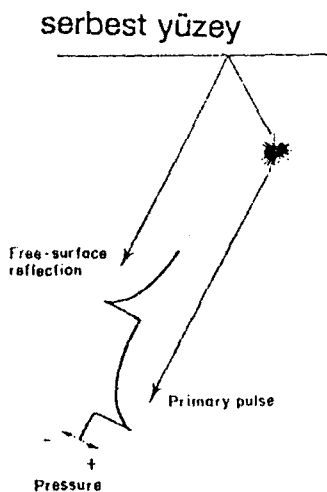
Gaz patlayıcılarında, ikincil (kuyruk) pulsları derinlikle artış göstermektedir. Ayrıca propan gazının kullanımı sorunlu olabilmektedir.

Günümüzde en çok kullanılan deniz sismik enerji kaynağı, Air Gun olmuştur ve halen güncelliliğini korumaktadır. Şekil 5.7 'de düşey doğrultuda yayılan uzak alan sinyalleri ve genlik spekturmum ilişkileri görülmektedir. Şekil 5.7 (a) da geniş spekturmumlu (sıg derinlikdeki), (b) de normal derinlikde, (c) ve (d) de ise aşırı derin olmayan bir ortamda, (e)'de ise derin bir ortamda sinyalleri, düşük freksnlarda yüksek enerji kullanmak amacıyla tercih edilen dar bandlı sinyal (f) de görülmektedir.

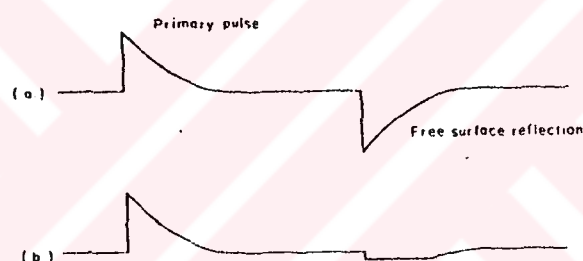
Bazı deniz sismik enerji kaynaklarının (ve çoklu dizilimlerinin), birincil pikleri oranı ve birincil-ikincil puls oranlarındaki değişimler, Tablo 2 'de verilmiştir. Şekil 5.8.a 'da farklı tipdeki enerji kaynak sinyalleri toplu olarak verilmektedir.

Kaynak sinyallerinin amaca uygun olarak üretilmesi için, kontrolü baştan mümkün olabilmektedir. Uzak alan kaynak sinyali ölçümü, son yıllarda kaynağın (veya diziliminin) aşağısında, belli bir derinlikdeki hidrofon vasıtısıyla, genel olarak 6 knot gemi hızında ölçümüleri yapılmaktadır. Böyle bir uzak alan sinyali Şekil 5.8'a 'deki gibidir. Burada hidrofon(veya dedektör) deniz yüzeyinden 150 metre aşağıda çekilmektedir. Normalde iki hidrofon kullanılır. Bunlardan birincisi, kalibrasyon, sinyalin kalitesinin kontrolu amacıyla, kaynak üzerinde bulunur. Analog olarak osiloskop üzerinde kontrolu yapılır. Böyle bir sinyal, Şekil 5.8 a ve b 'de 3360 inc^3 lük bir dizilim için görülmektedir. İkinci hidrofonda streamer tarafından algılanmaktadır. Bu sinyal her atış için manyetik teyibe kayıt edilir (Şekil 5.9).

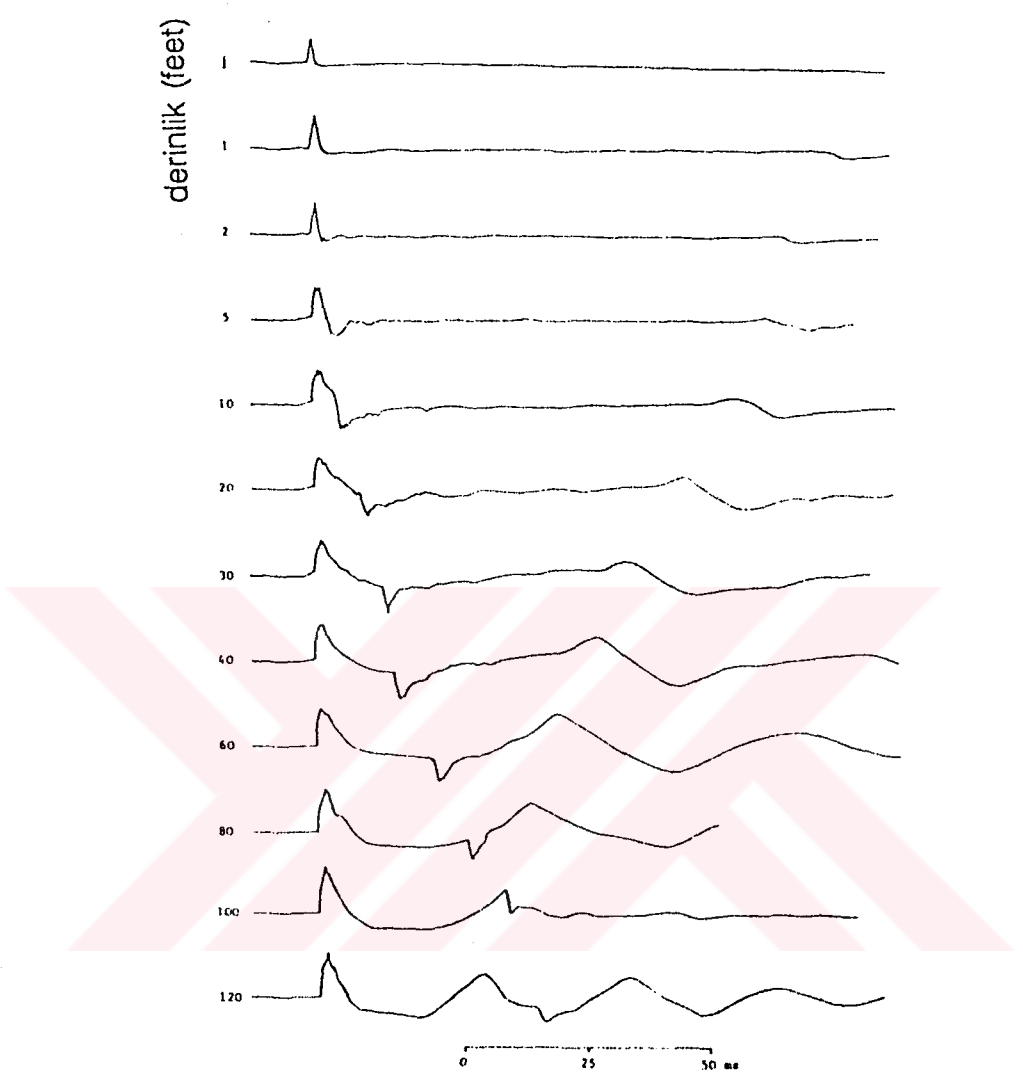
Şekil 5.9 'da 2160 inc^3 lük bir air gun diziliminin, 90 metre aşağıda bulunan bir hidrofon tarafından her atışı kayıt edilmiş uzak alan sinyalleri görülmektedir. Gerek sinkronize ve gerekse dizilim geometrisi ile, yerin soğurma etkisinden olan kayıplar azaltılıp, rezolüsyon (yüksek ayrımlılık) artırılabilir.



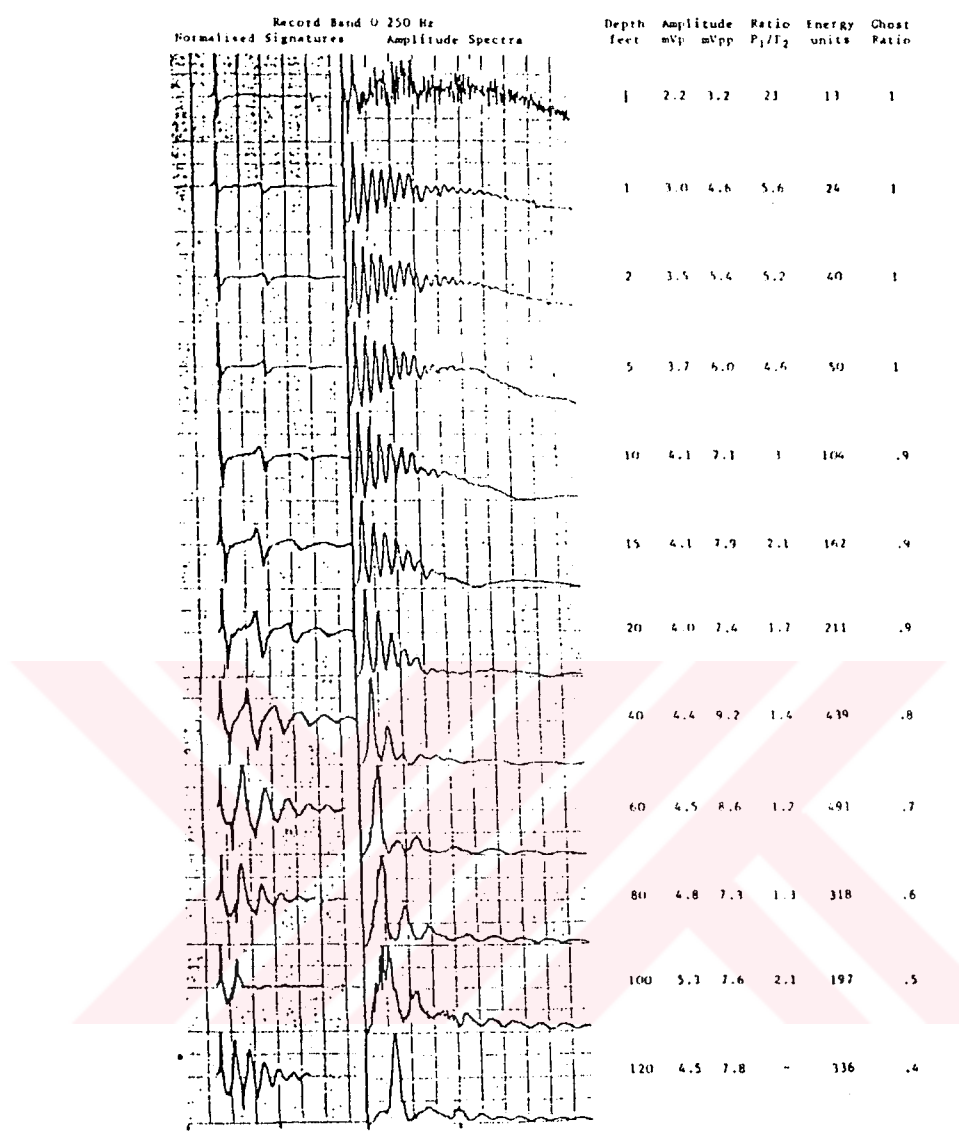
Şekil 5.1. Serbest yüzey etkisinin şematik gösterimi



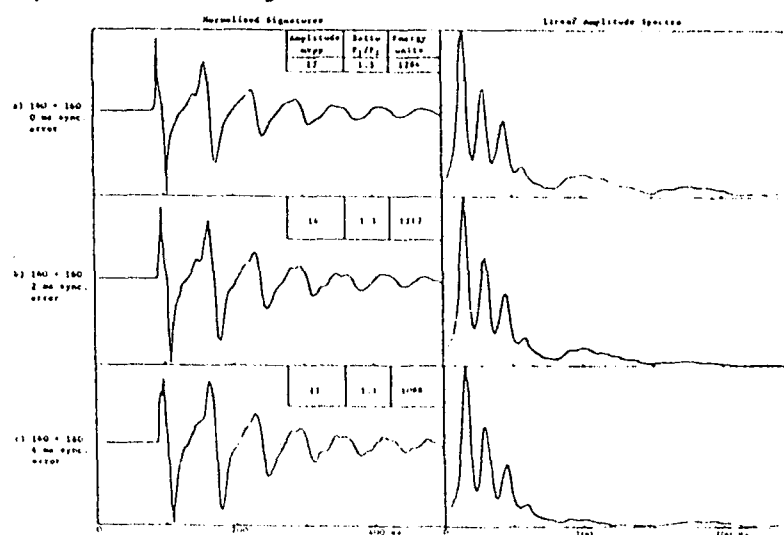
Şekil 5.2. Kavitasyon etkisinin şematik gösterimi



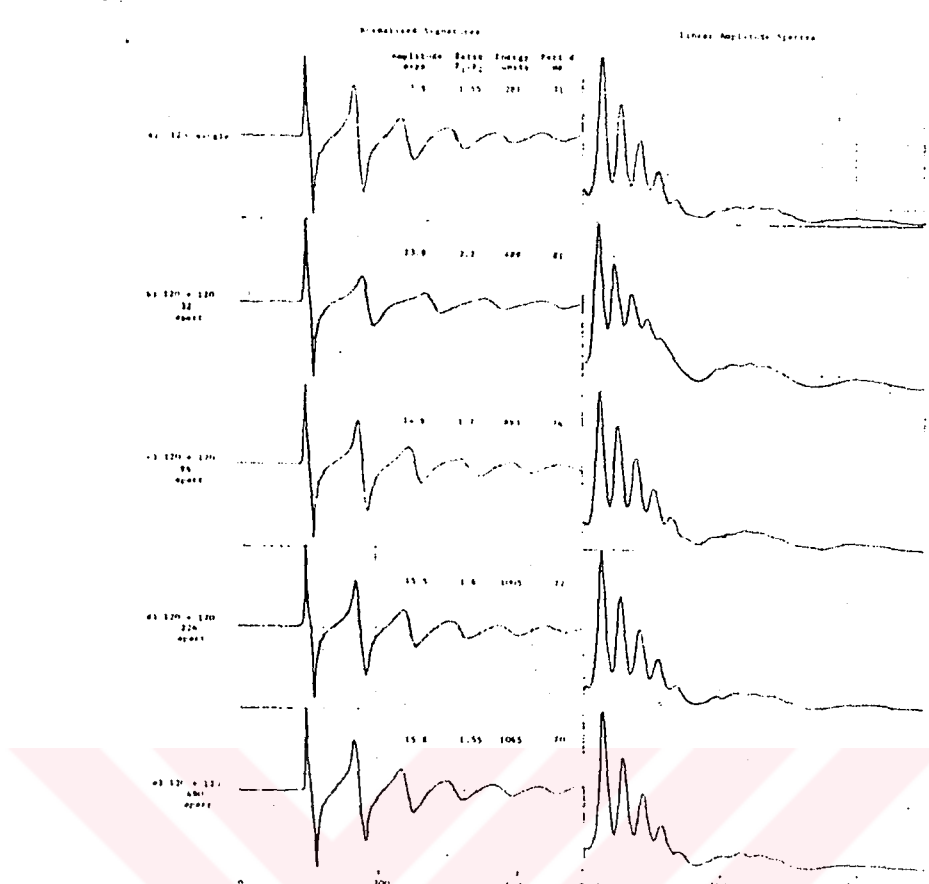
Şekil 5.3. Uzak alan 120 kübik inçlik air-gun sinyalleri (0-2.5 kHz)



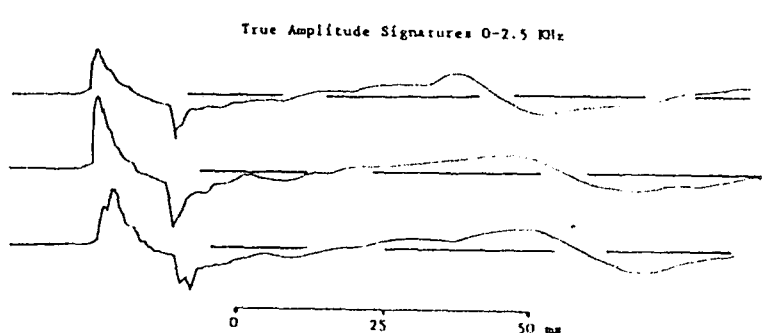
Şekil 5.4: 120 küpik inçlik uzak alan air-gun sinyalleri (0-250 Hz) ve bunların genlik spekturm veri ilişkileri



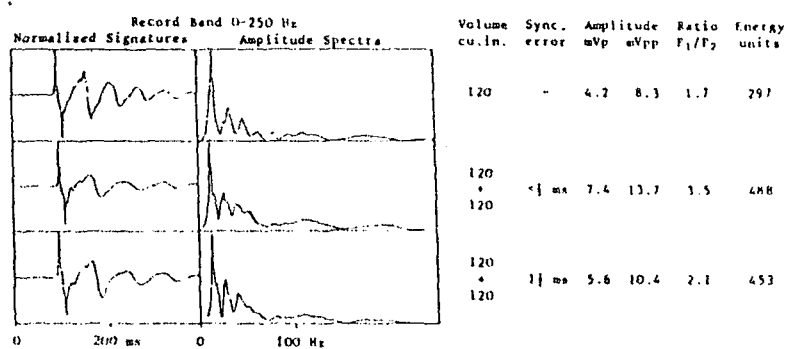
Şekil 5.5. Birbirinden etkilenmeyen iki 160 küpik inçlik air-gun 'lardaki sinkronize hata etkisi, 1 enerji ünitesi yaklaşık olarak 1000 ft lb dir.



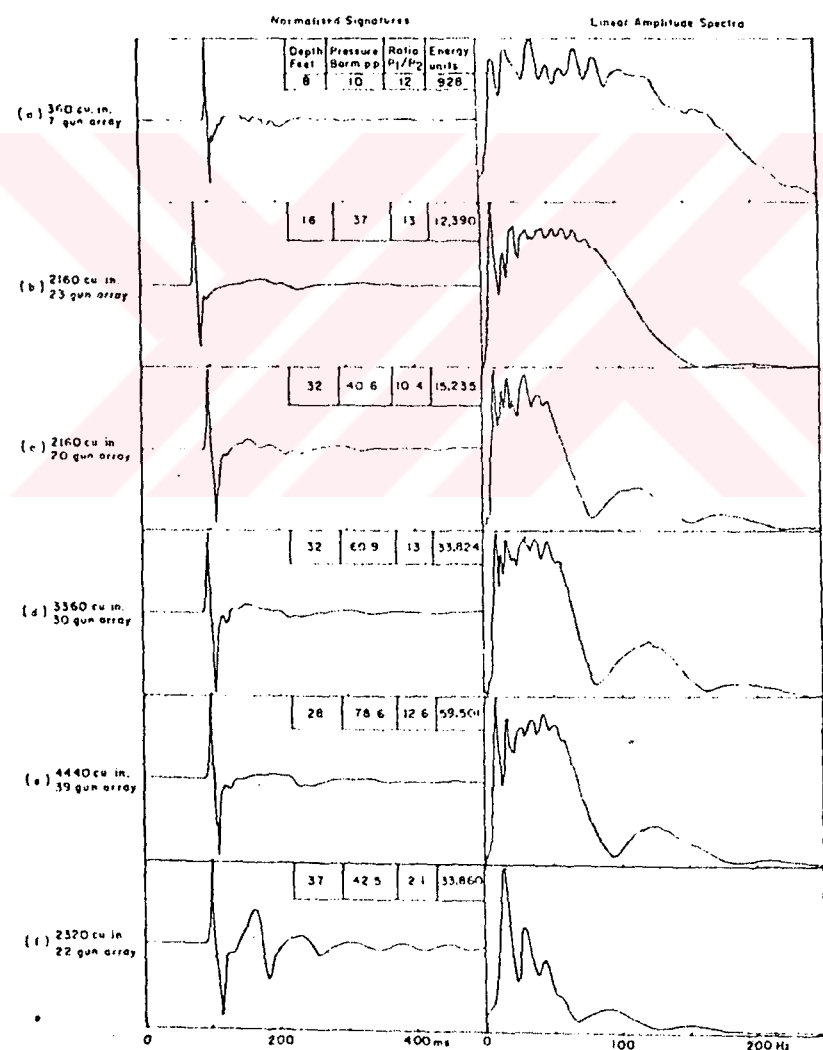
Şekil 5.6. İki adet 120 inc³'lük air gun arasında uzaklıkların ayılanması (interaction) ile oluşan sinyal, spekturm ilişkileri.



Şekil 5.6.a. 120 kübik inçlik iki air-gun'nın sinkronize hatası etkisi



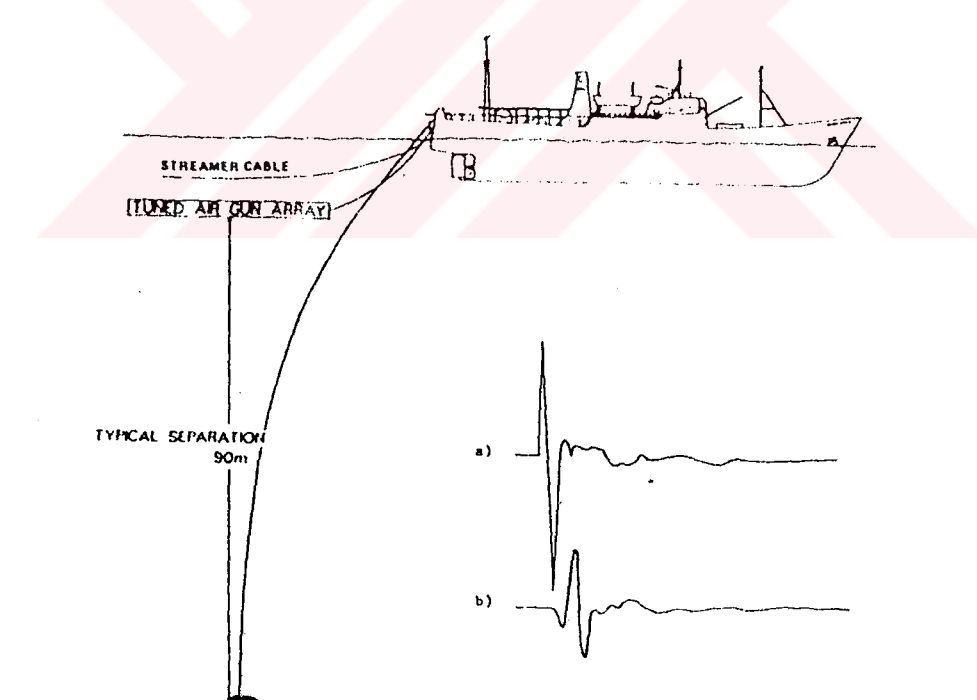
Şekil 5.6.b. 120 kübik inçlik iki air-gun'un sinkronize hatası etkisi ve genlik spekturumları ile veri ilişkisi



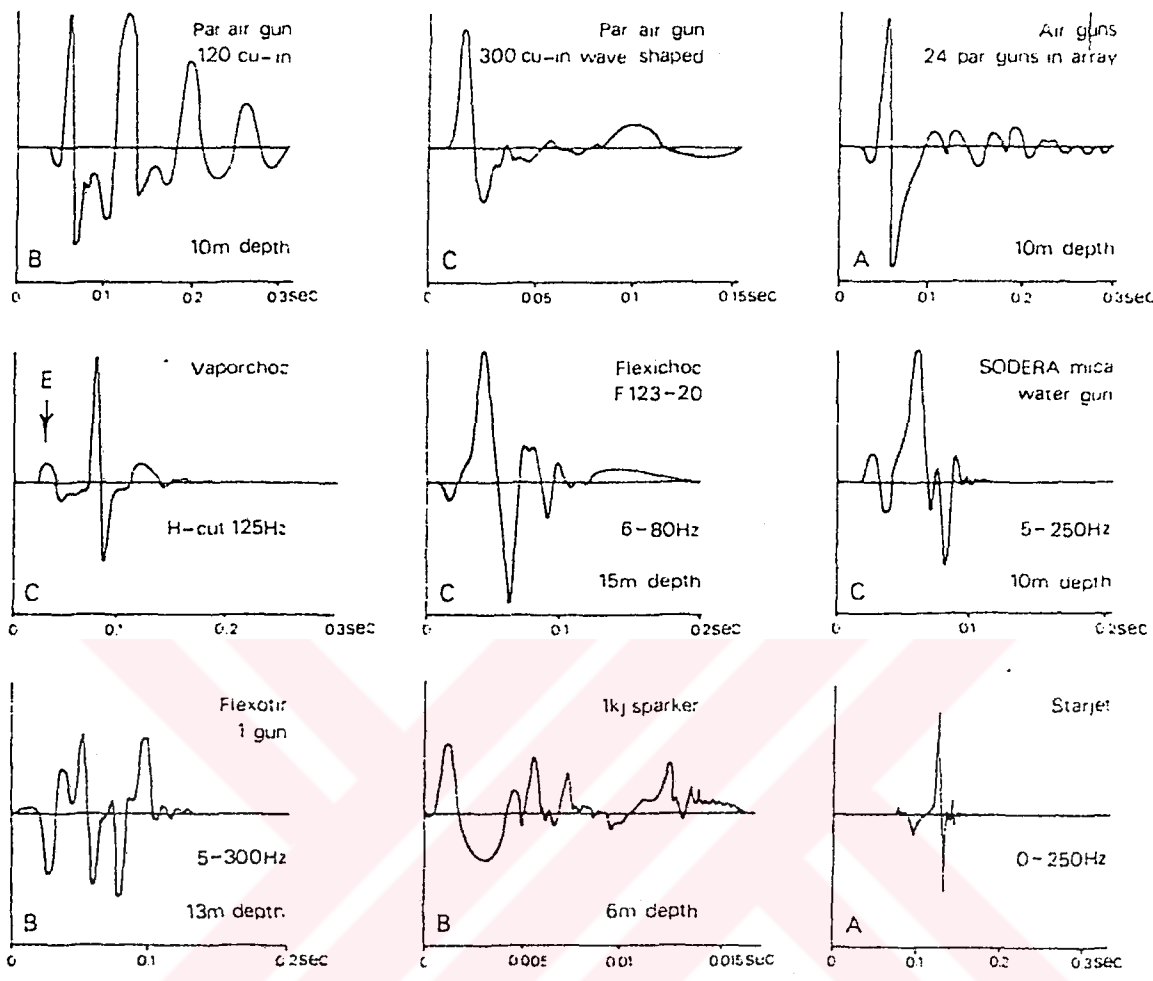
Şekil 5.7. Airgun array sinyalleri, genlik spekturumu ve veri ilişkileri

Tablo 2. 10 metre derinlikteki kaynak sistemlerinin karşılaştırması

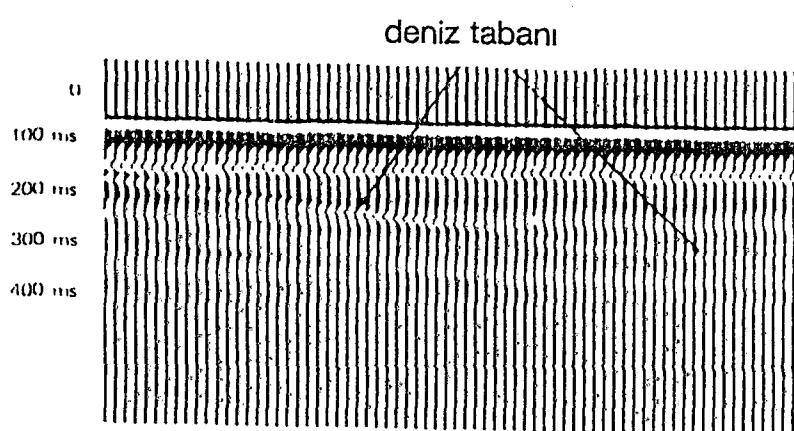
Sistem	basınç	Birincil ikincil puls oranı
1 gas gun	1.4	2
4 gas guns (4×1)	5	2
8 gas guns (4×2)	9	3
12 gas guns (4×3)	12	4
Maxipulse	10	0.9
Aquaseis		3
Flexotir 1 gun	5	4
Flexotir 2 guns	9.4	4
Airgun 1 gun 120 in ³	3.5	1.4
Airgun 7 guns 360 in ³	10	6
Airgun 20 guns 2160 in ³	40	10
Airgun 39 guns 4440 in ³	80	13
Watergun 11 guns 1150 in ³	17	3
Flexichoc 1 gun	1.0	
Flexichoc 10 guns	8	
Vaporchoc 1 gun	6	3
Dinoseis Imp. 1 gun 1.7 s	2.25	
1 gun 3.5 s	4.5	
2 guns 3.5 s	8.5	



Şekil 5.8. Uzak alan kayıt sistemi



Şekil 5.8.a. Çeşitli tip ve markalardaki sismik kaynak sinyalleri.



Şekil 5.9. Hat üzerinde alınmış uzak alan sinyali

BÖLÜM 6

Sonuç ve Öneriler

Bu çalışmada, sualtı sismik enerji kaynağının oluşumundan bahsedilmiştir. Hidrostatik basınç nedeniyle oluşan osilasyon hareketi sonucu, kaynak sinyalinin arkasına takılan (bubble) kabarcık sinyali etksinden kurtulma yolları aranmıştır. Bunun için farklı enerji kaynaklarından yararlanmak gerekmektedir.

Deniz sismik çalışmaları yapılmadan önce, çalışmanın amacına göre enerji kaynağı seçiminin yapılması gerekecektir. Kaynak seçimi yapıldıktan sonra, kaynağın parametreleri ve karakteristik özellikleride teorik olarak tespit edilebilir. Böylelikle henüz sismik enerji su altına verilip kayıt alınmadan, sinyal kalitesi hakkında bilgi edinilebilir.

Kaynak sinyalinin genel bir delta impulsu şeklinde olması istenir. Fakat kaynak sinyalinin gerek osilasyon, gerekse uzaklık ile orantılı olarak yayılımı sonucu, periyotunda bir artma frekans bandında bir düşme olur. Bu nedenle günümüzde, tabaka ayrımlılığını artırabilmek için, kaynak dizilimi yapmak gerekmektedir. Bu işlem; farklı büyüklükteki hava tabancalarının belli bir geometride dizilimi ve aynı anda patlatılması ile, ya da yine farklı büyüklükteki hava tabancalarının, bubble etkisini giderecek şekilde birbirlerine göre belli bir gecikme zamanı ile patlatılması ile mümkündür.

Bu çalışmada sismik enerji kaynakları ve karakteristik sinyalleri hakkında genel bilgiler verilmiştir. Günümüzde hava tabancası diğer enerji kaynaklarına nazaran daha ekonomik olduğu kabul edilmektedir.

Deniz sismik çalışmasının amacına göre istenilen kaynak seçileceği gibi, istenilen hava tabancası büyüklüğü veya dizilimi yapılabılır. Burada eğer amaç rezolüsyon ise daha dar sinyal, penetrasyon ise daha geniş bir sinyali verecek kaynak tipleri kullanılabilir.

KAYNAKÇA

- 1- Çoruh, C., 1984, Yansımalı Sismikte Temel Kavamlar, Türkiye Petrolleri Arama Gurubu Eğitim Yayınları, T.P.A.O., Ankara.
- 2- Fitch, A.A., 1979, Developments In Geophysical Exploration Methods-1, Applied Science Publishers Ltd, London, page 143.
- 3- Giles, B.F. and Johnston, R.C., 1973, System approach to airgun array design, *Geophysical Prospecting* 21, 77-101
- 4- Kramer, F.S., Petersen, R.A. and Walter, W.C., 1968, Seismic Energy Sources-1968 Handbook, Presented at the 38th meeting of the Society of Exploration Geophysics, October, Denver, U.S.A.
- 5- Nooteboom, J.J., 1978, Signature And Amplitude of Linear Airgun Arrays, *GP.*, V.26, P. 194-201.
- 6- Sherrif, R.E., 1982, Encyclopedic Dictionary of Exploration Geophysics, Society of Exploration Geophysicists, Tulsa, Oklahoma, U.S.A.
- 7- Texas Instruments, 1988, Sleeve Gun Operation and Maintenance, Operation and Maintenance Manual, Houston, Texas, U.S.A.
- 8- Vaage, S., Haugland, K. and Utheim, T., 1983, Signatures From Single Air Guns, *Geophysical Prospecting* 31, 87-97.
- 9- Vaage, S. and Ursin, B., 1987, Computation of Signatures of Linear Air Gun Arrays, *Geophysical Prospecting* 35, 281-287.
- 10- Uluğ, A., 1985, Deniz Akustik Kaynaklar Ders Notları, D.E.Ü. Deniz Bilimleri ve Teknolojisi Enstitüsü, İzmir.

EK.1

Air Gun Sinyali Hesabı

Air Gun sinyalinin hesaplanmasında, kriter olarak genellikle, primer pulsun genlik ve uzunluğu ile primer puls - (bubble) kabarcık genlikleri oranları göz önünde tutulur (Gilles and Johnston 1973, Nooteboom 1978).

Air Gun 'ların uzak alan sinyalleri için, birincil genlik A ve kabarcık periyodu T için aşağıdaki formüller türetilmiştir (Kramer, Peterson and Walter 1968, Giles and Johnston 1973, Nooteboom 1978, Johnston 1980).

$$A \propto C_1 V^{1/3} \quad (1.1)$$

P (basınç) ve D (derinlik) değişkenleri kullanıldığında,

$$T \propto C_2 \frac{P^{1/3} V^{1/3}}{(D+D_0)^{5/6}}$$

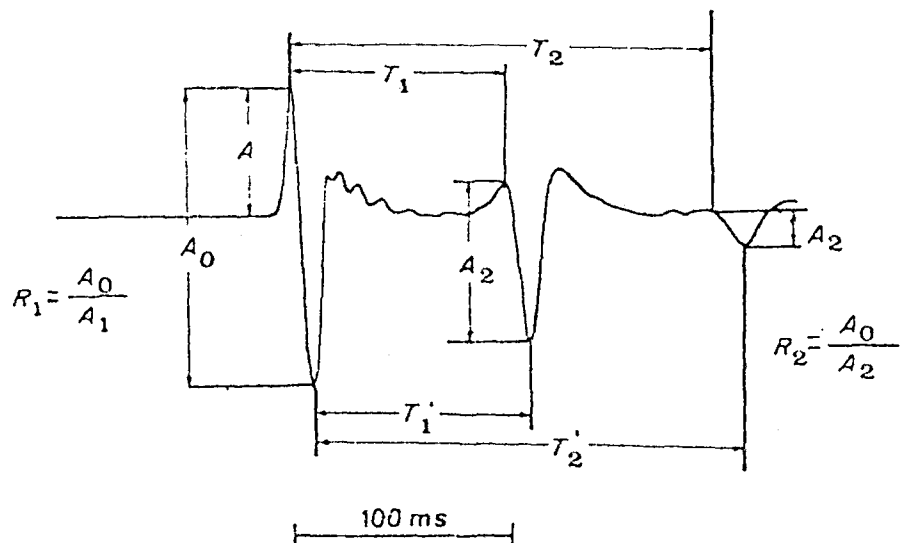
$D_0=10$ metre alınarak; (Giles and Johnston 1973);

$$A \propto C_3 P \quad (1.3.a)$$

V ve D sabit alındığında (Johnsto 1980);

$$A \propto C_4 P^{0.551} \quad (1.3.b)$$

Şekil EK.1'de gösterilen bir air gun sinyalinin genel tanımlaması yapılmaktadır. Kullanılan karakteristik puls parametreleri;



Ek 1.a Sinyal parametrelerinin tanımlanması

A , primer pik genliği, ilk pozitif pikin dönüm noktasına kadar olan büyüklüktür.

A_k , primer ve bubble pulslarının, pikten pike olan değeri olup, primer puls için $k=0$, diğer bubble pulsları için $k=1,2,3,\dots$ değerini alır.

R_k , A_0/A_k , k 'inci bubble puls için primer-bubble pikten pike genlik oranı.

T_k , bubble pulsunun pozitif pik için, primer pulsun pikinden k 'inci değerdeki ölçülen bubble pulsunun gecikmesi.

T'_k , bubble pulsun pozitif pik için, primer pulsun pikinden ölçülen, k noktasındaki bubble pulsunun gecikmesi.

Tüm bunların yanında, θ_0 gibi bir airgun parametreleri setinden yararlanarak, $s(\theta_0, t)$, $A(\theta_0)$, $T_k(\theta_0)$, $R_k(\theta_0)$, $P(\theta_0, t)$, $b_k(\theta_0, t)$ bulunabilir. Buradaki airgun parametre vektörü olan θ : V toplam odacık hacmi; P odacık basıncı; D airgun derinliği; Waveshape plakası ile toplam hacim arasındaki orana bağımlıdır. Bundan başka, $P(\theta, t)$ primer puls; $b_k(\theta, t - T_k(\theta))$, kabarcık (bubble) gecikme zamanı $T_k(\theta)$ ile, k 'inci (bubble) kabarcık sinyali; N incelenenek olan kabarcık pulslarının toplam sayısı (örneklerde $N=1$ alınabilir).

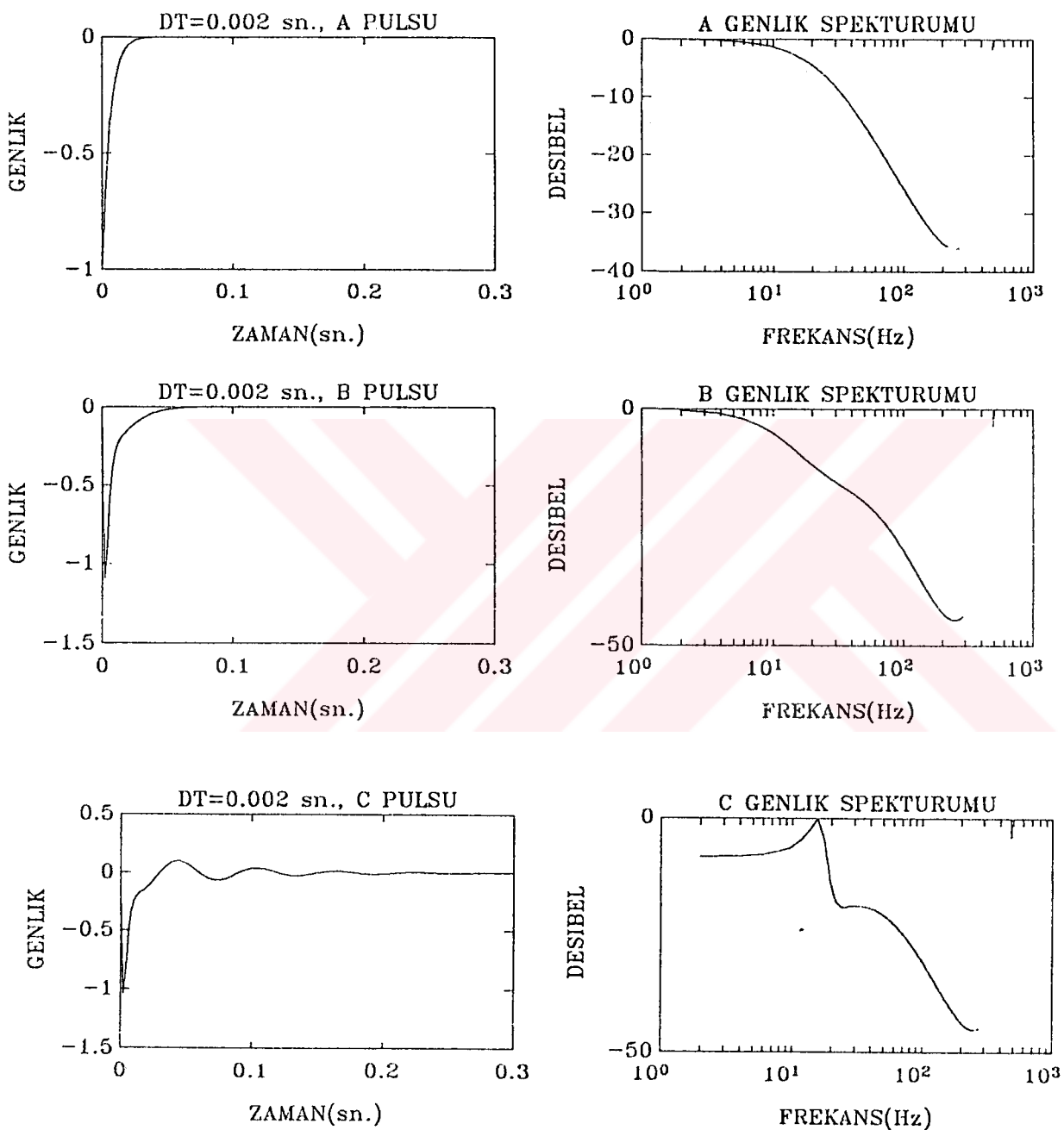
Air gun sinyali teorik olarak hesaplanması aşağıdaki eşitlik yardımıyla sağlanabilir.

$$s(\theta, t) = P(\theta, t) + \sum_{k=1}^N b_k(\theta, t - T_k(\theta))$$

Farklı θ değerleri için aşağıdaki amprik bağıntı kullanılabilir (Vaage et.al., 1983).

$$s(\theta, t) = A_0(\theta) A_0(\theta_0)^{-1} [p(\theta_0, t) + \sum_{k=1}^N R_k(\theta)^{-1} R_k(\theta_0) b_k(\theta_0, t - T_k(\theta))]$$

EK-2



Ek 2.1. Farklı periyotlarda yapay olarak elede edilen sinyallerin spekturmum ifadeleri.

```

ITLI AIRGUN SINYAL ORNEKLERİ VE SPEKTRUMLARI
0.002:0.3];
ULSU
xp(-167.*t);
lot(221)
t,ft),title('DT=0.002 sn., A PULSU'),xlabel('ZAMAN(sn.)'),ylabel('GENLIK'
t(ft);
LIK SPEKTRUMU FWG
bs(((real(fw)).^2+(imag(fw)).^2).^0.5);
0.002;
gth(fw);
(0:n-1)/n;
x(fwg);
20.*log(fwg/nn);
ogx(f,fwgd),title('A GENLIK SPEKTURUMU'),xlabel('FREKANS(Hz)'),ylabel('DE
ULSU
1360.* (t.*exp(-500.*t))-54.4.* (t.*exp(-100.*t));
t,fft),title('DT=0.002 sn., B PULSU'),xlabel('ZAMAN(sn.)'),ylabel('GENLIK
ULSU GENLIK SPEKTRUMU
ft(fft);
abs(((real(fww)).^2+(imag(fww)).^2).^0.5);
x(fwwg);
=20.*log(fwwg/nn);
ogx(f,fwwgd),title('B GENLIK SPEKTURUMU'),xlabel('FREKANS(Hz)'),ylabel('D
ULSU
ot(221)
1360.* (t.*exp(-500.*t))-0.2.*exp(-15.3.*t).*sin(2*pi.*t/0.06);
t,ftc),title('DT=0.002 sn., C PULSU'),xlabel('ZAMAN(sn.)'),ylabel('GENLIK
ULSU GENLIK SPEKTRUMU
ft(ftc);
abs(((real(fcw)).^2+(imag(fcw)).^2).^0.5);
x(fcwg);
=20.*log(fcwg/nn);
ogx(f,fcwgd),title('C GENLIK SPEKTURUMU'),xlabel('FREKANS(Hz)'),ylabel('D
pulc
pulc /djet /fprn

```

Uygulama

Sismik verilerde aranan en önemli özellik tüksek ayrımlılık (high resolution). Buna göre değişik katmanlardan gelen yansımış sinyallerin birbirlerinden ayrılmış olarak gelmesi istenir. Bu şekilde yeteri kadar dar bir giriş sinyali ile elde edilen sismogramlar üzerindeki yansımalar birbirlerinde ayırt edilebilecek durumdadırlar. Bu işlem, giriş sinyalinin (kaynak sinyalinin) dalga boyu e küçük tabaka kalınlığından daha az olmasını gerektirir. Böylelikle ayrımlılık artımı sağlanabilir. Aksi durumda, sinyal boyu tabaka kalınlıklarına eşit veya daha uzun ise, ozaman tabakalara ait yansımış sinyaller birbirlerinin içine girerler. Bu da yorum aşamasında zorluklara neden olur.

Simogramlardaki ayrımlılığın sağlanması iki aşamada sağlanabilir. Bunlardan birincisi, kaynak dalgacığının daha henüz yayının konumunda kontrol edilmesi ile, ikincisi ise sinyal prosesi ile sağlanmaktadır (veri-islem).

Air gun kaynaklı sismik çalışmalarda enerji kaynağından üretilen sinyalde kabarcık etkisi (bubble effect) yüzünden uzunca bir kuyruğun bulunması kesitlerde ayrımlılığın yitirilmesine sebep olmaktadır. Bu sinyal kuyruğunu giderebilmek için dizilimlerden faydalanyılır (airgun array). Aşağıda beş tabaklı bir yer modeli için kaynak sinyalinin airgun diziliminde kullanılabilen temsili sinyal ve ayrımlık (resolution) incelenmektedir.

Tabaka Hızları(m/sn) Tabaka Kalınlıkları (m)

$V_1 = 1500$	100
$V_2 = 2000$	30
$V_3 = 3000$	70
$V_4 = 1800$	20
$V_5 = 3500$	∞

Yansıma Katsayıları Varış Zamanları (sn)

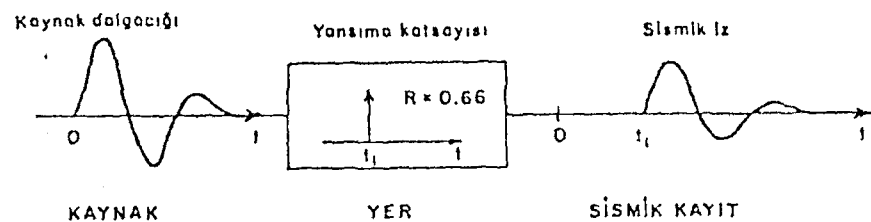
0.14	0.1
0.2	0.13
-0.25	0.18
0.32	0.20

Kaytlarda yansımış dalga kaynak dalgacığını görünümü şeklindedir. Yayınan dalgayı temsil eden kaynak dalgacığı arayüzeylerden yansıtma özelliğine bağlı olarak yansıyarak, alıcılar gelir. Yansıma olayı böylece empedans farklılığının meydana getirdiği bir dalga yayınım şeklidir. Kaynak dalgacığının varış zamanı kaynak-alıcı arasındaki yayınım süresini gösterirken dalgacık genliği ve fazı arayüzeydeki empedans kontrastına ait bilgiler taşır. Bu durumda yansıtma olayı doğrusal bir giriş-çıkış işlemi olarak alınabilir (Şekil i). Yani giriş işlemini kaynak dalgacığının, sistemin kendisini yansıtma katsayılarının oluşturduğu çıkış verisi, gözlenen verilere eşdeğer sismik iz olarak algılanabilir. Bu olay bir evrişim (convolution) işlemidir. Giriş verisi (kaynak dalgacık) X, sistem (yansıtma katsayıları) R olmak üzere çıkış verisi X ile R nin konvolüsyonu olarak ifade edilebilir. Bu ifade,

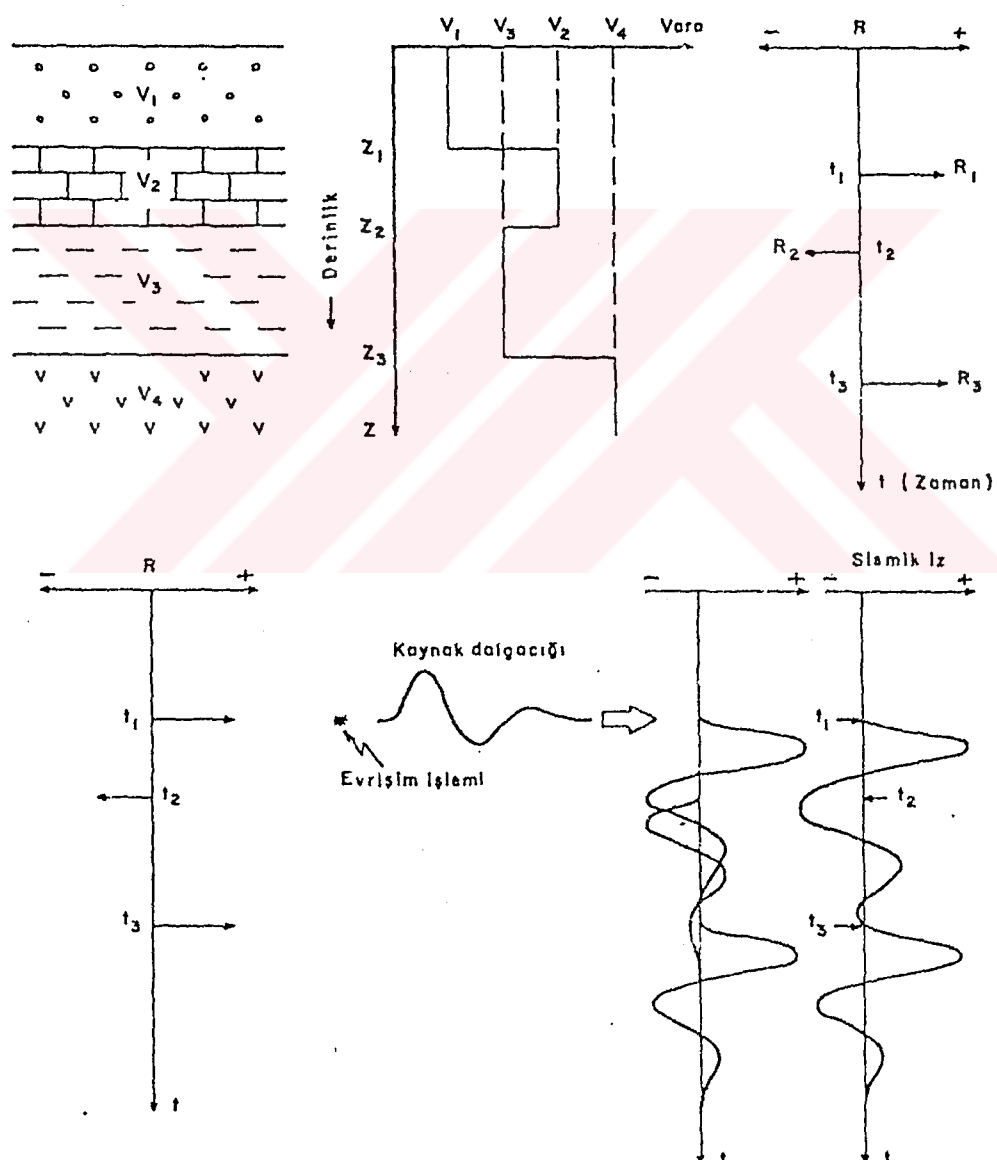
$$Y = X * R$$

(Y=çıkış verisi) olarak verilmektedir (*=evrişim işlemi)

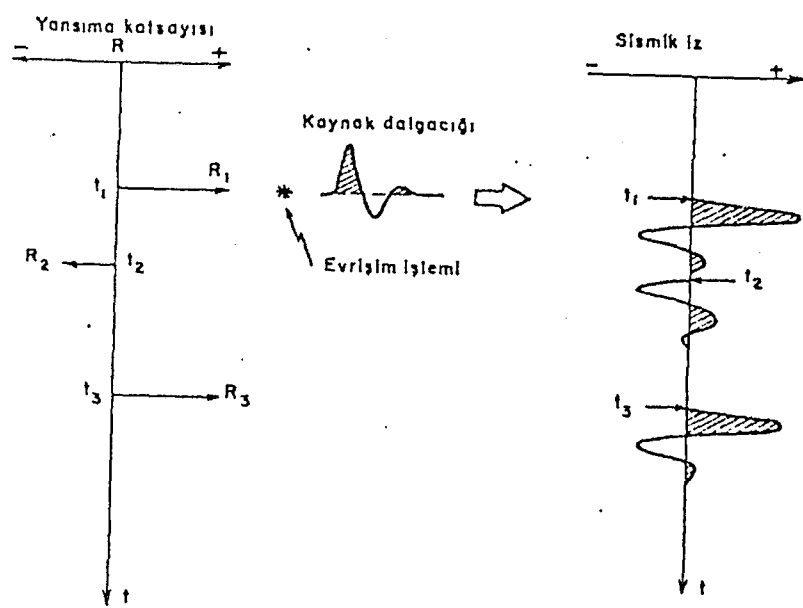
Şekil ii ' bu işlem sismik iz olarak verilmektedir. Burada tabak ayrılılığı kaynak dalgacığını boyunun uzaması ile azalmaktadır. Yani tabaka kalınlıklarının kaynak dalgacığından daha küçük olduğu durumlarda dalgacıkların girişimi söz konusudur. Şekil iii 'de kaynak dalgacığını tabaka kalınlıklarında daha küçük olduğum durumlarda ayrılığının aratacağı görülmektedir.



Şekil i. Sismik İzin Tanımı



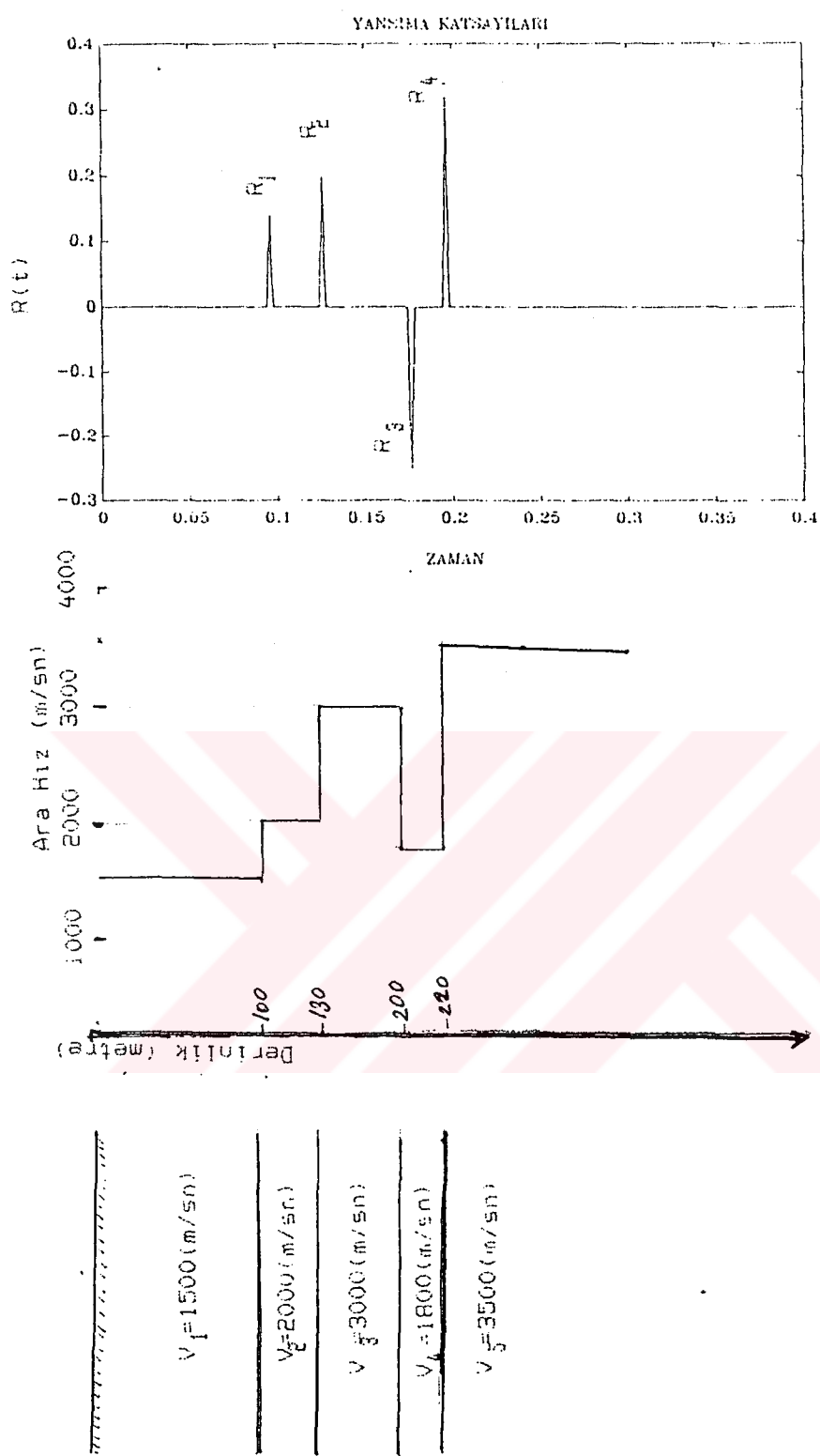
Şekil ii. Sismik İzin Anlamı

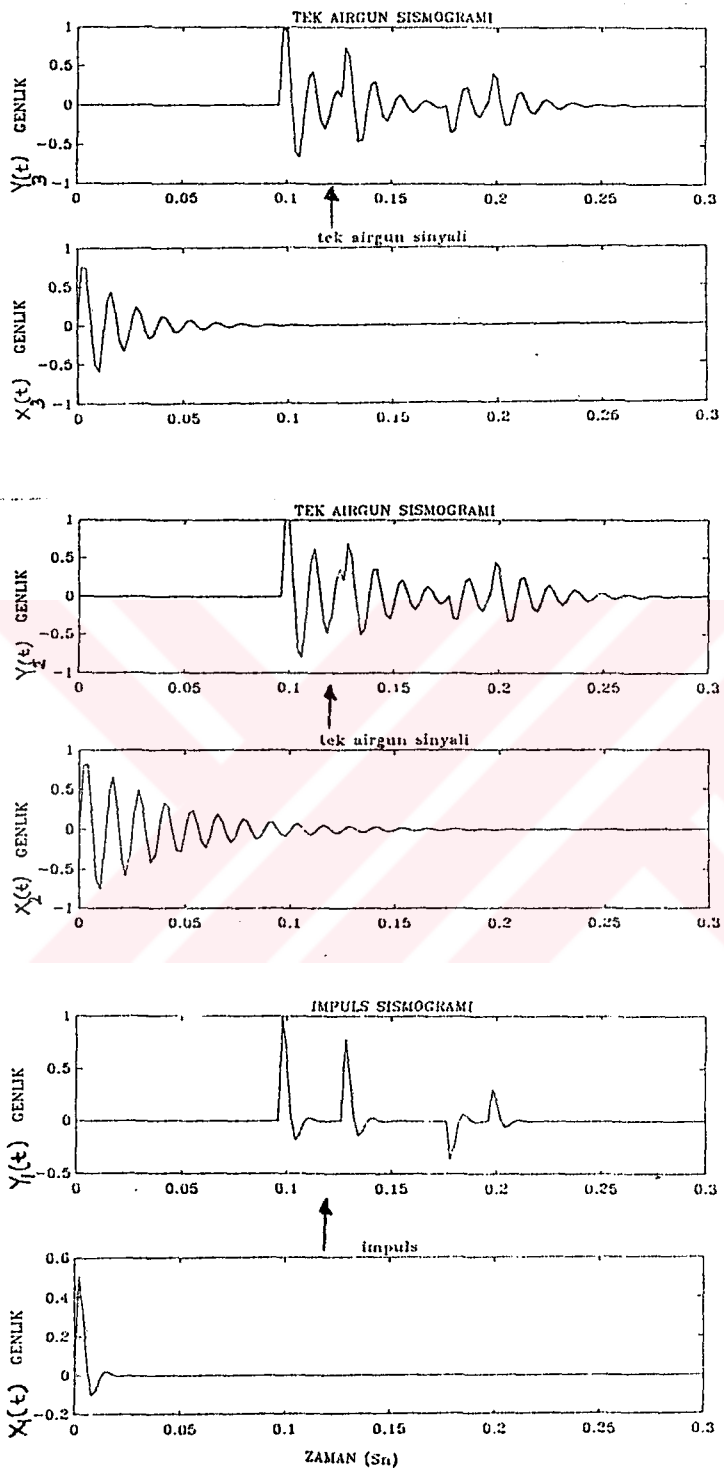


Şekil iii. Sismik İzin Oluşumu

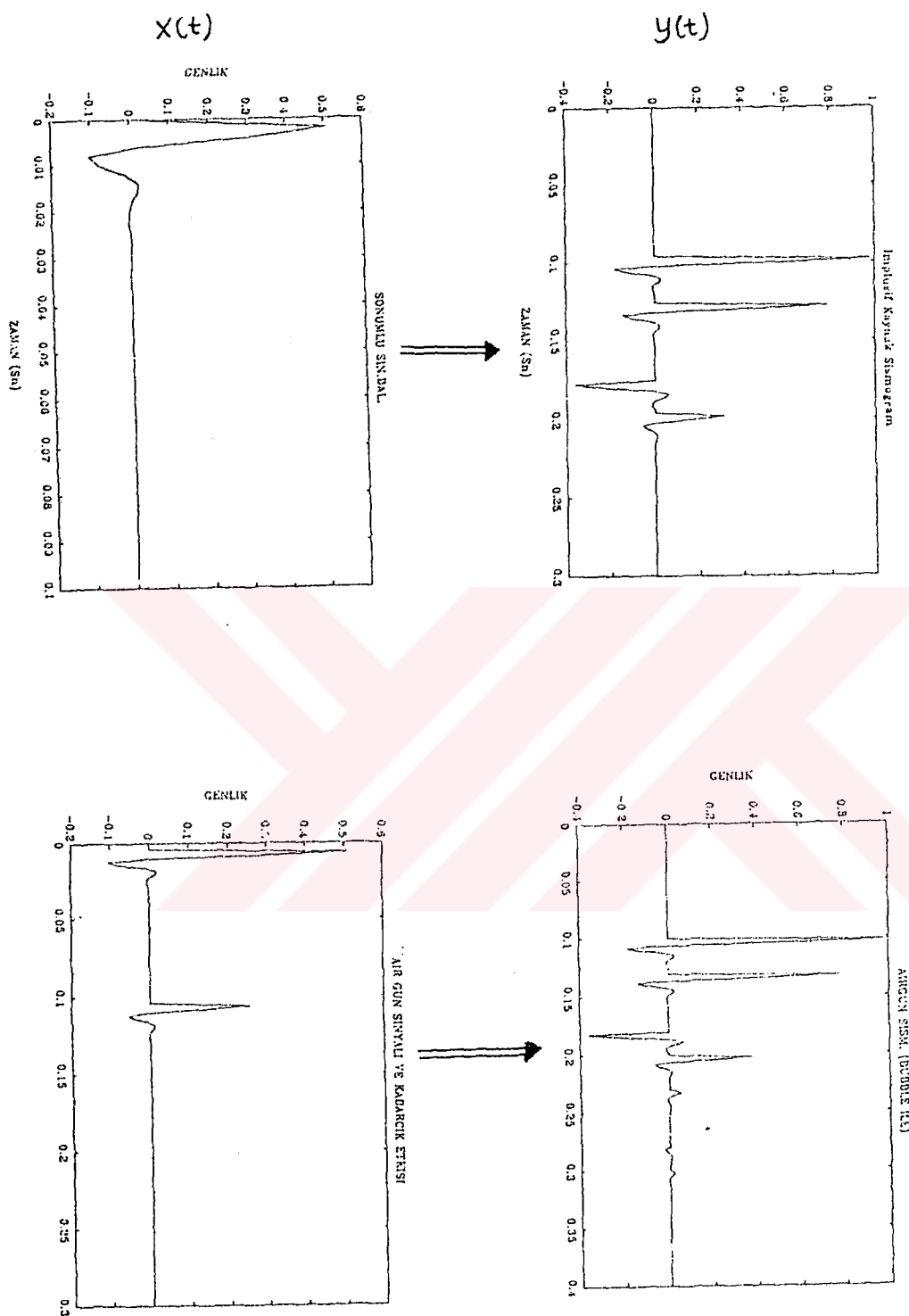
Uygulama 1.1. Yansıma Katsayılarının Oluşturulması

108





Uygulama 1.2. Farklı Büyüklüklerdeki Air Gun Sinyal Tripleti ve Sismogram Görüntümleri. $X_1(t)$ ideale yakın kaynak sinyali, $X_2(t)$ ve $X_3(t)$ ayrı ayrı iki airgun kaynak sinyali (farklı hacimlerde). $Y(t)$ 'ler sismogramlar olup, tabaka ayırmılığı en çok $X_1(t)$ kaynak sinyalinin kullanımıyla sağlanabilmektedir.



Uygulama 1.3. Ideal ve kabarcık etkisi olan kaynak sinyalleri kullanımıyla oluşan yapay sismogram görünümü.

```

% yansima katsayiları
load ynkat
y=ynkat;
t=[0:0.002:0.399];
% plot(t,y);
% sönümülü sinüs
ysin=exp(-250.*t).*sin(t/0.002);
plot(t(1:50),ysin(1:50)),title('SONUMLU SIN.DAL.');
xlabel('ZAMAN (Sn)'),ylabel('GENLIK');
pause
% meta impag;
% !gpp impag /djet /fprn;
c=conv(y,ysin);
tc=[0:0.002:0.797];
%plot(tc(1:150),c(1:150));
%title('IMPLUSIF KAYNAK SİSMOGRAMI'), xlabel('ZAMAN(Sn)');
%ylabel('GENLIK');
% enerjinin sonlu oduyu varsayımlıyla
cson=exp(-20.*tc).*c;
% normalize işlemi
csonno=cson/max(cson);
plot(tc(1:150),csonno(1:150));
title('implusif Kaynak Sismogram'), xlabel('ZAMAN (Sn)');
ylabel('GENLIK');
pause
% meta impsis;
% !qpp impsis /djet /fprn;
load airgun;
cairgun=conv(airgun,ysin);
ttc=[0:0.002:0.797];
plot(ttc(1:150),cairgun(1:150));
title('AIR GUN SİNYALI VE KABARCIK ETKİSİ'), xlabel('ZAMAN');
ylabel('GENLIK'), pause
% meta impag;
% !gpp impag /djet /fprn;
csismo=conv(ynkat,cairgun(1:200));
tttc=[0:0.002:0.799];
csms=exp(-20.*tttc(1:200)).*csismo(1:200);
tsis=[0:0.002:0.399];
csms1=csms/max(csms);
plot(tsis,csms1);
title('AIRGUN SİSM. (BUBBLE İLE)');
xlabel('ZAMAN (Sn)'),ylabel('GENLIK');
pause
% meta impag;
% !gpp impag /djet /fprn;

```